

รายงานการวิจัย

การศึกษาการนำบัคмолพิย์ที่เกิดจากไอของสารประกอบชั้ลเฟอร์โดยใช้เทคนิค XPS และ DRIFT ด้วยปฏิกิริยาการใช้แสงร่วมกับตัวเร่งปฏิกิริยาไทเทเนียมนาโนเมตรที่สังเคราะห์ด้วยเทคนิคการเผาแบบเพลเมตเตอร์

Study of removal of sulfur –containing compound pollutants via XPS and DRIFT methods by photocatalytic reaction using nano-titania synthesized by flame spray pyrolysis technique

คณะผู้วิจัย

ผู้ช่วยศาสตราจารย์ ดร. วรากานนท์ ชนะกุลรังสรรค์

รองศาสตราจารย์ ดร. อรรถธีรา วรยิ่งยง

ผู้ช่วยศาสตราจารย์ ดร. โอลิมป์ เมฆาสุวรรณดำรง

นางสาวกนกวรรณ จำรัสสุวรรณ

โครงการวิจัยทุนสนับสนุนงานวิจัยของมหาวิทยาลัยเทคโนโลยีราชมงคลกรุงเทพ
ประจำปี พ.ศ. 2550
มหาวิทยาลัยเทคโนโลยีราชมงคลกรุงเทพ

กิตติกรรมประกาศ

คณะผู้วิจัย ขอขอบคุณมหาวิทยาลัยเทคโนโลยีราชมงคลกรุงเทพ ที่ได้สนับสนุน
ทุนวิจัยงบประมาณเงินแผ่นดิน ประจำปี พ.ศ. 2550

ขอขอบคุณศูนย์เชี่ยวชาญเฉพาะทางด้านคุณภาพชีสและวิศวกรรมปฏิกรณ์ฯ ที่ใช้ตัวเร่ง
ปฏิกรณ์ฯ ภาควิชาวิศวกรรมเคมี คณะวิศวกรรมศาสตร์ จุฬาลงกรณ์มหาวิทยาลัย ที่ให้ความอนุเคราะห์
ในการใช้เครื่องวิเคราะห์คุณภาพการเลี้ยวเบนของรังสีเอกซ์ และขอขอบคุณศูนย์เทคโนโลยีโลหะและวัสดุ
แห่งชาติ ที่ให้ความอนุเคราะห์ในการใช้กล้องจุลทรรศน์แบบส่องผ่าน



บทคัดย่อ

วัตถุประสงค์ของงานวิจัยนี้เพื่อศึกษาการสังเคราะห์อนุภาคขนาดนาโนเมตรของ TiO_2 , CeO_2 และ CeO_2-TiO_2 ด้วยเทคนิคการเผาแบบเฟรมสเปรย์เพื่อใช้เป็นตัวเร่งปฏิกิริยาเชิงแสงในการถลายสารประกอบของชั้นเฟอร์ซิ่งเป็นพิษต่อสิ่งแวดล้อม โดยใช้ไทเทเนียม (IV) ไอโซพรอพอลไซด์ ไทเทเนียม (IV) บิวทอกไซด์ และแอมโมเนียมซีเรียม (IV) ในตรรท เป็นสารตั้งต้น แบ่งการวิจัยเป็น 2 ส่วน ส่วนที่ 1 เป็นการศึกษาผลของตัวแปรที่มีต่อคุณลักษณะของ TiO_2 ที่สังเคราะห์ได้ ตัวแปรที่ศึกษาได้แก่ ความเข้มข้นและอัตราไหลของสารตั้งต้น และอัตราไหลของแก๊สออกซิเจน พบว่าอนุภาค TiO_2 ขนาดนาโนเมตรที่สังเคราะห์ได้เป็นผลึกเดียวและเป็นเฟสผสมของแอนาเทสและรูไกล์ และภาวะในการสังเคราะห์เพื่อให้ได้ TiO_2 ที่มีพื้นที่ผิวจำเพาะสูงที่สุด คือ ความเข้มข้นของสารตั้งต้น 0.3 M ด้วยอัตราไหลเท่ากับ 5 mL/min และอัตราไหลของแก๊สออกซิเจนเท่ากับ 5 L/h ส่วนที่ 2 เป็นการศึกษาผลของการเติมซีเรียมลงใน TiO_2 พบว่าซีเรียมที่เติมลงไปในตัวเร่งปฏิกิริยา TiO_2 มีผลต่อการเปลี่ยนเฟสจากแอนาเทสเป็นรูไกล์ และปริมาณของเฟสรูไกล์เพิ่มขึ้นเมื่อปริมาณซีเรียมที่เติมสูงขึ้น และการเติมซีเรียมอนุภาค CeO_2-TiO_2 สามารถเลื่อนระดับพลังงานของอิเล็กตรอนในการคุกคักแสงของ TiO_2 จากช่วงแสงญี่วีให้อยู่ในช่วงวิสิเบิล



ABSTRACT

The objectives of this research were to synthesize nanoparticles of TiO_2 , CeO_2 and $\text{CeO}_2\text{-TiO}_2$ via flame spray pyrolysis for using as the photocatalysis of degradation of sulfur compounds which pollute the environment. Titanium (IV) isopropoxide, titanium (IV) butoxide and ammonium cerium (IV) nitrate were used as precursors. The study was divided into two parts. The first part was to synthesize TiO_2 in order to study the effect of condition variables on the characteristics of TiO_2 . Three variables were: the concentration and flow rate of the precursors, and the flow rate of O_2 (the sheath gas). It was found that the synthesized nanoparticles of TiO_2 were single crystal and were the mixture of anatase and rutile phases. The suitable conditions to synthesize TiO_2 with high surface area were 0.3 M of precursor concentration with flow rate of 5 mL/min and O_2 flow rate of 5 L/h. The second part was to study the effect of addition of cerium in TiO_2 . It was observed that cerium added affected the phase change from anatase to rutile, and the amount of rutile phase was increased as an increase of cerium. Moreover, the synthesized $\text{CeO}_2\text{-TiO}_2$ apparently shifted the UV-absorption band of TiO_2 toward visible range.



สารบัญ

กิตติกรรมประกาศ	หน้า
บทคัดย่อ	ข
ABSTRACT	ค
สารบัญ	ง
รายการตาราง	จ
รายการรูป	ช
	ณ

บทที่

1. บทนำ	1
1.1 ความเป็นมาและความสำคัญของปัญหา	1
1.2 วัตถุประสงค์ของงานวิจัย	3
1.3 ขอบเขตของงานวิจัย	3
1.4 ประโยชน์ที่คาดว่าจะได้รับ	4
2. การทบทวนวรรณกรรม	5
2.1 ตัวเร่งปฏิกิริยาเชิงแสง	5
2.1.1 ไทเทนียนไดออกไซด์	5
2.1.2 ซีเรียมไดออกไซด์	9
2.2 การเพาเบนเฟล์มสเปรย์	11
2.2.1 กระบวนการเพาเบนเฟล์มสเปรย์	11
2.2.2 การเกิดอนุภาค	13
2.3 การเร่งปฏิกิริยาเชิงแสงและกระบวนการเร่งปฏิกิริยาเชิงแสง	14
2.3.1 การเร่งปฏิกิริยาเชิงแสง	14
2.3.2 สารกึ่งตัวนำ	16
2.3.3 แบบช่วงของสารกึ่งตัวนำเชิงปริมาตร	16
2.3.4 ตัวเร่งปฏิกิริยาเชิงแสงสารกึ่งตัวนำ	18

บทที่	หน้า
2.3.5 การสลายคั่วการเร่งปฏิกิริยาเชิงแสง	19
2.4 งานวิจัยที่ผ่านมา	23
2.4.1 การสังเคราะห์ผลึกนาโนเมตรคั่วเทคนิคการเผาแบบเฟลมสเปรย์	23
2.4.2 อิทธิพลของแรงกระทำระหัวงซีเรียมและไทเทเนียมในตัวเร่งปฏิกิริยา	24
$\text{CeO}_2\text{-TiO}_2$	
2.4.3 การใช้ตัวเร่งปฏิกิริยานาโนเมตรเป็นตัวเร่งปฏิกิริยาเชิงแสง	24
2.4.4 การกำจัดไทโอลีฟินคั่วการเร่งปฏิกิริยาเชิงแสง	26
3. วิธีการวิจัย	28
3.1 วัสดุและอุปกรณ์	28
3.1.1 อุปกรณ์ในการทดลอง	28
3.1.2 วัสดุและสารเคมี	28
3.1.3 เครื่องมือทดลองและเครื่องมือวิเคราะห์	29
3.2 การศึกษาผลของตัวแปรที่มีต่อคุณลักษณะของไทเทเนียมนาโนเมตรที่สังเคราะห์คั่วเทคนิคการเผาแบบเฟลมสเปรย์	29
3.2.1 การเตรียมสารตั้งต้น	29
3.2.2 อุปกรณ์และวิธีการ	29
3.2.3 การตรวจสอบคุณลักษณะของตัวเร่งปฏิกิริยาไทเทเนียมที่สังเคราะห์ได้	30
3.3 การศึกษาผลของตัวแปรที่มีต่อคุณลักษณะของไทเทเนียม ซีเรียม และซีเรบ์-ไทเทเนียมที่สังเคราะห์คั่วเทคนิคการเผาแบบเฟลมสเปรย์	32
3.3.1 การเตรียมสารตั้งต้น	32
3.3.2 อุปกรณ์และวิธีการ	33
3.3.3 การตรวจสอบคุณลักษณะของตัวเร่งปฏิกิริยาที่สังเคราะห์ได้	33
4. ผลการทดลองและอภิปรายผล	34
4.1 การศึกษาผลของตัวแปรที่มีต่อคุณลักษณะของไทเทเนียมนาโนเมตรที่สังเคราะห์คั่วเทคนิคการเผาแบบเฟลมสเปรย์	34
4.1.1 การสังเคราะห์ไทเทเนียม	34
4.1.2 การศึกษาผลของตัวแปรที่มีต่อคุณลักษณะของไทเทเนียมที่สังเคราะห์ได้	34

บทที่	หน้า
4.2 การศึกษาผลของตัวแปรที่มีต่อคุณลักษณะของไทยแท้เนีย ชีเรีย และชีเรีย-ไทยแท้เนีย ที่สังเคราะห์ด้วยเทคนิคการเพาเบนเพลนสเปรย์	38
4.2.1 การสังเคราะห์ไทยแท้เนีย ชีเรีย และชีเรีย-ไทยแท้เนีย	38
4.2.2 การศึกษาผลของตัวแปรที่มีต่อคัวเร่งปั๊กิริยาไทยแท้เนีย ชีเรีย และ ชีเรีย-ไทยแท้เนียที่สังเคราะห์ได้	39
5. สรุปผลการวิจัยและข้อเสนอแนะ	48
5.1 สรุปผลการวิจัย	48
5.2 ข้อเสนอแนะ	49
 บรรณานุกรม	 50
 ภาคผนวก	 53
ภาคผนวก ก การคำนวนปริมาณสารที่ใช้ในการเตรียมตัวเร่งปั๊กิริยา	53
ภาคผนวก ข การคำนวนขนาดผลึก	55
ภาคผนวก ค การคำนวนพลังงานช่องว่างແตน	57
 ประวัติภารกิจ	 58

รายการตาราง

ตารางที่

หน้า

2.1 สมบัติของแอนาแทส บรูค ไคท์ และรูไกล์	6
2.2 สมบัติของซีเรียม ไคออกไซด์	11
2.3 ตัวรีดิวช์ที่ใช้ในการลดมลพิษ	18
4.1 ขนาดผลึกและปริมาณของรูไกล์ในไทเทเนียมที่สังเคราะห์ได้	36
4.2 สมบัติทางกายภาพที่ได้จากการวัดการคุณภาพปั๊บในโครงงานของไทเทเนียม ซีเรียม และซีเรียม-ไทเทเนียม	39
4.3 การระบุฟลูของผลึกและขนาดผลึกของตัวเร่งปฏิกิริยาที่สังเคราะห์ได้ซึ่งคำนวณจากพิกัดของ XRD	42
4.4 พารามิเตอร์แล็ตทิชของ TiO_2 , 3% CeO_2-TiO_2 , 5% CeO_2-TiO_2 , และ 10% CeO_2-TiO_2	43
4.5 ขนาดเส้นผ่านศูนย์กลางของตัวเร่งปฏิกิริยาที่สังเคราะห์ได้ซึ่งคำนวณจากภาพ TEM	44
4.6 ความยาวคลื่นการคุณภาพและพลังงานซึ่งว่างແຄบของตัวเร่งปฏิกิริยาเชิงแสงที่สังเคราะห์ได้	47

รายการรูป

รูปที่

หน้า

2.1 โครงสร้างผลึกของไทดเนีย (ก) รูไทล์ (ข) แอนาเทส	7
2.2 พื้นผิวของระนาบ (110) และ (101) ของ (ก) รูไทล์ (ข) แอนาเทส	8
2.3 ตัดปลาสเตชิงปริมาตรของ CeO_2 (ก) (111) (ข) (110) และ (ค) (100)	10
2.4 แผนภาพของกระบวนการเผาแบบเฟลมสเปรย์	13
2.5 แผนภาพของกลไกในการเกิดอนุภาคซิลิกาและการเติบโตในเปลวไฟที่แพร่	14
2.6 แผนภาพของกลไกในการเกิดอนุภาคเจอมานีเยนและการเติบโตในเปลวไฟที่แพร่	15
2.7 (ก) แบบ ช่องว่างແນບ และการกระตุ้น โพรงอิเล็กตรอนในสารกึ่งตัวนำเชิงปริมาตร ค่าพลังงานอยู่ในแกนตั้ง (ข) การทำงานการกระตุ้น โพรงอิเล็กตรอนในอนุภาค สารกึ่งตัวนำนาคนาโนเมตรทรงกลม	17
2.8 กระบวนการเร่งปฏิกิริยาเชิงแสงที่เกิดบนอนุภาคสารกึ่งตัวนำที่เปล่งแสง	19
2.9 การจับอิเล็กตรอนที่ผิวน้ำและที่กลุ่มอนุภาค	20
3.1 ลักษณะของสารตั้งต้นที่เตรียมได้	30
3.2 ชุดสังเคราะห์ตัวเร่งปฏิกิริยาเชิงแสงด้วยเทคนิคการเผาแบบเฟลมสเปรย์ (FSP)	31
4.1 ลักษณะของไทดเนียที่สังเคราะห์ด้วยเทคนิคการเผาแบบเฟลมสเปรย์	35
4.2 แบบรูป XRD ของไทดเนียที่สังเคราะห์ได้ เมื่ออัตราไหลของแก๊สออกซิเจน 5 L/h และอัตราไหลของสารตั้งต้น 0.3 M เท่ากับ (a) 3 mL/min (b) 5 mL/min (c) 8 mL/min; เมื่อ อัตราไหลของสารตั้งต้น 3 M เท่ากับ 5 mL/min และอัตราไหลของแก๊สออกซิเจน เท่ากับ (d) 3 L/h (e) 8 L/h; เมื่ออัตราไหลของแก๊สออกซิเจน 5 L/h และอัตราไหลของสารตั้งต้น 5 mL/min มีความเข้มข้นเท่ากับ (f) 0.5 M (g) 0.8 M	35
4.3 ผลของความเข้มข้นของสารตั้งต้นต่อพื้นที่ผิวจำเพาะและเส้นผ่านศูนย์กลางเฉลี่ย ของรูพรุนเมื่ออัตราไหลของสารตั้งต้น 5 mL/min และอัตราไหลของแก๊สออกซิเจน 5 L/h	37
4.4 ผลของอัตราไหลของแก๊สออกซิเจนต่อพื้นที่ผิวจำเพาะและเส้นผ่านศูนย์กลางเฉลี่ย ของรูพรุนเมื่อความเข้มข้นของสารตั้งต้น 0.3 M และอัตราไหลของสารตั้งต้น 5 mL/min	37

รูปที่	หน้า
4.5 ผลของอัตราไหลของสารตั้งต้น ต่อพื้นที่ผิวจำเพาะและเส้นผ่านศูนย์กลางเฉลี่ยของรูพรุน เมื่อความเข้มข้นของสารตั้งต้น 0.3 M และอัตราไหลของแก๊สออกซิเจน 5 L/h	38
4.6 อัตราไหลของรูพรุนและไอโซเทอมการคัดชับของ (ก) TiO_2 (ข) 3% $\text{CeO}_2\text{-TiO}_2$ (ค) 5% $\text{CeO}_2\text{-TiO}_2$ (จ) 10% $\text{CeO}_2\text{-TiO}_2$ (ช) 30% $\text{CeO}_2\text{-TiO}_2$ (น) 50% $\text{CeO}_2\text{-TiO}_2$ (ฉ) 70% $\text{CeO}_2\text{-TiO}_2$ และ (ญ) CeO_2	41
4.7 แบบรูปของ XRD ของตัวเร่งปฏิกิริยาที่สังเคราะห์ได้	42
4.8 ภาพจาก TEM และการเลี้ยวเบนอิเล็กตรอน (SEAD) ของตัวเร่งปฏิกิริยา (ก) TiO_2 (ข) 3% $\text{CeO}_2\text{-TiO}_2$ (ค) 5% $\text{CeO}_2\text{-TiO}_2$ (จ) 10% $\text{CeO}_2\text{-TiO}_2$ (ช) 30% $\text{CeO}_2\text{-TiO}_2$ (น) CeO_2	46
4.9 สเปกตรัมยูวี-วิชิเบิลของตัวเร่งปฏิกิริยาเชิงแสงที่สังเคราะห์ได้	46
ช.1 ค่า B_s ของเครื่องวิเคราะห์ XRD ที่ได้จากการวัดโดยใช้สารตัวอย่างมาตรฐาน α - อะลูминิอา	56
ค.1 กราฟที่พล็อตระหว่าง $(\alpha h\nu)^{1/2}$ กับ $h\nu$	57

บทที่ 1

บทนำ

บทนี้จะกล่าวถึงความเป็นมาและความสำคัญของปัจจุหางบนเบตของงานวิจัย และประโยชน์ที่คาดว่าจะได้รับจากการวิจัยนี้ วัตถุประสงค์ของงานวิจัย

1.1 ความเป็นมาและความสำคัญของปัจจุหาง

การพัฒนาอุตสาหกรรม การเกษตร และการป้องกันประเทศทำให้มีการทึ่งลดพิษจำนวนมากทั้งสารที่เป็นพิษ อากาศ และน้ำ ผลกระทบจากอากาศส่วนใหญ่เกิดจากการปล่อยทึ่งของแก๊สที่เกิดจากการเผาไหม้จากการเผาไหม้จากเชื้อเพลิงฟอสซิล ในขณะที่ลดพิษทางน้ำเกิดจากของเสียในอุตสาหกรรมและอุบัติเหตุทางสิ่งแวดล้อม ระบายน้ำและข้อบังคับของรัฐมีข้อกำหนดปริมาณของสารประกอบอินทรีย์ระเหยได้ที่สามารถปล่อยทึ่งได้ เช่น ปริมาณสารประกอบชั้บเพอร์ในอากาศที่ปล่อยทึ่งได้เข้มงวดกว่าในอดีต สารประกอบอินทรีย์ระเหยได้เป็นมลพิษเคมีทางอากาศซึ่งเป็นปัจจุหามลพิษที่มีผลต่อสุขภาพของประชาชน [1] เพื่อที่จะแก้ปัจจุหำสำคัญนี้ งานวิจัยจะเน้นที่การทดสอบคุณลักษณะและการนำบัดสารประกอบเคมีพิษเหล่านี้จากอากาศ ปฏิกริยาออกซิเดชันด้วยการเร่งปฏิกริยาทางแสงของสารประกอบอินทรีย์ระเหยได้ เป็นปฏิกริยาที่นำสนิใจปฏิกริยานี้ในการนำบัดสารพิษจากอากาศ และอนุภาค nano ไทเทเนียม dioxide ได้ออกไซด์หรือไทเทเนียม (TiO_2) ซึ่งเป็นสารประกอบกึ่งตัวนำ เป็นตัวเร่งปฏิกริยาเชิงแสงที่นิยมใช้กันอย่างแพร่หลายเนื่องจากมีค่าการเร่งปฏิกริยาเชิงแสงสูง โดยเฉพาะเฟสแอนาเทสหรือเฟสสมาระห่วงแอนาเทสและรูปแบบ มีราคาถูก มีความเสถียรภายใต้การเปลี่ยนแปลงอยู่ และลดความเป็นพิษ [2] ปรากฏการณ์นี้นำไปสู่ปฏิกริยาออกซิเดชัน และการถ่ายทอดของสารประกอบด้วยกลไกเคมีที่ทำให้เกิดการดูดซับมลพิษบนตัวเร่งปฏิกริยาเชิงแสง [3] และปฏิกริยาการถ่ายอนุมูลซึ่งมีอนุมูล OH^- เป็นสารตัวแรก [4] ผลลัพธ์สุดท้ายจะอยู่ในภาวะที่เหมาะสมและมลพิษทึ่งหมดจะอยู่ในรูปแก๊สคาร์บอนไดออกไซด์ น้ำ และเกลือของสารอนินทรีย์

ในระยะเวลาสองสามปีที่ผ่านมา ไทยเนียมเป็นตัวเร่งปฏิกริยาเชิงแสงที่นำสนิใจมาก [5] แต่เพื่อให้บรรลุวัตถุประสงค์นี้ งานวิจัยในช่วงที่ผ่านมา มีการเติมโลหะลงบน nano ไทเทเนียมและศึกษาเปรียบเทียบประสิทธิภาพกับ nano ไทเทเนียม [6] อนุภาค nano ซีเรียมออกไซด์ (CeO_2) เป็นโลหะออกไซด์ที่ว่องไวที่สุดที่ประยุกต์ใช้อย่างกว้างขวาง อย่างไรก็ตามมักพบว่าถ้าใช้โลหะเพียงชนิดเดียวในการเร่งปฏิกริยา จะมีข้อเสียเกิดร่วมด้วยเสมอ ในปฏิกริยาเคมีตัวนำมากแอนาเทส nano ไทยเนียมจะให้การเร่ง

ปูนกิริยาสูงกว่ารู่ไทยเทเนีย แต่เนื่องจากแอนาเทสไทยเทเนียมีแคนพลังงาน (Band gap) ที่กว้าง (3.2 eV) ทำให้ตอบสนองเฉพาะแสงอัลตราไวโอเลตที่มีความยาวคลื่นต่ำกว่า 384 nm เท่านั้น ทำให้เป็นข้อจำกัดในการประยุกต์ใช้กับพลังงานแสงอาทิตย์ แต่อย่างไรก็ตาม CeO_2 บริสุทธิ์มีความสามารถทางความร้อนต่ำและเกิดการหลอมรวมตัว (Sintering) อย่างรวดเร็วภายในไดอุณหภูมิสูง จึงทำให้เกิดการสูญเสียออกซิเจนที่สะสมไว้อย่างมาก [5] ผลึกนาโน $\text{CeO}_2\text{-TiO}_2$ เป็นตัวเร่งปฏิกิริยาออกซิเจนเชิงแสงวิธีพันธุ์ของสารประกอบอินทรีย์ที่ระเหยได้ ซึ่งสามารถสังเคราะห์ได้หลายวิธี เช่น การฟังตัวของไอ (Vapor decomposition) วิธีโซลโวเทอร์มอล (Solvothermal method) วิธีไฮdroเทอร์มอล (Hydrothermal method) วิธีโซล-เจล (Sol-gel method) และกระบวนการเผาแบบเฟลมสเปรย์ (Flame spray pyrolysis (FSP) process)

กระบวนการเผาแบบเฟลมสเปรย์ (FSP) เป็นกระบวนการหนึ่งที่สารตั้งต้นถูกปล่อยออกสู่วัสดุของแก๊สโดยการเผาใหม่ของหยดเชื้อเพลิง หยดเชื้อเพลิงเหล่านี้ประกอบด้วยสารตั้งต้นและเชื้อเพลิงเหลว ข้อดีของการวัสดุแก๊สเป็นการผลิตอนุภาคที่มีความบริสุทธิ์สูงที่ประกอบด้วยอนุภาคน้ำหนักเดียวกันไม่มีรูพรุน และการกระจายของขนาดอนุภาคอยู่ในช่วงแคบๆ ข้อเสียของการเผานี้ ได้แก่ ความยุ่งยากที่เกิดจากอนุภาคร่วมกันเป็นกลุ่มก้อนและเกิดวัสดุที่ประกอบด้วยชาตุหlaysชนิด กระบวนการนี้แตกต่างจากการสังเคราะห์อนุภาคด้วยเปลวไฟแบบเดิมซึ่งสารตั้งต้นจะอยู่ในเฟสแก๊สตั้งแต่เริ่มต้น ข้อดีของ FSP เมื่อเปรียบเทียบกับกระบวนการเผาแบบเดิม คือ จำนวนชนิดของสารตั้งต้นและเชื้อเพลิงเหลวใช้ได้มากชนิดกว่า นอกจากนั้นยังสามารถเพิ่มสารอื่นลงในของเหลวทำให้สามารถผลิตตัวเร่งปฏิกิริยาวิธีพันธุ์ [7] FSP เป็นเทคนิคที่สะดวกในการสังเคราะห์วัสดุ nano ที่ประกอบด้วยชาตุหlaysชนิดในขั้นตอนเดียว ของผู้สมองสารตั้งต้นสามารถใช้ในการผลิตอนุภาคที่ประกอบด้วยชาตุหlaysชนิดที่มีสมบัติพิเศษ เช่น ความนำ磁ด้วย (Superconductivity) พารามגנטיติกด้วย (Superparamagnetism) หรือเพิ่มความว่องไวในการเร่งปฏิกิริยา การทำให้เย็นอย่างรวดเร็วภายหลังกระบวนการ FSP ทำให้วัสดุที่ได้มีพื้นที่ผิวสูงและสามารถจัดสมบัติทางโครงสร้างและเคมี นอกเหนือนั้non อนุภาคที่เกิดจากชาตุหlaysยากจะมีขนาดเล็ก เนื่องจากของเหลวแต่ละหยดประกอบด้วยสารตั้งต้นที่มีปริมาณมวลสารสัมพันธ์ตามที่ต้องการในผลิตภัณฑ์ ดังนั้นจึงสามารถสังเคราะห์อนุภาคนano ที่เป็นโลหะหรือของผู้สมองโลหะออกไซด์ที่สามารถประยุกต์ใช้งานได้ในช่วงกว้าง เช่น เป็นตัวเร่งปฏิกิริยา ตัวจับวัด (Sensors) และเซรามิกส์เชิงไฟฟ้า (Electroceramics) [8]

งานวิจัยนี้เป็นการสังเคราะห์ผลึกไทยเทเนียม ซีเรีย และซีเรีย-ไทยเทเนียมนาโนเมตรด้วยเทคนิคการเผาแบบเฟลมสเปรย์ เพื่อใช้เป็นตัวเร่งปฏิกิริยาในการกำจัดไหโถฟืนหรือไหโถฟิวแรนซึ่งสารประกอบของซัลเฟอร์ที่เป็นพิษ ปฏิกิริยาออกซิเดชันที่มีการเร่งปฏิกิริยาเชิงแสงของ

ไหโอฟินด้วยออกซิเจนเป็นไปตามจลนพลาสตอร์อันดับที่หนึ่ง และผลิตภัณฑ์หลักที่ได้จากปฏิกิริยาคือ ชัลโ芬 กรดออกชาลิก ชัลเฟต์ไอออน และคาร์บอนไดออกไซด์ [9]

1.2 วัตถุประสงค์ของงานวิจัย

- 1.2.1 เพื่อศึกษาผลของตัวแปร ที่มีต่อคุณลักษณะของอนุภาคน้ำในเมตรที่สังเคราะห์ด้วยเทคนิคการเผาแบบเพลนสเปรย์
- 1.2.2 เพื่อศึกษาผลของการเติมชีเรียมลงในไหเนย โดยการสังเคราะห์ตัวเร่งปฏิกิริยาชีเรียมในไหเนย และชีเรีย-ไหเนย ที่มีขนาดนาโนเมตรด้วยเทคนิคการเผาแบบเพลนสเปรย์

1.3 ขอบเขตของงานวิจัย

- 1.3.1 ศึกษาผลของตัวแปร ที่มีต่อสมบัติของอนุภาคน้ำในเมตรที่สังเคราะห์ด้วยเทคนิคการเผาแบบเพลนสเปรย์ ตัวแปรที่ศึกษา คือ ความเข้มข้นของสารละลาย อัตราป้อนสารละลาย และอัตราไหลของแก๊สออกซิเจน รวมทั้งตรวจสอบคุณลักษณะของไหเนยขนาดนาโนเมตรที่สังเคราะห์ได้
- 1.3.2 ตรวจสอบคุณลักษณะของตัวเร่งปฏิกิริยาที่สังเคราะห์ได้ในข้อ 1.3.1 ได้แก่
 - 1.3.2.1 การวัดพื้นที่ผิวด้วยเทคนิค BET
 - 1.3.2.2 ตรวจสอบโครงสร้างของผลึก โดยการวิเคราะห์ด้วยการวิเคราะห์การเลี้ยวเบนของรังสีเอกซ์ (X-ray diffraction analysis, XRD)
 - 1.3.2.3 ศึกษาสัณฐานวิทยาของอนุภาคน้ำที่สังเคราะห์ได้ ด้วยกล้องจุลทรรศน์แบบส่องผ่าน (Transmission Electron Microscope, TEM)
- 1.3.3 ศึกษาผลของการเติมชีเรียมลงในไหเนย โดยการสังเคราะห์ตัวเร่งปฏิกิริยาไหเนยที่มีขนาดนาโนเมตรด้วยเทคนิคการเผาแบบเพลนสเปรย์ โดยการเติมชีเรียมปริมาณต่างๆ กัน
- 1.3.4 ตรวจสอบคุณลักษณะของตัวเร่งปฏิกิริยาที่สังเคราะห์ได้ในข้อ 1.3.3 ได้แก่
 - 1.3.4.1 การวัดพื้นที่ผิวด้วยเทคนิค BET
 - 1.3.4.2 ตรวจสอบโครงสร้างของผลึก โดยการวิเคราะห์ด้วยการวิเคราะห์การเลี้ยวเบนของรังสีเอกซ์ (X-ray diffraction analysis, XRD)
 - 1.3.4.3 ศึกษาสัณฐานวิทยาของอนุภาคน้ำที่สังเคราะห์ได้ ด้วยกล้องจุลทรรศน์แบบส่องผ่าน (Transmission electron microscope, TEM)
 - 1.3.4.4 วิเคราะห์พลังงานช่องว่างແตน ด้วยเทคนิคスペกโพรสโคปีคุณลักษณะรังสียูวี-วีซีบีดี (UV-visible absorption spectroscopy)

1.4 ประโยชน์ที่คาดว่าจะได้รับ

- 1.4.1 สามารถสังเคราะห์ตัวเร่งปฏิกิริยาไทยเทเนีย ซีเรีย และซีเรีย-ไทยเทเนียที่มีขนาดนาโน เมตรคั่วยเทคนิคการเผาแบบเฟล์มสเปรย์
- 1.4.2 ได้รู้เทคนิคการสังเคราะห์โลหะออกไซด์ที่มีขนาดนาโนเมตรคั่วยเทคนิคการเผาแบบเฟล์มสเปรย์
- 1.4.3 ได้ผลงานวิจัยในระดับนานาชาติ หรือระดับชาติ (วารสารทางวิชาการและ/หรือการประชุมวิชาการ)



บทที่ 2

การทบทวนวรรณกรรม

บทนี้จะกล่าวถึงตัวเร่งปฏิกิริยาเชิงแสง (Photocatalyst) การเผาแบบไฟล์สเปรย์ (Flame spray pyrolysis, FSP) การเร่งปฏิกิริยาเชิงแสง (Photocatalysis) และกระบวนการเร่งปฏิกิริยาเชิงแสง (Photocatalytic process) รวมทั้งการทบทวนวรรณกรรมที่เกี่ยวข้องกับตัวเร่งปฏิกิริยาเชิงแสง ไทเทเนียม (TiO_2) และเซรีเมียม-ไทเทเนียม (CeO_2-TiO_2)

2.1 ตัวเร่งปฏิกิริยาเชิงแสง

หัวข้อนี้จะกล่าวถึงสมบัติและการประยุกต์ใช้โลหะออกไซด์ ได้แก่ ไทเทเนียม ไดออกไซด์ (Titanium dioxide, TiO_2) และเซรีเมียม ไดออกไซด์ (Cerium dioxide, CeO_2) ซึ่งใช้เป็นตัวเร่งปฏิกิริยาออกซิเดชันเชิงแสงของสารประกอบตัวเลือกในเฟสแก๊ส

2.1.1 ไทเทเนียม ไดออกไซด์

2.1.1.1 สมบัติของ ไทเทเนียม ไดออกไซด์

ไทเทเนียม ไดออกไซด์มีโครงสร้างผลึก 3 แบบ ได้แก่

(1) แอนาแทส มีความเสถียรที่อุณหภูมิต่ำ เป็นโครงสร้างที่มีความว่องไวเชิงแสงสูงกว่าโครงสร้างแบบอื่นๆ

(2) บราค็อกท์ พนในสินแร่ โครงสร้างผลึกเป็นแบบออร์โทรอมบิก

(3) รูไทล์ มีความเสถียรที่อุณหภูมิสูง โครงสร้างนี้ใช้เป็นผลิตภัณฑ์อุตสาหกรรมจำนวนมาก ได้แก่ สี เครื่องสำอาง ส่วนผสมในอาหาร และบางครั้งพบในหินภูเขาไฟ ตารางที่ 2.1 แสดงสมบัติของ ไทเทเนียม ทั้ง 3 แบบ

สาเหตุที่โครงสร้างแบบแอนาแทสนมีความว่องไวเชิงแสงสูงกว่าโครงสร้างแบบรูไทล์ อาจเกิดจากความแตกต่างของโครงสร้างที่เรียกว่า โครงสร้างແບพพลังงาน (Energy band structures) พลังงานช่องว่างແນبن (Band gap energy) ของสารกึ่งตัวนำ (Semiconductor) คือพลังงานต่ำสุดของแสงที่ต้องการในการทำให้สารเกิดการนำทางไฟฟ้า หรือจากลักษณะที่มีอิเล็กทรอนถูกกระตุ้นเพียงพอที่จะเกิดการเคลื่อนที่ พลังงานช่องว่างແນบนของแอนาแทสเท่ากับ 3.2 eV ซึ่งสอดคล้องกับแสงญี่วีที่ความยาวคลื่น 388 nm ในขณะที่พลังงานช่องว่างແນบนของรูไทล์ เท่ากับ 3.0 eV ซึ่งสอดคล้องกับแสงญี่วีที่ความยาวคลื่น 413 nm ระดับของແນบการนำ (Conduction

band, CB) ของแอนาเทสมีค่าสูงกว่าของรูไนท์เท่ากับ 0.2 eV ความหมายทางเทคนิคที่จะอธิบายมากขึ้น คือ พลังงานซึ่งว่างແบนของสารกึ่งตัวนำแสดงค่าพลังงานต่ำสุดของแสงที่จำเป็นในการผลิตอิเล็กตรอนในແບນการนำ และทำให้การนำไฟฟ้าเพิ่มขึ้น (การนำเชิงแสง) และเกิดไฮดรอเจน (Hole) ซึ่งทำให้อิเล็กตรอนหายไปในແບນແວແلنซ์ (Valence band, VB) ไฮดรอเจนสามารถทำปฏิกิริยากับน้ำเพื่อทำให้เกิดอนุมูลไฮดรอกซิลที่วงศ์ไวสูง (Reactive hydroxyl radical, OH[•]) ทั้งไฮดรอเจนและอนุมูลไฮดรอกซิลสามารถไดออกไซด์ไฮดรอเจนทรีฟาร์บอนไดออกไซด์ส่วนมาก

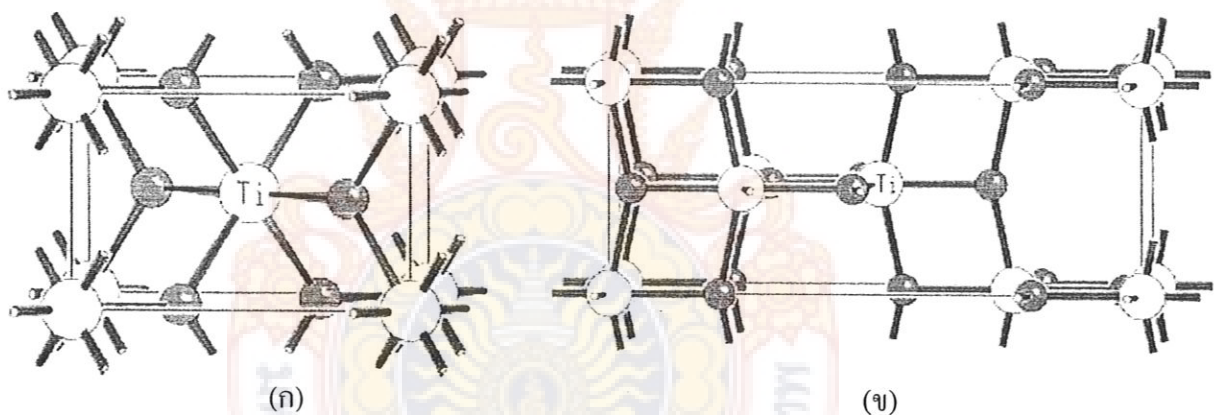
ตารางที่ 2.1 สมบัติของแอนาเทส บрукุไคท์ และรูไนท์

สมบัติ	แอนาเทส	บрукุไคท์	รูไนท์
โครงสร้างผลึก	เททระโภนัล	ออโซรมบิก	เททระโภนัล
เชิงแสง	แกนเดียว ลบ	สองแกน บวก	แกนเดียว ลบ
ความหนาแน่น (g/cm ³)	3.9	4.0	4.23
ความแข็ง (Mohr scale)	5(1/2) – 6	5(1/2) – 6	7 – 7(1/2)
เชลล์หน่วย มิตร (nm)	D ₄ a ¹⁹ .4TiO ₂	D ₂ h ¹⁵ .8TiO ₂	D ₄ h ¹² .3TiO ₂
a	0.3758	0.9166	0.4584
b	-	0.5436	-
c	0.9514	0.5135	2.953
ครรชนีหักเห	2.52	-	2.52
สภาพข้อม (Permittivity)	31	-	114
จุดหลอมเหลว	เปลี่ยนเป็นรูไนท์ที่ อุณหภูมิสูง	-	1858 °C

ที่มา: (Othmer, 1991; Fujishima et al., 1999)

พลังงานແบนແວແلنซ์ของหั้งแอนาเทสและรูไนท์มีค่าต่ำมาก เพราะฉะนั้นหั้งไฮดรอเจนและอนุมูลไฮดรอกซิลมีกำลังในการออกซิไดส์สูงมาก พลังงานແບນการนำของรูไนท์มีค่าใกล้เคียงกับศักยภาพที่ต้องการทางไฟฟ้าในการรีดิวส์น้ำเป็นไฮดรอเจน แต่ถ้าเป็นของแอนาเทสจะมีพลังงานสูงกว่า หมายความว่าจะมีกำลังรีดิวส์สูงกว่า ดังนั้นแอนาเทสจึงสามารถทำให้เกิดปฏิกิริยาที่สำคัญมากที่มีการรีดิวส์ทางไฟฟ้าของออกซิเจนเป็นออกไซด์บราเดี้ยง (Superoxide, O₂^{-•})

อย่างไรก็ตาม ไไทเทเนียมที่ประยุกต์ใช้มีเพียงเฟสรูไไทล์และแอนาเทสเท่านั้น โดย โครงสร้างของเฟสทั้งสอง มีบล็อกโครงสร้างพื้นฐานประกอบด้วยอะตอมของออกซิเจนจำนวน 6 อะตอม ล้อมรอบอะตอมของไไทเทเนียมซึ่งทำให้โครงสร้างแบบออก tah หีดรอตเกิดการบิดเบี้ยวมากขึ้นหรือน้อยลง ดังแสดงในรูปที่ 2.1 องค์ประกอบของเซลล์หน่วย (Unit cell) แสดงด้วยสูตร Ti_2O_4 และ Ti_4O_8 ตามลำดับ ในโครงสร้างทั้ง 3 แบบ การจัดชั้นของออก tah หีดรอตจัดเป็น 3 ชั้นที่มี ออกซิเจนเป็นอะตอมร่วม รูไไทล์เป็นโครงสร้างที่เป็นพลิมอร์ฟิกที่สุดในธรรมชาติ เทคนิคในการเกิดผลึกส่วนมากจะได้ไไทเทเนียมในเฟสรูไไทล์ ดังนั้นจึงต้องให้ความสนใจในการศึกษาเฟสนี้ เมื่อเปรียบเทียบกับเฟสรูไไทล์ พนว่าเฟสแอนาเทสมีการศึกษาน้อยกว่าถึงแม้ว่าจะเฟสนี้จะทำให้เกิดผลิตภัณฑ์ในอุตสาหกรรมมากกว่า ถ้าในรายงานที่ศึกษาไม่ได้ระบุชนิดของเฟส ให้หมายถึงเฟส รูไไทล์ เฟสแอนาเทสจะมีความหนาแน่นและความเสถียรน้อยกว่าเฟสรูไไทล์ที่อุณหภูมิและความดันบรรยายกาศ [10] อุณหภูมิในการเปลี่ยนเฟสขึ้นอยู่กับสภาพเตอร์รานามาก เช่น สิ่งปันเปื้อน ประวัติของตัวอย่าง และขนาดผลึก



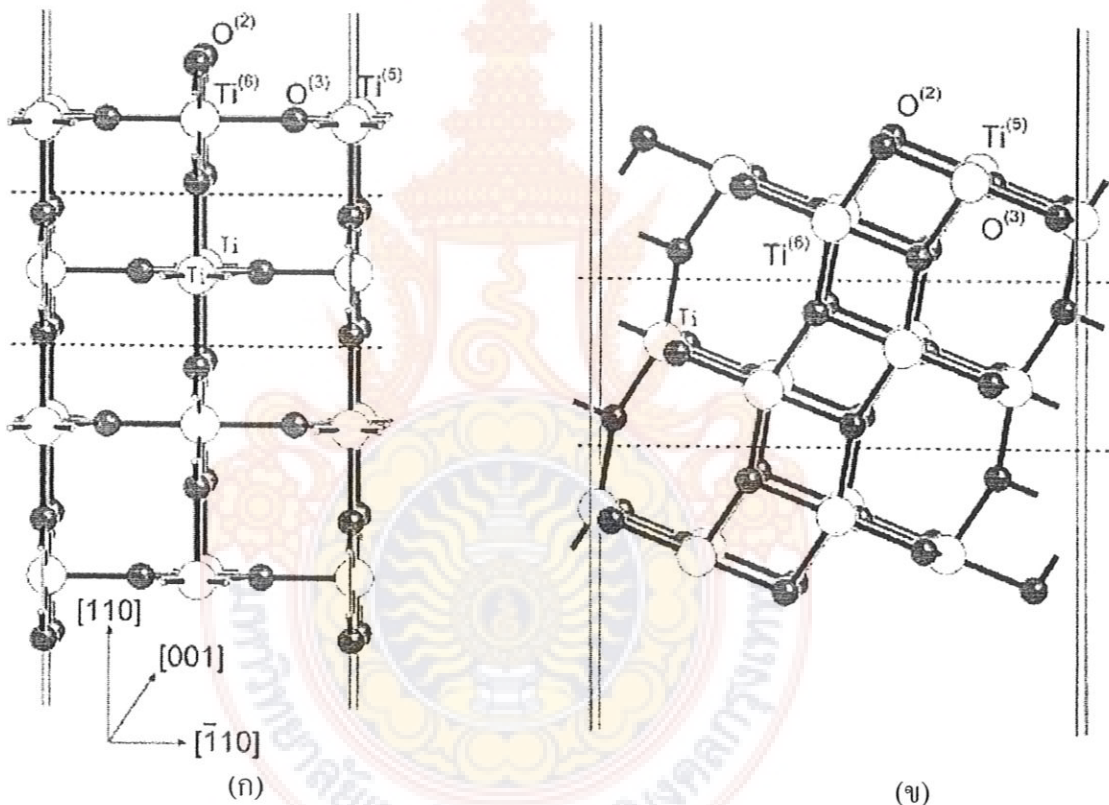
รูปที่ 2.1 โครงสร้างผลึกของไไทเทเนียม (ก) รูไไทล์ (ข) แอนาเทส

อะตอมออกซิเจนที่ปลายสุดบนระนาบ (110) และ (101) ที่ควบคุมที่ผิวน้ำ (1×1) เป็นรูไไทล์และแอนาเทสที่เสถียรที่สุด [11-14] ผิวน้ำทั้งสองเป็น 6 ชั้น และ 5 ชั้นที่ล้อมรอบอะตอมของไไทเทเนียม ($Ti(6)$ และ $Ti(5)$) เช่นเดียวกับเป็น 3 ชั้น และ 2 ชั้นที่ล้อมรอบอะตอมของออกซิเจน ($O(3)$ และ $O(2)$) ตามลำดับ ดังแสดงในรูปที่ 2.2 การเอาอะตอมของออกซิเจนออกเรียกว่า อะตอมออกซิเจนสะพาน (Bridging oxygen atoms) เป็นสิ่งที่นำสู่การเปลี่ยนเฟส

โครงสร้างทั้งสามแบบสามารถสังเคราะห์เดียนแบบธรรมชาติ แต่มีเพียงเฟสรูไไทล์ที่มีความเสถียรทางความร้อนโดยมีลักษณะเป็นผลึกเดี่ยวขนาดใหญ่โปร่งแสง การเปลี่ยนเฟสจากแอนาเทสเป็นรูไไทล์จะมีการขยายพลังงานออกมาประมาณ 12.6 kJ/mol หรือ 3.01 kcal/mol แต่อัตราการเปลี่ยนเฟสจะขึ้นอยู่กับอุณหภูมิและการมีสารอื่นอยู่ด้วย ซึ่งอาจทำให้เพิ่มการเร่งหรือ

หน่วยปฏิกริยา อุณหภูมิต่ำสุดที่มีการเปลี่ยนเฟสจากแอนาเทสเป็นรูไกล์ที่วัดได้มีค่าประมาณ 700°C แต่อุณหภูมนี้ไม่ใช้อุณหภูมิในการเปลี่ยนเฟสจากแอนาเทสเป็นรูไกล์ การเปลี่ยนเฟสเป็นปฏิกริยาที่ไม่ผันกลับ ดังนั้นค่า ΔG ของการเปลี่ยนเฟสจากแอนาเทสเป็นรูไกล์ จึงมีค่าเป็นลบเสมอ

บรุคไฮท์สามารถผลิตได้โดยการเผาไทเทเนียม (IV) ออกไซด์ที่มีอันhydrous เป็นอัลลอยชั้งสั้นเคราะห์จากแอลเคลิ่ลไทเทเนตกับโซเดียม หรือโพแทสเซียมไฮดรอกไซด์ในอุตสาหกรรมก่อ แอนาเทสและรูไกล์ ซึ่งสามารถระบุได้ว่าเป็นเฟสชนิดใดโดยใช้เครื่องวิเคราะห์ ด้วยการเลี้ยวเบนรังสีเอกซ์ (X-ray diffraction spectrometry)



รูปที่ 2.2 พื้นผิวของระนาบ (110) และ (101) ของ (g) รูไกล์ (h) แอนาเทส

เนื่องจากโครงสร้างผลึกของแอนาเทสและรูไกล์เป็นเทหะระgonot และเป็นแอนไอโซโทรปิกเหมือนกัน สมบัติทางกายภาพ เช่น ดัชนีหักเหของแสงมีค่าประตามทิศทางที่ลัมพธ์กับแกนของผลึก ในการประยุกต์ใช้สารเหล่านี้ ความแตกต่างระหว่างทิศทางของผลึกจะสูญเสียไปเนื่องจากอนุภาคขนาดเล็กจำนวนมากมีการเคลื่อนที่อย่างอิสระ และนี่เป็นค่าเฉลี่ยของสมบัติที่มีนัยสำคัญ

การวัดสมบัติทางกายภาพเมื่อพิจารณาทิศทางของผลึก (Crystallographic directions) ของผลึกไนโตรเจนที่ชั้นนิดธรรมชาติและสังเคราะห์ ผลึกแอนาเทสที่ชั้นนิดธรรมชาติและสังเคราะห์ และบราวน์ไครท์ชั้นนิดธรรมชาติ การวัดค่าดัชนีหักเหของแสงของไนโตรเจนออกไซด์ที่มีทิศทางที่เหมาะสมที่สอดคล้องกับแกนของผลึกที่เป็นปริซึมในครึ่งองศา ผลึกที่มีขนาดเหมาะสมของเฟสที่สามชนิดที่เกิดในธรรมชาติและถูกศึกษา อย่างไรก็ตาม รูไนโตรเจนเพียงเฟสเดียวที่เมื่อหดลงเหลวแล้วจะให้ขนาดผลึกจากการสังเคราะห์ที่ใหญ่เพียงพอ ค่าดัชนีหักเหของแสงของรูไนโตรเจนที่มากกว่า 2.75 ค่าคงที่ไดอิเล็กทริกของรูไนโตรเจนปริมาณทิศทางในผลึกและปริมาณสูตรปริมาณมวลสารสัมพันธ์ของ TiO_2 ค่าคงที่ไดอิเล็กทริกเฉลี่ยของรูไนโตรเจนที่เป็นผง (Powder form) เท่ากับ 114 ค่าคงที่ไดอิเล็กทริกเฉลี่ยของผงแอนาเทสเท่ากับ 48

2.1.1.2 การประยุกต์ใช้ไนโตรเจนออกไซด์

ไนโตรเจนออกไซด์เป็นวัสดุพื้นฐานที่พบในชีวิตประจำวัน โดยใช้มากในอุตสาหกรรมสี พลาสติก กระดาษ หมึก เส้นใย เครื่องสำอาง ครีมกันแดด และอาหาร

ในธรรมชาตินั้นไนโตรเจนออกไซด์ ที่ใช้เป็นผงสีในอุตสาหกรรมสีจะแตกต่างจากที่ใช้เป็นตัวเร่งปฏิกิริยาเชิงแสง ในปัจจุบันเทคโนโลยีของการเร่งปฏิกิริยาเชิงแสงเป็นที่สนใจในอุตสาหกรรมเพิ่มมากขึ้นเรื่อยๆ เนื่องจากมลพิษในสิ่งแวดล้อมเป็นปัญหาที่รุนแรงมากขึ้น จึงต้องการแก้ไขอย่างเร่งด่วน การใช้ไนโตรเจนออกไซด์ในงานวิจัยและการพัฒนาต่างๆ ได้แก่ เป็นสารป้องกันการเกิดหมอกจากควันพิษ (Fog-proof) สารต่อต้านแบคทีเรีย (Anti-bacterial) สารต่อต้านไวรัส (Anti-viral) สารกำจัดเชื้อร้า (Fungicidal) สารทำความสะอาดด้วยตนเอง (Self-cleaning) การกำจัดกลิ่น (Deodorizing) การปรับอากาศ (Air purification) สารต่อต้านมะเร็ง (Anti-cancer) สารปรับสภาพน้ำใช้และน้ำดื่ม (Water treatment and water purification)

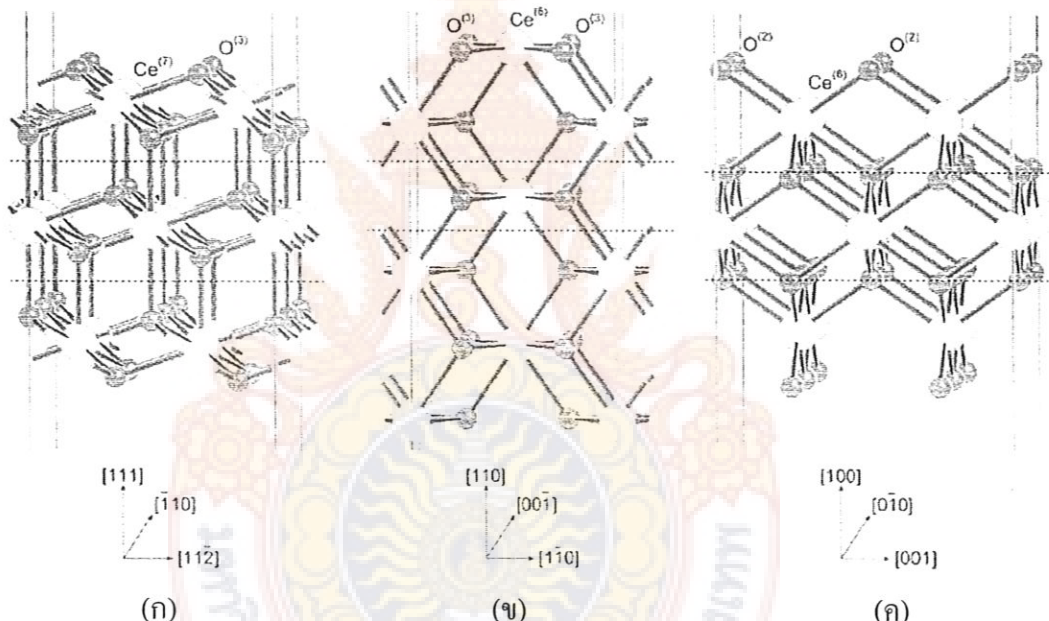
2.1.2 ซีเรียมไนโตรเจนออกไซด์

2.1.2.1 สมบัติของซีเรียมไนโตรเจนออกไซด์

ผลิตงานชี้ว่างແບບของซีเรียมไนโตรเจนออกไซด์หรือซีเรียม (CeO_2) ที่มีโครงสร้างทางเคมีแบบซีเรียมในที่ เท่ากับ 3.1 eV ซึ่งสามารถกรองแสงญี่วีที่ความยาวคลื่นของแสงน้อยกว่า 400 nm นอกจากนั้นซีเรียมไนโตรเจนออกไซด์มีปริมาณมาก ไม่เป็นพิษ และราคาต่ำ ตารางที่ 2.2 แสดงสมบัติของซีเรียมไนโตรเจนออกไซด์

โครงสร้างผลึกของซีเรียมไนโตรเจนออกไซด์เป็นแบบคิวบิกฟลูออไรท์ (CaF_2) ซึ่งเหมือนกับโครงสร้างของเซอร์โคเนียม [15, 16] โครงสร้างประกอบด้วยแฉลามลูกบาศก์ของพิกัดไอลอนออกซิเจน 4 ชั้น (Cubic array of fourfold coordinated oxygen ions) ที่มีไอออนของโลหะอยู่

ที่ครึ่งหนึ่งของซอกพิกัดประจุบวก 8 ชั้น (Eightfold coordinated cationic interstice) ความเสถียร
สัมพัทธ์ของผิวชีเรียจะลดลงเป็นลำดับในระนาบต่างๆ ดังนี้ $(111) > (110) > (100)$ [17-19] จะ²
สังเกตได้ว่าชีเรียที่ระนาบ (111) ซึ่งไม่มีขั้วจะผ่อนคลายลง [20, 21] และถูกปิดด้วยพิกัดอะตอม
ออกซิเจน 3 ชั้น (Threefold coordinated oxygen atoms, O(3)) และแสดงให้เห็นพิกัดอะตอมชีเรียม
7 ชั้น (Sevenfold coordinated cerium atoms, Ce(7)) ดังแสดงในรูปที่ 2.3 [22-25] ระนาบ (110)
และ (100) จะเห็นการผ่อนคลายที่ผิวอย่างมีนัยสำคัญ [26-28] ระนาบ (110) ถูกปิดด้วยระนาบของ
ชีเรียที่มีออกซิเจน 3 ชั้น และพิกัดอะตอมชีเรียม 6 ชั้น (Sixfold coordinated cerium atoms, Ce(6),)
ในขณะที่ระนาบ (100) ถูกปิดด้วยพิกัดอะตอมออกซิเจน 2 ชั้น (Twofold coordinated oxygen
atoms, O(2))



รูปที่ 2.3 ตัดปลาบเชิงปริมาตรของ CeO₂ (ก) (111) (ข) (110) และ (ค) (100)

2.1.2.2 การประยุกต์ใช้ชีวิตรีบวนได้ออกไปใช้

การประยุกต์ใช้ออกไซด์ของธาตุหายากซึ่งเรียมได้ออกไซด์ (Rare earth oxide ceria) ส่วนใหญ่จะใช้เป็นตัวเร่งปฏิกิริยา [29] การใช้งานส่วนมากจะใช้ในการลดสารประกอบของไนโตรเจนออกไซด์ที่เกิดในแก๊สเสียจากการถ่ายน้ำ ระบบบำบัดประกอบด้วยตัวเร่งปฏิกิริยาสามทาง (three-way catalyst) ซึ่งใช้เซเรมิกส์หรือสารที่มีโลหะที่มีการเคลือบอะลูมินา ซึ่เรีย หรือออกไซด์อื่นๆ และรวมกับโลหะ เช่น แพลทินัม พัลลาเดียม และโรเดียม ความสามารถของซีเรียในการเร่งปฏิกิริยาเกิดจากความจุในการกักเก็บออกซิเจน (Oxygen storage capability) จำนวนมากตัวอย่างเช่น ความสามารถในการเกิดปฏิกิริยาเร็วหากอัตราเร็วและเกิดขึ้นได้ซึ่งขึ้นอยู่กับกระแสของ

เครื่องปฏิกรณ์ ลักษณะนี้สัมพันธ์กับ facile creation, healing และการแพร่ของช่องว่างออกซิเจน โดยเฉพาะที่ผิวน้ำของซีเรียม นอกจากนี้ซีเรียมมีศักยภาพที่จะใช้ในเทคโนโลยีเชลล์เชือเพลิง [30-34]

นิยมใช้ซีเรียม โคออกไซด์ในผลิตภัณฑ์ป้องกันแผล และใช้มากที่สุดในส่วนกักเก็บออกซิเจนในตัวเร่งปฏิกิริยาสามทางในรถยนต์ และนิยมใช้ซีเรียมร่วมกับออกไซด์อื่นๆ ในปัจจุบัน ซีเรียม โคออกไซด์สามารถใช้เป็นวัสดุสำหรับการเร่งปฏิกิริยาเชิงแสงในปฏิกิริยาออกซิเดชันด้วยแสงของน้ำและสารอินทรีย์ที่ระเหยได้อ่อนๆ

ตารางที่ 2.2 สมบัติของซีเรียม โคออกไซด์

สมบัติ	ซีเรียม โคออกไซด์
สี	สีเหลืองอ่อนถึงขาว
ความหนาแน่น (g/cm^3)	7.1
ความเป็นกรด	ค่าอ่อน
ΔH_{f298}° (kcal/mol)	-246
จุดหลอมเหลว (K)	2873
โครงสร้างผลึก	ลูกบาศก์แบบแกนหน้า
สภาพไฟฟ้าลบ (Pauling)	2.3
ขอบการคูคูลิน (nm)	~420 nm
พลังงานช่องว่าง (eV)	~2.95
สภาพนำ ($\Omega^{-1} \text{cm}^{-1}$)	$1.2-2 \times 10^{-8}$

ที่มา: Sato *et al.*, 2004

2.2 การเผาแบบเฟลมสเปรย์

2.2.1 กระบวนการเผาแบบเฟลมสเปรย์

การเผาไหม้ของหยดสารตั้งตื้นเหลว เพื่อสังเคราะห์ผงของออกไซด์ผสมด้วยวิธีที่เรียกว่ากระบวนการเผาแบบเฟลมสเปรย์ (Flame spray pyrolysis process, FSPP) นี้ ได้มีการศึกษาอย่างเป็นระบบโดยใช้หัวฉีดในการผสมแก๊สจากภายนอก (External-mixing gas-assisted atomizer) ด้วยทางเข้าของเปลว (Flameletes) จำนวน 6 ตัวเพื่อผสมมีเทนกับออกซิเจนก่อน เครื่องปฏิกรณ์เหล่านี้มีการใช้ในอุตสาหกรรมเพื่อผลิตสารต่างๆ ได้แก่ SiO_2 , TiO_2 , Al_2O_3 และออกไซด์อื่นๆ โดยการเผาไหม้ไอของสารประกอบชาไอลด์และไฮดรคาร์บอนอื่นๆ การเผาไหม้โดยการสเปรย์เมื่อ

เที่ยบกับเครื่องปฏิกรณ์เปลวไฟแบบเดิมเป็นที่น่าสนใจกว่า เมื่อจากสามารถใช้ชนิดของสารตั้งต้นเหลวได้มากกว่า

กระบวนการเผาแบบเพลมสเปรย์ สามารถผลิตผงโลหะออกไซด์ผสมที่มีขนาดระหว่าง 1 – 200 nm ด้วยสารตั้งต้นราคากลูโคด้วยอัตราสูงถึง 250 g/h ในวิธีการสลายด้วยการสเปรย์แบบเดิมสารละลายจะถูกฉีดพ่นไปบนเครื่องปฏิกรณ์แบบผังร้อน ซึ่งของเหลวในหมุดของอนุภาคจะเกิดการระเหยตัวละลายจะแห้ง เกิดปฏิกิริยาสลายโดยความร้อน (Thermolysis) ของอนุภาคที่แห้งที่อุณหภูมิสูงเพื่อกีดเป็นอนุภาคขนาดไมโครที่มีรูพรุน และเกิดกลุ่มอนุภาคที่หนาแน่นขึ้นเนื่องจากเกิดการรวมตัวทางความร้อน

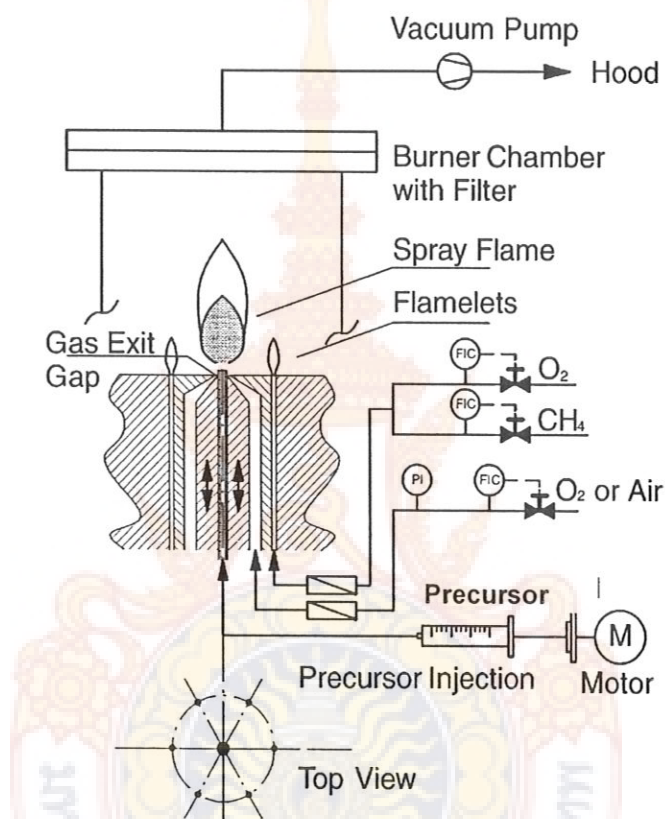
เทคนิคการเผาแบบเพลมสเปรย์โดยทั่วไปนั้น การใช้เปลวไฟเป็นแหล่งความร้อน จะป้อนเข้าเพลิงกับการฉีดสารละลายของสารตั้งต้นจะแยกจากกัน เช่น ป้อนเข้าเพลิงคือแก๊สผสมของไฮโดรเจนกับออกซิเจน (Oxy-hydrogen) เข้าทางหนึ่ง และฉีดพ่นสารละลายของสารตั้งต้นเข้าอีกทางหนึ่ง เมื่อผสมกันแล้ว หมดสารละลายจะระเหยอย่างรวดเร็ว สารตั้งต้นจะทำปฏิกิริยากับเปลวไฟของเชื้อเพลิง แต่วิธีการสังเคราะห์ผงโลหะออกไซด์สมของ $\text{CeO}_2\text{-TiO}_2$ ด้วยในงานวิจัยนี้สารละลายของสารตั้งต้นที่ถูกฉีดพ่นออกมายังเกิดเป็นเปลวไฟ ทำให้เกิดการระเหยของตัวทำละลาย และหมุดของเหลวเกิดการเผาไหม้ ข้อดีของวิธีทั่วไป คือ สามารถละลายสารตั้งต้นโดยตรงกับเชื้อเพลิง การนำสารตั้งต้นเข้าสู่บริเวณปฏิกิริยาที่ร้อน (Hot reaction zone) หรือเปลวไฟทำได้ง่าย และการฉีดพ่นด้วยความเร็วสูงเพื่อทำให้แอโรโซล (Aerosol) ที่เย็นตัวลงอย่างรวดเร็วจะยึดหยุ่นได้มากกว่า

รูปที่ 2.4 แสดงแผนภาพในการทดลอง ชุดทดลองการเผาแบบเพลมสเปรย์ประกอบด้วยหัวฉีดเพื่อช่วยในการผสมแก๊สภายนอก (External-mixing gas-assisted nozzle) ซึ่งทำจากห่อรูเด็ก (Capillary tube) ที่มีเส้นผ่านศูนย์กลางภายนอก 0.91 mm เส้นผ่านศูนย์กลางภายใน 0.6 mm ซึ่งใส่อยู่ในห่อที่มีเส้นผ่านศูนย์กลาง 1.2 mm จึงทำให้เกิดช่องเปิดวงแหวนที่มีพื้นที่สูงสุด 0.48 mm^2 สารตั้งต้นและเชื้อเพลิงจะไหลผ่านห่อรูเด็ก ส่วนแก๊สกระเจียจจะไหลในช่องวงแหวน ปลายเปิดของห่อรูเด็กอยู่สูงกว่าปลายเปิดของห้องวงแหวน 0:5 mm เพื่อทำให้มุ่นในการสเปรย์มีค่าคงที่สำหรับอัตราไหลของของเหลวทุกค่า นอกจากนี้ยังทำให้เกิดการฉีดพ่นที่ดีเมื่ออัตราไหลของของเหลวมีค่าต่ำมากๆ และป้องกันการซึมผ่านของของเหลวเข้าสู่ห่อแก๊สและเกิดการอุดตันในหัวฉีด ชุดทดลองนี้ออกแบบให้การปรับหัวฉีดของแก๊สกระเจียจเปรค่าได้อย่างต่อเนื่อง เมื่อห่อทางออกมีพื้นที่ระหว่าง 0 - 0.48 mm^2 เก็บอนุภาคที่สังเคราะห์ได้บนแผ่นกรองที่ทำการไฟเบอร์แก้วที่มีขนาดเส้นผ่านศูนย์กลาง 15 cm ซึ่งวางอยู่ที่ปลายทางออกของปล่องแก๊สที่ยาว 15.5 cm และมีเส้นผ่าน

สูนย์กลาง 12 cm โดยปลายล่างของปล่องแก๊สอยู่สูงกว่าหัวฉีด 12 cm อัตราไหลของแก๊สไอลผ่านแผ่นกรองเท่ากับ 130 l/min โดยความคุณให้คงที่ด้วยปืนพ่นสูญญากาศ [35]

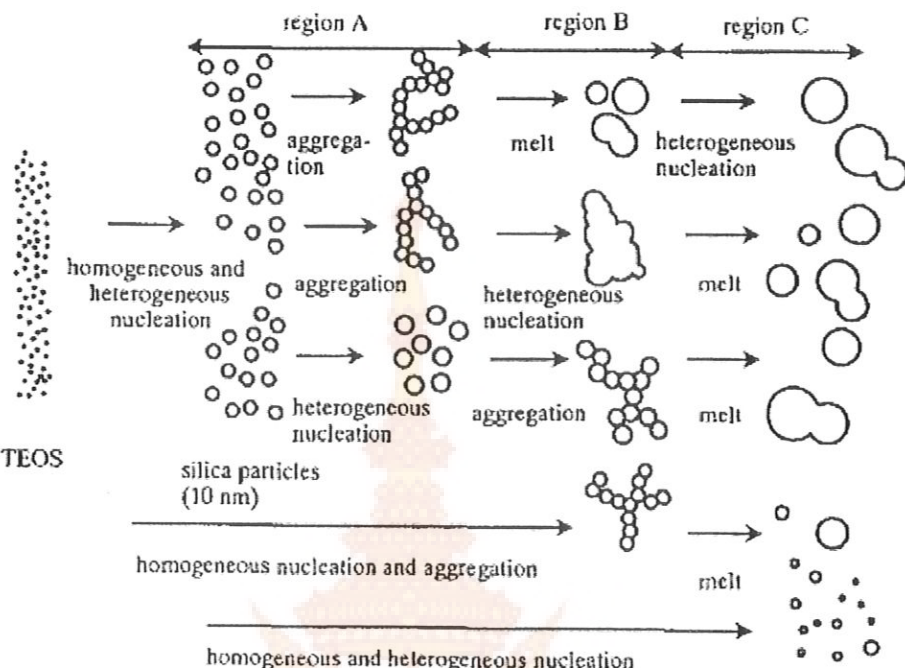
2.2.2 การเกิดอนุภาค

การเกิดอนุภาคในเปลวไฟเป็นงานวิจัยที่น่าสนใจมาก เพราะต้องใช้ความรู้ทั้งทางด้านวิทยาศาสตร์และวิศวกรรมศาสตร์



รูปที่ 2.4 แผนภาพของกระบวนการเผาแบบเพลมสเปรย์

สารตั้งต้นและแก๊สที่ไอลเข้าทำปฏิกิริยาที่อุณหภูมิสูง เพื่อเกิดโมเลกุลของผลิตภัณฑ์โมเลกุลที่เกิดเหล่านี้จะเกิดเป็นอนุภาคอย่างรวดเร็วทั้งจากการชนกันของโมเลกุลอย่างไม่มีข้อจำกัด หรือเกิดกระบวนการถูกขับเคลื่อนด้วยการจับก้อน (Coagulation-driven process) และจากการเติบโตของกลุ่มโมเลกุลที่อยู่ต่ำกว่าวิกฤติ หรือเกิดกระบวนการถูกขับเคลื่อนด้วยการเกิดนิวเคลียส พลิก (Nucleation-driven process) ซึ่งจะเกิดที่กระแสปลายนครื่องปฏิกิริณ์ (Downstream in the reactor) ซึ่งมีอุณหภูมิต่ำ อนุภาคเหล่านี้จะเติบโตต่อไปด้วยการควบแน่น (Condensation) และ/หรือการจับก้อน (Coagulation) อย่างไรก็ตามเมื่ออุณหภูมิลดลงอนุภาคที่ชนกันจะไม่เกิดการรวมตัวอย่างสมบูรณ์ ทำให้เกิดการรวมตัวของอนุภาคเริ่มต้น อนุภาคที่รวมตัวเหล่านี้เกิดจากการแข็งขัน ระหว่างการจับก้อนและการหลอมรวมตัวทางความร้อน ดังแสดงในรูปที่ 2.5 และ 2.6 [36]



รูปที่ 2.5 แผนภาพของกลไกในการเกิดอนุภาคซิลิกาและการเติบโตในเปลวไฟที่เพร์

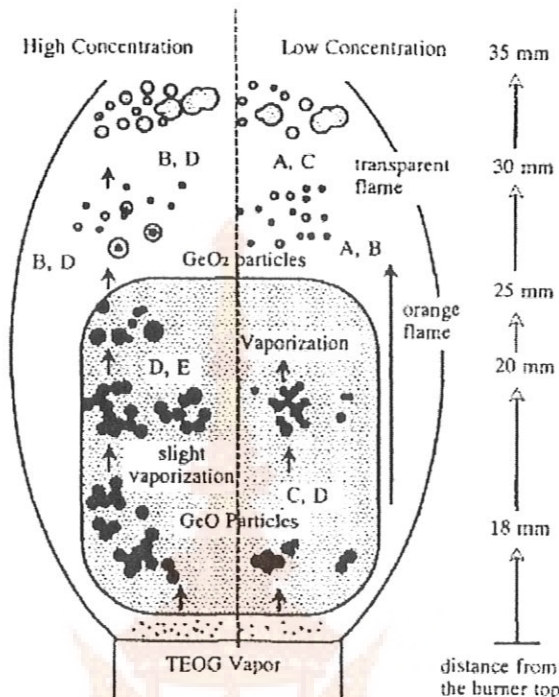
2.3 การเร่งปฏิกิริยาเชิงแสงและกระบวนการเร่งปฏิกิริยาเชิงแสง

หัวข้อนี้จะกล่าวถึงการเร่งปฏิกิริยาเชิงแสง (Photocatalysis) สารกึ่งตัวนำ ตัวเร่งปฏิกิริยา เชิงแสง และการสลายสารประกอบอินทรีย์ด้วยการเร่งปฏิกิริยาเชิงแสง การกล่าวถึงบทความที่ น่าสนใจที่เกี่ยวกับทฤษฎีพื้นฐานในการเร่งปฏิกิริยาเชิงแสงและกระบวนการเร่งปฏิกิริยาเชิงแสง (Photocatalytic Process)

2.3.1 การเร่งปฏิกิริยาเชิงแสง

การศึกษาทางวิทยาศาสตร์เกี่ยวกับการเร่งปฏิกิริยาเชิงแสงเกิดขึ้นประมาณ 25 ปีที่ผ่านมา งานวิจัยส่วนมากสนใจที่การเพิ่มการเร่งปฏิกิริยาเชิงแสง โดยการคัดแปรไฮเดเนียมด้วยการเติมโลหะ หรือไอออนของโลหะ การลดสีข้อม สารประกอบกึ่งตัวนำ การเติมไฮอนคลและสร้างไฮอนโลหะ บทความที่เกี่ยวข้องกับการทบทวนวรรณกรรมส่วนใหญ่จะเน้นที่การใช้สารกึ่งตัวนำในการทำน้ำ/อากาศให้บริสุทธิ์ด้วยการเร่งปฏิกิริยาเชิงแสง [37]

ในช่วงระยะเวลา 20 ปีที่ผ่านมา กระบวนการเร่งปฏิกิริยาเชิงแสงเกี่ยวข้องกับอนุภาคสารกึ่งตัวนำภายใต้การเปล่งแสงญวี ซึ่งแสดงข้อดีของศักยภาพและการใช้ประโยชน์ในการบำบัดน้ำเสีย [38]



- A: Homeogeneous and heterogeneous nucleation
 B: Oxidation
 C: Aggregation • GeO particles
 D: Vaporization ○ GeO₂ particles
 E: Melt

รูปที่ 2.6 แผนภาพของกลไกในการเกิดอนุภาคเจอมานieiและการเติบโตในเปลวไฟที่แพร่

ตั้งแต่มีการพนการแยกนำล้าวยปฏิกิริยาเคมีไฟฟ้าเชิงแสง (Photoelectrochemical splitting) ทำให้การเร่งปฏิกิริยาเชิงแสงเป็นที่สนใจอย่างมาก เนื่องจากปฏิกิริยาเชิงแสงมีข้อดีอย่างมากในการนำบัดโดยหางานลพิที่เป็นสารอินทรีย์ในน้ำเสียและอากาศ [39] การเร่งปฏิกิริยาเชิงแสงในสิ่งแวดล้อมเป็นที่น่าสนใจเป็นอย่างมากเนื่องจากความสามารถของวัสดุ เช่น ไทเทเนียมไดออกไซด์ซึ่งถือว่าเป็นตัวเร่งปฏิกิริยาเชิงแสงอุดมคติที่มีความเกี่ยวข้องหลายด้าน ไทเทเนียมเป็นที่นิยมใช้กันอย่างกว้างขวาง เนื่องจากไทเทเนียมมีสมบัติทางแสงและสมบัติทางไฟฟ้าที่ดี ราคากูก มีความสามารถทางเคมี และไม่เป็นพิษ [39, 40] ดังนั้น ไทเทเนียมจึงเป็นตัวเร่งปฏิกิริยาเชิงแสงที่ดีในการประยุกต์ใช้ด้านสิ่งแวดล้อม เช่น การเกิดปฏิกิริยาออกซิเดชันเชิงแสงของโมเลกุลของสารอินทรีย์ และสารอนินทรีย์ขนาดเล็กในมลพิษอากาศและมลพิษน้ำ [41]

2.3.2 สารกึ่งตัวนำ

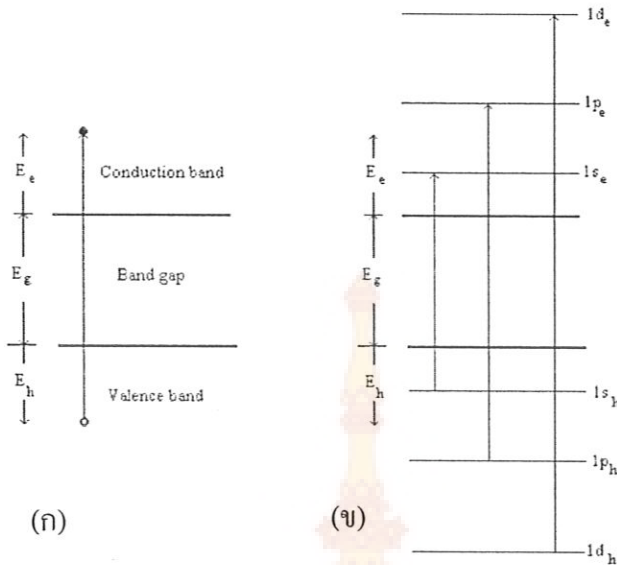
ในเซลล์ต่างศักย์เชิงแสงอาทิตย์ (Solar photovoltaic cell) คือ ไฟฟ้าที่ออกขับอย่างมีประสิทธิภาพในพิเศษทางตรงกันข้ามด้วยส่วนไฟฟ้าที่ขوب หรือส่วนที่ตัดกันของสารกึ่งตัวนำชนิดเอ็นและชนิดพี (n- and p-type semiconductors) หรือที่ส่วนตัดกันของสารกึ่งตัวนำหรือโลหะ มีการแสดงความเป็นไปได้ของการแยกสลายด้วยไฟฟ้าเชิงแสงในครั้งแรก กับระบบที่ใช้ชี้ว่าไฟฟ้าที่เป็นสารกึ่งตัวนำไทเทเนียมชนิดเอ็น (n-type TiO₂ semiconductor) ซึ่งถูกต่อผ่านโลหดไฟฟ้าไปขังชี้ว่าไฟฟ้าแพลงแสตนเลสชั่วขณะ เมื่อชี้ว่าไฟฟ้าสารกึ่งตัวนำสัมผัสกับสารละลาย จะเกิดสมดุลเทอร์โมไดนามิกส์ที่รอยต่อผิว ซึ่งอาจเกิดจากการเกิดชั้นช่องว่างประจุ (Space-charge layer) ภายในบริเวณผิวน้ำบางๆ ของสารกึ่งตัวนำ ที่ชี้ว่าแพลงงานอิเล็กทรอนิกส์ได้งงอขึ้นหรือลงในกรณีของสารกึ่งตัวนำชนิดเอ็นและพีตามลำดับ ถ้าชี้ว่าไฟฟ้านี้ได้รับโฟตอนที่มีพลังงานมากกว่า พลังงานช่องว่างແสน (E_g) ซึ่งจะอธิบายในหัวข้อ 2.3.3) ของวัสดุนั้น จะเกิดคู่ไฟฟ้าอิเล็กตรอนและแยกจากกันในชั้นช่องว่างประจุ ในกรณีของสารกึ่งตัวนำชนิดเอ็น จะเกิดสถานไฟฟ้าขวางชั้นช่องว่างประจุ ทำให้ไฟฟ้าเชิงแสงที่เกิดขึ้นไปสู่บริเวณระหว่างผิว เช่นระหว่างผิวของเจ็ง-ของเหลว และทำให้อิเล็กตรอนไปสู่ภายนอกในชี้ว่าไฟฟ้า และจากที่นั่นไปสู่รอยต่อไฟฟ้าไปสู่วงจรภายนอก [40]

โครงสร้างอิเล็กทรอนิกส์ของสารกึ่งตัวนำมีบทบาทสำคัญการเร่งปฏิกิริยาเชิงแสง สารกึ่งตัวนำ [37] ดังนั้นตัวเร่งปฏิกิริยาเชิงแสงสารกึ่งตัวนำจึงเป็นที่สนใจในการประยุกต์ใช้ในการช่วยเสริมสิ่งแวดล้อมและการแยกนำ [42]

เป็นที่รู้กันว่า ไทเทเนียมเป็นตัวเร่งปฏิกิริยาเชิงแสงที่มีประสิทธิภาพสูงที่สุดตัวหนึ่งในการสลายสารปนเปื้อนอนทรีย์ [37, 42] แต่ย่างไรก็ตามข้อเสียหลักของไทเทเนียม คือ ช่องว่างແสนที่กว้าง 3.2 eV ซึ่งจำกัดการประยุกต์ใช้ในบริเวณของแสงที่เห็นด้วยตาเปล่า

2.3.3 ช่องว่างແสนของสารกึ่งตัวนำเชิงปริมาณตร

สถานะความตื้นของอิเล็กตรอนในผลึกปริมาณมาก จะมีพลังงานที่ประกอบด้วยແสนของค่าพลังงานที่ยอมให้เกิดการแยกโดยช่วงในพลังงานที่ไม่มีสถานะปราภูมิอยู่ ภายในແสนพลังงานเปรต่อเนื่องอย่างมีความสำคัญ ในสารกึ่งตัวนำทั่วไปอิเล็กตรอนรอบนอกอยู่ในແสนที่เรียกว่าແสนเวลาenซ์ และจากการประมาณค่าครั้งแรก สถานะทั้งหมดในແสนนี้ถูกเติมด้วยอิเล็กตรอน ແสนสูงสุดต่อมารียกว่าແสนการนำ ซึ่งແสนนี้จะว่างเปล่า ดังแสดงในรูปที่ 2.7(ก) และการนำจะแยกออกจากແสนเวลาenซ์ด้วยช่องว่างແสน ซึ่งແสนด้วย E_g ในรูป และมีการทำนายการกระตุ้นของไฟฟ้าอิเล็กตรอน (Electron-hole excitations) ในสารกึ่งตัวนำทรงกลมดังแสดงในรูปที่ 2.7(ข) [43]



รูปที่ 2.7 (ก) ແຄນ ช่องว่างແບນ และการกระตุ้น ໂພຣອີເລີກຕຣອນໃນສາຣກິ່ງຕັວນໍາເຊີງ ປຣິມາຕຣ ຄ່າພລັງຈານອູ້ໃນແກນຕັ້ງ (ຂ) ກາຮທຳນາຍກາຮກະຕຸ້ນ ໂພຣອີເລີກຕຣອນ ໃນອນຸກາຄສາຣກິ່ງຕັວນໍານາຄານາໂນເມຕຣທຽງກລມ

เมื่อ ໂພຣອົນຄູດກລືນ ໂດຍສາຣກິ່ງຕັວນໍາປຣິມາລັມນາກ ອີເລີກຕຣອນອາຈຸກກະຕຸ້ນຈາກ ແບນແວແລນ໌ໄປສູ່ແບນການນຳ ຜຶ້ງຈະເຫັນໄດ້ສັດຈາກຮູບທີ່ 2.7(ກ) ພລັງຈານຕໍ່ສຸດໃນກະຕຸ້ນນີ້ ເກີດຂຶ້ນເມື່ອ ໂພຣອີເລີກຕຣອນອູ້ໃນສານະທີ່ສ່ວນຍອດຂອງແບນແວແລນ໌ ແລະ ອຸກກະຕຸ້ນໄຫ້ໄປອູ້ໃນສານະ ທີ່ສ່ວນດ່າງຂອງແບນການນຳ ພລັງຈານຂອງ ໂພຣອົນທີ່ຈຳເປັນສໍາຫັກກະຕຸ້ນນີ້ມີຄ່າເທົ່າກັນພລັງຈານ ຜຶ້ງຈະເຫັນໄດ້ສູ່ແບນ (E_g) ດ້ວຍພລັງຈານຂອງ ໂພຣອົນທີ່ອູ້ໃນກຣັນນີ້ມີຄ່ານ້ອຍກວ່າ E_g ສາຣກິ່ງຕັວນໍຈະໄມ່ເກີດກະຕຸ້ນ ດ້ວຍພລັງຈານຂອງ ໂພຣອົນພື້ນຂຶ້ນອ່າຍຕ່ອນຈ່າຍກ່າວ່າ E_g ຈະມີຄ່າສູງກວ່າ E_g ຄ່າກາຮກະຕຸ້ນຈະເພີ່ມຂຶ້ນທັນທີ ຜຶ້ງຈະເຫັນສະເປັກຕັ້ນກະຕຸດກລືນຂັ້ນຂຶ້ນ ຜຶ້ງກຣັນນີ້ນັງກວ່າ E_g ຂອບ ກະຕຸດກລືນ (Absorption edge) ດັ່ງນັ້ນກາຮວດພລັງຈານຂອງ ໂພຣອົນທີ່ຂອບຂອງກະຕຸດກລືນຈະໄດ້ຄ່າ E_g

ໃນບທຄວາມທບທວນທີ່ຜ່ານມາ [37] ໄດ້ອີນາຍເກື່ອງກັນກາຮພລິຕໍໄໂໂໂໂຣເຈນດ້ວຍກາຮເຮັງ ປຸກົກົມຍາເຊີງແສງ ແລະ ໄທ້ຄວາມສນໃກ້ການທຳໄໝບຣິສຸທີ່ດ້ວຍກາຮເຮັງປຸກົກົມຍາເຊີງແສງ ທັ້ງການທຳນໍ້າ ອາກສາໃໝ່ບຣິສຸທີ່ດ້ວຍກາຮເຮັງປຸກົກົມຍາເຊີງແສງ ແລະ ກາຮພລິຕໍໄໂໂໂໂຣເຈນດ້ວຍກາຮເຮັງປຸກົກົມຍາເຊີງແສງ ຕ້ອງກາກເກີດ ໂພຣອົນຂອງ ໂພຣອີເລີກຕຣອນຄູ່ (Hole/electron pairs) ອ່າຍໄຮກ້ຕາມກາຮໃໝ່ໂພຣ/ ອີເລີກຕຣອນຄູ່ ແລະ ຮະບນກະບວນກາຈະແຕກຕ່າງກັນ ໃນການທຳນໍ້າ/ອາກສາໃໝ່ບຣິສຸທີ່ດ້ວຍກາຮເຮັງ ປຸກົກົມຍາເຊີງແສງ ໂພຣແບນແວແລນ໌ (Valence band holes) ເປັນສ່ວນສໍາຄັນທີ່ເໜີ່ຍັນດຳໄທ້ເກີດກະຕຸ້ນ ສາຍຂອງສາຣປັນປື້ອນ

ปฏิกริยาออกซิเดชัน เป็นกลไกพื้นฐานของการทำน้ำ/อากาศให้บริสุทธิ์ด้วยการเร่งปฏิกริยาเชิงแสง การคุณภาพที่ผิวน้ำและปฏิกริยาการเร่งเชิงแสงสามารถทำให้เพิ่มขึ้นได้โดยสาร ก็ตัวนำขนาดนาโนที่มีพื้นที่ผิวที่กว้างมากกว่า ในเวลาที่ผ่านมาได้มีการพัฒนาเทคนิคในการคัดแปรและการเติมสารเคมีเพื่อปรับปรุงความกว้างไว้ในการเร่งปฏิกริยาเชิงแสงของไทด์เนี่ยภายในการส่องแสงในช่วงที่ตามองเห็น [37]

2.3.4 ตัวเร่งปฏิกริยาเชิงแสงสารกึ่งตัวนำ

เมื่อสารกึ่งตัวนำเปล่งแสงด้วยพลังงานที่เหมาะสมของแสง ตัวอย่างเช่น มีค่าสูงกว่าช่องว่างเดบอน อิเล็กตรอนจะถูกกระตุ้นจากແบนแวนเดนซ์ไปสู่ແบนการนำ ซึ่งได้รับกำลังในการรีดิวช์ของพลังงานແบนการนำ ดังแสดงในตารางที่ 2.3 [44] และในวงบวกถูกสร้างขึ้นในແบนแวนเดนซ์ กำลังในการออกซิไดส์ของพลังงานແบนแวนเดนซ์ คือสร้างไฟตอนเหล่านี้สามารถทำให้ผิวน้ำของตัวเร่งปฏิกริยาเกิดการรวมกันในการปล่อยพลังงานความร้อน และ/หรือการเปล่งแสง หรือเกิดปฏิกริยาเรียกอกซ์ รวมทั้งเกิดการคุณภาพตัวรับอิเล็กตรอนหรือตัวให้อิเล็กตรอน ความกว้างไว้ในการเร่งปฏิกริยาเชิงแสง ขึ้นอยู่กับคุณลักษณะอิเล็กทรอนิกส์ที่สำคัญของตัวเร่งปฏิกริยาเชิงแสง และยังขึ้นอยู่กับลักษณะของโครงสร้างและเคมีฟิสิกส์ของผิวน้ำ [44]

ตารางที่ 2.3 ตัวรีดิวช์ที่ใช้ในการลดมลพิษ

ชนิดของสาร	ศักย์รีดิวช์มาตรฐานกับขั้วไฟฟ้า ไฮโอดรเจนปกติ ¹ (V)
Hydrated electrons	-2.90
Hydroxide radical, $\cdot OH$	2.80
Superoxide radical, $O_2^{\cdot -}$	-0.33
Ozone, O_3	2.07
Hydrogen peroxide, H_2O_2	1.78
$c^-_{CB} (TiO_2)$	-0.50
$h^+_{CB} (TiO_2)$	2.70

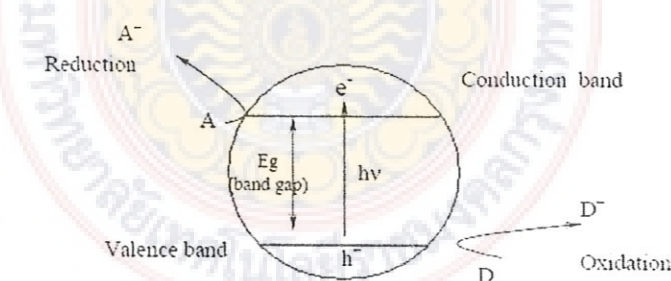
¹ ตัวรีดิวช์ที่ดีกว่าจะมีค่าศักย์ที่เป็นลบสูงกว่า

อนุญาตัวออกซิไดส์ที่เกิดจากแสงที่อยู่ในไฟฟ้าให้เกิดออกซิไดส์กับสารต่างๆ ถ้ามีแก๊สออกซิเจนเพื่อจับอิเล็กตรอนที่เกิดจากแสงทำให้เกิดการปรับปรุงการแยกประจุ เพราะจะนั่นจึงทำให้เกิดไฟฟ้า

ตัวเร่งปฏิกิริยาเชิงแสงสารกึ่งตัวนำเหล่านี้มีช่วงແฉนในบริเวณรังสีอัลตราไวโอเดต เช่น สมมูลย์กับหรือมากกว่า 3.2 eV ($\lambda = 387 \text{ nm}$) ดังนั้นสารเหล่านี้จึงทำให้เกิดการเร่งปฏิกิริยาเชิงแสงโดยการเปล่งแสง (Illumination) การแผรังสีญี่วี (UV radiation) แต่スペกตรัมของแสงอาทิตย์มีแสงญี่วีเพียง 5-7% ในขณะที่เป็นแสงที่เห็นด้วยตาเปล่า 46% และเป็นแสงอินฟราเรด 47% [45] ปัจจุบันแสงญี่วีในスペกตรัมแสงอาทิตย์จำนวนน้อยนี้ ทำให้เป็นอุปสรรคในการใช้แหล่งธรรมชาติของแสงในการเร่งปฏิกิริยาเชิงแสงเพื่อถ่ายสารปนเปื้อนอินทรีย์และอนินทรีย์ รวมทั้งการจ่าเชื้อแบคทีเรียจากน้ำและอากาศในปัจจุบันมาก การรวมตัวของประจุที่ผิวน้ำและในปริมาตร (Surface and volumetric charge recombination) ยังเป็นอีกอุปสรรคหนึ่งที่กีดขวางการเร่งปฏิกิริยาเชิงแสงที่จะทำให้วิธีการทำสารให้บริสุทธิ์มีประสิทธิภาพ

2.3.5 การถ่ายคุณภาพเร่งปฏิกิริยาเชิงแสง

ช่วงແฉนจะให้นิยามของความไวต่อความบานคลื่นของสารกึ่งตัวนำในการเปล่งแสง [46] อนุญาตสารกึ่งตัวนำจะคุณภาพดี พลังงานของไฟตอนสูงกว่าหรือเท่ากับพลังงานช่วงແฉน จากนั้น อิเล็กตรอนจากແฉนเวลาเลนซ์ ถูกทำให้เข้าสู่ແฉนการนำคุณภาพการเกิดเวลาเลนซ์อิเล็กตรอนนิกส์พร้อมกัน หรือเกิด “ไฟฟ้า” (h^+) ในແฉนสมดุล กระบวนการนี้คือการกระตุ้นเชิงแสงของอิเล็กตรอน รูปที่ 2.8 แสดงกระบวนการเร่งปฏิกิริยาเชิงแสงที่เกิดบนอนุญาตสารกึ่งตัวนำที่เปล่งแสง



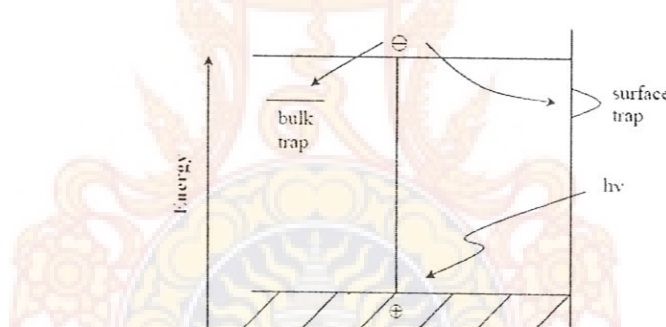
รูปที่ 2.8 กระบวนการเร่งปฏิกิริยาเชิงแสงที่เกิดบนอนุญาตสารกึ่งตัวนำที่เปล่งแสง

วัสดุส่วนมากที่นำไฟฟ้า เช่น โลหะที่มีตัวพาประจุ (Charge carriers) 2 ชนิด คือ อิเล็กตรอน (e^-) และ ไฟฟ้า (h^+) จะรวมตัวกันทันทีที่ผิวน้ำ หรือที่ก่อตุ้นอนุญาตในเวลาเพียง 2-3 ns และเกิดพลังงานกระจายในรูปความร้อน ดังสมการที่ (2.1) บนสารกึ่งตัวนำจะต้องใช้เวลามากที่จะยอมให้ตัวพาเหล่านี้จับที่ผิวน้ำที่ซึ่งตัวพาสามารถทำปฏิกิริยากับตัวให้ (Donor, D) หรือตัวรับ

(Acceptor, A) คุณชั้นหรืออยู่ไกล์พิวน้ำของอนุภาค ดังสมการที่ (2.2) ถึง (2.4) [47] ต่อจากนี้จะเกิดออกซิเดชันและรีดักชัน



กระบวนการรวมตัวของอิเล็กตรอนและโพรง อาจได้รับความช่วยเหลือจากการจับที่กลุ่มอนุภาคและพิวน้ำ รูปที่ 2.9 [48] ระดับพลังงานของกลุ่มอนุภาคและพิวน้ำตอกอยู่ภายใต้ช่วงเด่น ตัวจับที่พิวน้ำและกลุ่มอนุภาคเกิดการเคลื่อนที่ และอิเล็กตรอนที่ถูกจับในสถานะนั้นจะเข้าร่วมกับตำแหน่งเฉพาะตำแหน่งหนึ่งบนพิวน้ำ หรือในกลุ่มของอนุภาคจำนวนของตัวจับที่พิวน้ำและกลุ่มอนุภาคขึ้นกับไฟฟ้าเตอร์สองตัว คือ การลดลงของอนุปารามิเตอร์ที่เกิดขึ้นเมื่ออิเล็กตรอนถูกจับและความแตกต่างของพลังงานสัมพัทธ์ระหว่างตัวจับและส่วนล่างของเดนการ์นา



รูปที่ 2.9 การจับอิเล็กตรอนที่พิวน้ำและที่กลุ่มอนุภาค

เมื่อโมเลกุลของน้ำที่ถูกคุณชั้นถูกออกซิไดส์โดยโพรง จะเกิดอนุนุลไฮดรอกซิล (OH^\cdot) ซึ่งมีกำลังออกซิไดส์สูงกว่า ดังแสดงในมการที่ (2.5) และ (2.6)



อนุนุลไฮดรอกซิลสามารถทำปฏิกิริยากับสารอินทรีย์ โดยตอนเริ่มต้นจะเกิดอนุนุลอิสระ เมื่อโมเลกุลของออกซิเจนปราศจาก โดยปฏิกิริยานักเกิดในที่มีออกซิเจนซึ่งได้จากการใช้ตัวเร่งปฏิกิริยาเชิงแสงสำหรับสิ่งแวดล้อม ออกซิเจนจะทำปฏิกิริยากับอนุนุลอิสระเหล่านี้เกิดเป็นอนุนุลเปอร์ออกซิอินทรีย์ ซึ่งอนุนุลเหล่านี้จะเกิดปฏิกิริยาถูกไฟในเวลาสั้นๆ สารประกอบอินทรีย์จะถูกลาย เช่น เปลี่ยนเป็นคาร์บอนไดออกไซด์และน้ำ [40, 49]

ในสารละลายที่มีน้ำเป็นตัวทำละลาย การผลิตอนุนูลดไฮดรอกซิล (OH^-) เป็นที่ต้องการเนื่องจากมีกั่นไฮดรอกซิลและโมเลกุลของน้ำจำนวนมากบนผิวน้ำของตัวเร่งปฏิกิริยา อย่างไรก็ตามในวัสดุภาคแก๊สสารอินทรีย์สามารถเป็นตัวจับได้เองสำหรับโครงสร้างที่เกิดจากแสง เนื่องจากในวัสดุภาคแก๊ส โมเลกุลของน้ำไม่ใช่ตัวหลักในการสัมผัสนับตัวเร่งปฏิกิริยา ถึงแม้ว่าจะมีไอน้ำ กั่นไฮดรอกซิลที่อยู่บนผิวน้ำของตัวเร่งปฏิกิริยาและทำให้เกิดปฏิกิริยาออกซิเดชันเชิงแสง จึงไม่อาจตัดทิ้งได้ [49]

ขณะที่อิเล็กตรอนซึ่งเกิดในคู่ไฟฟ้า ($e^- + \text{O}_2 \rightarrow \text{O}_2^-$) ต้องทำหน้าที่ด้วยอิเล็กตรอนเหล่านี้ถูกใช้เพื่อรีดิวส์ เช่น เติมอิเล็กตรอนให้ออกซิเจนในอากาศ เนื่องจากอิเล็กตรอนถูกรีดิวซ์ง่ายกว่าน้ำ มันจึงถูกรีดิวซ์เพื่อเกิดเป็นประจุลบอนุนูลดซุปเปอร์ออกไซด์ (O_2^-) ดังแสดงในสมการที่ (2.7)



ประจุลบอนุนูลดซุปเปอร์ออกไซด์ทำปฏิกิริยากันเองเกิดเป็นอนุนูลดเปอร์ออกซิลังกล่าวยังตัวนั้น ผลิตภัณฑ์ที่ไม่เสียหายที่ได้ประกอบด้วยออกซิเจนอย่างน้อย 4 อะตอม และสามารถถ่ายเพื่อเกิดเป็นโมเลกุลของการรับอนได้ออกไซด์ ในระดับโมเลกุลซุปเปอร์ออกไซด์ทำหน้าที่เหมือนประจุซุปเปอร์ (Supercharge) ซึ่งทำให้กระบวนการออกซิเดชันเพิ่มขึ้นอย่างมาก ซึ่งในความจริงก็คือเป็นปฏิกิริยาการเผาไหม้ นอกจากรถไก่นี้ กลไกที่ถูกเสนอเมื่อเร็วๆ นี้คือ การเกิดออกซิเจนอะตอม (O^\bullet) ที่ว่องไวอย่างมากในอากาศ ทำให้กระบวนการโดยตรงกับพันธะของการรับอนในสารอินทรีย์

โดยทั่วไปกระบวนการเร่งปฏิกิริยาเชิงแสงสามารถอธิบายได้อย่างง่ายๆ ในท่อนของขั้นตอนต่อไปนี้: (1) การคุคชั้นโมเลกุลบนผิวของสารที่ตัวนำ (2) การเกิดคู่ไฟฟ้า ($e^- + \text{O}_2 \rightarrow \text{O}_2^- + \text{h}^+$) โดยการเปล่งแสง (3) การจับอิเล็กตรอน (ไฟฟ้า) ที่ตำแหน่งที่ผิว (Surface sites) (4) การเกิดกระบวนการรีดออกซ์โดยการถ่ายโอน e^- และ h^+ จากผิวน้ำไปยังโมเลกุลที่ถูกคุคชั้น [41]

ขั้นตอนบางขั้นตอนอาจขึ้นอยู่กับสารมัธยัณฑ์ที่เกิดจากปฏิกิริยาที่ผิวน้ำของไทด์เนียตัวอย่างเช่น เป็นที่เชื่อกันว่าโมเลกุลของออกซิเจนเป็นตัวคันหาอิเล็กตรอนที่มีประสิทธิภาพมาก จึงทำให้เกิด O_2^- ที่สัมพันธ์กับสารมัธยัณฑ์ที่ป้องกันการรวมตัวของ $e^- + \text{h}^+$ ซึ่งไม่เป็นที่ต้องการ และมีผลต่อขั้นตอนที่ (3) ข้างต้น นอกจากนี้ O_2^- ที่เกิดจากสารมัธยัณฑ์สามารถหนีขึ้นนำให้เกิดสารออกซิไดส์ที่ทำให้เกิดปฏิกิริยาออกซิเดชันของสารอินทรีย์ซึ่งมีผลต่อขั้นตอนที่ (4) ข้างต้น ดังนั้น โมเลกุลของออกซิเจนจึงมีบทบาทสำคัญในกระบวนการเร่งปฏิกิริยาเชิงแสง โดยเป็นสารหลักในกระบวนการรีดักชันเชิงแสงซึ่งเกิดร่วมกับกระบวนการออกซิเดชันเชิงแสง [41]

การศึกษาในช่วงต้นแสดงให้เห็นว่า ไทดีเจนทำให้สารอินทรีย์จำนวนมากเกิดปฏิกิริยาเร่ไวแสง (Photomineralized) อย่างสมบูรณ์ กลไกในการเกิดปฏิกิริยาซึ่งเป็นกระบวนการออกซิเดชันเร่งปฏิกิริยาเชิงแสงแบบวิธพันธุ์ได้ก่อตัวโดยละเอียดไว้ในบทความ [38]

กลไกของปฏิกิริยาในการเร่งปฏิกิริยาเชิงแสงที่ใช้ไทดีเจน ประกอบด้วยอนุมูลอิสระที่เกิดจากแสงยูวี กล่าวสั้นๆ คือ เมื่อสารกึ่งตัวนำ เช่น ไทดีเจนถูกคลื่นพลังงานของไฟฟ้าทำลาย หรือมากกว่าความกว้างของช่องว่างແสน อะลีกตรอนอาจถูกกระตุ้นจากແสนแผลน้ำ e_{CB}^- ทำให้เกิดช่องว่างอะลีกตรอนหรือโพรง (hole) ในແสนแผลน้ำ (h_{VB}^+) ถ้ามีการแยกประจุเกิดขึ้น อะลีกตรอนและโพรงอาจเคลื่อนไปยังผิวน้ำของตัวเร่งปฏิกิริยาเพื่อเกิดปฏิกิริยาเรื่อกัดกร่อน ต่างๆ ที่ถูกดูดซับไว้ โดยเฉพาะ h_{VB}^+ อาจทำปฏิกิริยากับ H_2O หรือ OH^- ที่อยู่รอบๆ ผิวน้ำ เพื่อเกิดเป็นอนุมูลไ媳ครอกซิด และ e_{CB}^- ถูกจับโดยออกซิเจนเพื่อเกิดเป็นประจุลบอนุมูลชูปเปอร์ออกไซด์ (O_2^-) ดังแสดงในสมการที่ (2.8) ถึง (2.10) [38]



อนุมูล OH^\bullet และ O_2^{*-} เป็นตัวออกซิไดส์ที่เริ่มกระบวนการเร่งปฏิกิริยาเชิงแสง ออกซิเจนมีความสำคัญในปฏิกิริยาของสารอินทรีย์ของเร่ (Mineralization of organics) อย่างสมบูรณ์ ดังแสดงในสมการที่ (2.9) [50] ที่ทำให้เกิดอนุมูลชูปเปอร์ออกไซด์ กรอบของโนเมเลกุลของออกซิเจน และอนุมูลไ媳ครอกซิดที่ถูกดูดซับจะทำให้เกิดโดยไฟฟ้า อาจทำให้เกิด H_2O_2 บทบาทของ H_2O_2 ในการทำให้เกิดสารที่ว่องไวแสดงในสมการต่อไปนี้ [51]



มีการศึกษาผลของไไฮดรเจนเพ้อออกไซด์ (H_2O_2) มากmany [52-54] และพบว่า H_2O_2 เพิ่มอัตราการสลายเชิงแสงของมลพิษจากสารอินทรีย์ เหตุผลในการเพิ่มอัตราการสลายของสีเข้ม เมื่อมีการเติม H_2O_2 มีมากmany เหตุผลแรกของการเพิ่มอัตราการสลาย คือการเคลื่อนย้ายอะลีกตรอน

ที่ถูกจับที่ผิวออกไป ทำให้อัตราการรวมตัวของโพรงอิเล็กตรอนลดลงและเพิ่มประสิทธิภาพในการใช้โพรงในการเกิดปฏิกิริยา เช่น ($OH^- + h^+ \rightarrow OH^*$) เหตุผลที่สอง คือ H_2O_2 อาจแยกโดยแสง ทำให้เกิดเป็นอนุญล OH^* โดยตรง เช่นจากการศึกษาปฏิกิริยาออกซิเดชันเชิงแสงแบบเอกพันธุ์โดยใช้แสงยูวีหรือ ($H_2O_2 + O_2$) เหตุผลที่สาม คือ วัสดุภาชนะสามารถดักจับอนุภาคอนุญาติได้ยาก จึงสามารถลดการหล่อหลอมของอนุภาคในช่องทางเดินของอากาศในช่องเดิน ดังนั้นการเติม H_2O_2 จึงเพิ่มอัตราการเกิดปฏิกิริยาไปข้างหน้า จึงทำให้เกิดการให้ออกซิเจนอย่างพอเพียง

2.4 งานวิจัยที่ผ่านมา

2.4.1 การสังเคราะห์ผลึกขนาดนาโนเมตรด้วยเทคนิคการเผาแบบเฟลมสเปรย์

Hendrik K. Kammler และคณะ (2001) ทบทวนการเกิดและควบคุมคุณลักษณะของอนุภาคในเครื่องปฏิกิริยาน้ำที่ใช้สารตั้งต้นได้หลายชนิด จึงสามารถสังเคราะห์อนุภาคขนาดนาโนได้มากเนื่องจากสามารถใช้สารตั้งต้นได้หลายชนิด จึงสามารถสังเคราะห์อนุภาคขนาดนาโนได้มากน้อย และเทคนิคนี้ยังเป็นเครื่องมือที่มีประสิทธิภาพในการควบคุมคุณลักษณะของผลิตภัณฑ์ที่ได้ ถ้าสารตั้งต้นอยู่ในเฟสแก๊ส ตัวแปรที่สนใจ ได้แก่ การผสมของสารตั้งต้น ชนิดของสารตั้งต้น สารเติมแต่ง สนามไฟฟ้าภายนอก อุณหภูมิของเปลวไฟ และเวลาที่อนุภาคอยู่ในเครื่องปฏิกิริย์ แต่ถ้าสารตั้งต้นอยู่ในเฟสของเหลว ตัวแปรที่สนใจ ได้แก่ องค์ประกอบของสารตั้งต้นในของเหลว และองค์ประกอบของเชื้อเพลิงเหลว

Roger Mueller และคณะ (2002) ศึกษาผลของการผลิตที่ 100, 200 และ 300 g/h สารตั้งต้นที่ใช้คือ เอ็กซ์เมทิลไดไฮಡโรไซแซน (Hexamethyl disiloxane, HMDSO) ความเข้มข้นของสารตั้งต้นเท่ากับ 1.26, 3.0 and 4.7 M และการเพิ่มขึ้นของอัตราไฟลอกของแก๊สกระจาย คือ อากาศ หรือ O_2 เท่ากับการเพิ่มขึ้นของอัตราส่วนโดยมวลของแก๊สต่อของเหลว (Gas liquid mass ratio, GLMR) ต่อเส้นผ่านศูนย์กลางของอนุภาคตั้งต้น โครงสร้างอนุภาค และปริมาณของคราบอนในโครงสร้าง nano ของอนุภาคซิลิกาที่สังเคราะห์ด้วยเทคนิค FSP ซึ่งควบคุมคุณลักษณะอย่างใกล้ชิด ที่อัตราการผลิตสูง (สูงถึง 1.1 kg/h) ผลการทดลองสอดคล้องกับวิธีสังเคราะห์อนุภาคขนาดนาโนแบบเวฟอร์-เฟลเมลแอโรโซล (Vapor-fed flame aerosol synthesis) ผลการศึกษาแสดงให้เห็นว่าขนาดอนุภาคตั้งต้นเฉลี่ยของผลิตภัณฑ์ถูกควบคุมให้มีขนาดระหว่าง 10 – 75 nm โดยไม่ขึ้นกับความเข้มข้นของสารตั้งต้น ซึ่งเป็นการยืนยันว่า การเกิดอนุภาคจะเกิดขึ้นระหว่าง FSP ในเฟสแก๊ส ตามด้วยการทำให้หยดสารตั้งต้นระเหยอย่างรวดเร็ว วัตถุประสงค์ของงานวิจัยนี้ได้ศึกษา FSP แบบต่อเนื่องอย่างเป็นระบบเพื่อสังเคราะห์อนุภาคขนาดนาโนด้วยอัตราการผลิตสูง

2.4.2 อิทธิพลของแรงกระทำระหว่างซีเรียมและไทเทเนียมในตัวเร่งปฏิกิริยา $\text{CeO}_2\text{-TiO}_2$

Zhaolin Liu และคณะ (2005) ศึกษาผลของซีเรียมออกไซด์ที่เติมลงในอนุภาคนาโนไทเทเนียมชั้นสั้นเคราะห์ด้วยปฏิกิริยาโซล-เจลของ $\text{Ti}(\text{i-OC}_3\text{H}_7)_4$ ในสารละลายของ $\text{Ce}(\text{NO}_3)_3$ ที่มีน้ำเป็นตัวทำละลายทำให้ได้ออกไซด์ผสมที่มี TiO_2 เป็นเฟสหลักและ CeO_{2-y} , $0 < y < 0.5$, 3–7% Ce โดยน้ำหนัก เป็นเฟสที่เติมลงไป พนวจ่างของออกไซด์ที่มีปริมาณซีเรียมแตกต่างกันทำให้เกิดการหน่วงในการเปลี่ยนแปลงของเฟสแอนาเทสเป็นเฟสรูไทล์ที่อุณหภูมิในการเผาสูงถึง 800°C การเปลี่ยนแปลงจากแอนาเทสเฟสเป็นรูไทล์เฟสสูกเบี่ยงเบนในออกไซด์ $\text{CeO}_{2-y}\text{-TiO}_2$ ในการทดลองจากรูปแบบของ XRD พนเฟส CeO_{2-y} ในช่วงอุณหภูมิระหว่าง 600 ถึง 800°C แต่สิ่งหลักที่พนในงานวิจัยนี้คือ การคุณลักษณะทางแสงจะเปลี่ยนไปทางแสงสีแดงในช่วง 380–460 nm และปริมาณของ CeO_{2-y} มีผลต่อความเข้มของการคุณลักษณะ พง $\text{CeO}_2\text{-TiO}_2$ ทำให้ช่วงการคุณลักษณะทางแสงสีเหลืองของ TiO_2 เกิดการเบี่ยงเบนไปสู่ช่วงแสงที่มองเห็นด้วยตาเปล่า และพนว่าปริมาณของ CeO_{2-y} ที่เหมาะสมต้องทำให้เกิดการคุณลักษณะทางแสงมากที่สุด คือ 5% โดยน้ำหนัก

Shaoxia Yang และคณะ (2005) ศึกษาผลของแรงกระทำระหว่างซีเรียมและไทเทเนียมต่อโครงสร้างของตัวเร่งปฏิกิริยา $\text{CeO}_2\text{-TiO}_2$ ตัวเร่งปฏิกิริยา $\text{CeO}_2\text{-TiO}_2$ ซึ่งเตรียมด้วยวิธีโซล-เจลสูกพัฒนาและใช้ในปฏิกิริยาออกซิเดชันด้วยอากาศชื้นที่มีการเร่งปฏิกิริยา (Catalytic wet air oxidation, CWAO) ด้วยกรดแอกซิດิกที่อุณหภูมิของปฏิกิริยา 230°C และความดัน 5 MPa เป็นเวลา 180 นาที และใช้บันดค่าความต้องการออกซิเจนทางเคมี (Chemical oxygen demand, COD) ด้วยวิธีทางชีววิทยา ผลการทดลองแสดงให้เห็นว่า เมื่อปริมาณของ Ti บนผิวน้ำของตัวเร่งปฏิกิริยา $\text{CeO}_2\text{-TiO}_2$ เพิ่มขึ้น ทำให้ขนาดผลึกเฉลี่ยของ CeO_2 ลดลงและพื้นที่ผิวเพิ่มขึ้น แนวเด่นชัดของ Ce^{3+} เพิ่มขึ้น และค่าการคุณลักษณะทางเคมีลดลงเล็กน้อย ตัวเร่งปฏิกิริยา $\text{CeO}_2\text{-TiO}_2$ ให้ค่าความว่องไวและความเต็มยำที่ดีในปฏิกิริยา WAO ของกรดแอกซิດิก อันดับความว่องไวในปฏิกิริยา CWAO ของกรดแอกซิດิกเป็นดังนี้ Ce/Ti 1/1 > Ce/Ti 3/1 > Ce/Ti 1/3 > Ce/Ti 5/1 > CeO_2 > TiO_2 > ไม่มีตัวเร่งปฏิกิริยา นอกจากนั้นอัตราส่วนโดยอัตราส่วนของ Ce ต่อ Ti เท่ากับ 1 เมื่อ Ce/Ti เท่ากับ 1 การนำบันด COD หรือการเปลี่ยนแปลงของกรดแอกซิດิก เท่ากับ 64% ในปฏิกิริยา CWAO ของกรดแอกซิດิก

2.4.3 การใช้ตัวเร่งปฏิกิริยาขนาด nano เมตรเป็นตัวเร่งปฏิกิริยาเชิงแสง

Pierre-Alexandre Deveau และคณะ (2007) ศึกษาระบบที่แตกต่างกัน 3 ระบบด้วยภาวะในการทดลองที่แตกต่างกัน 3 ระดับ (โดยเฉพาะความเข้มข้น) โดยใช้เครื่องปฏิกรณ์ที่มีการเร่งปฏิกิริยา 3 แบบ แบบหนึ่งอยู่ในภาวะไอลแบบสเตติกส์ และอีกสองแบบอยู่ในภาวะไอลแบบไนามิกส์เพื่อทำให้เข้าใจปรากฏการณ์การเร่งปฏิกิริยาเชิงแสงของ TiO_2 ในแก๊สและการคุณลักษณะ

กลไกที่เกิดในเฟสและการถลายโกลูอีน จุดเด่นของการศึกษานี้คือ เป็นไปไม่ได้ที่จะรวมการถลายของสารพิษและการแยกโลหะโดยไม่มีการคุณค่าซับผลิตภัณฑ์ที่ได้จากการถังเคราะห์แสง การถ่ายซับและการถลายนั้นอยู่กับความชื้นสัมพัทธ์ในเฟสแก๊ส และพลังงานกระตุ้นของการถ่ายซับนอกจานนี้ตัวเร่งปฏิกิริยา PC500 TiO_2 จากบริษัท Millenium ซึ่งเป็นเฟสแอนาเทส 100% ขนาดอนุภาคเฉลี่ย 10 nm และพื้นที่ผิว $350 m^2/g$ เป็นตัวรองรับที่เหมาะสมสำหรับตัวเร่งปฏิกิริยาเชิงแสง ที่ความชื้นของโกลูอีนมีค่าสูง และสามารถนำบัดได้ถึง 80% เมื่อเทียบกับขนาดของเครื่องปฏิกิริยานี้เชิงแสงที่ประยุกต์ใช้ในการนำบัดพิษจากแก๊ส

R. Kavitha และคณะ (2007) ศึกษาผลของการเคลือบและอุณหภูมิของสารตั้งต้นที่มีต่อน้ำอนุภาค ความเข้มข้นของสารละลายของสารเริ่มต้นในเฟส และความรุนแรง และความหนาของชั้นฟิล์ม TiO_2 ที่เคลือบนสารตั้งต้นซึ่งถูกทำให้สัมภาระโดยการเผาแบบเฟลมสเปรย์ เพื่อใช้ในการเร่งปฏิกิริยาเชิงแสงในการถลายน้ำมันเมราซอลบริลเลียนท์บลูในสารละลาย ที่มีน้ำเป็นตัวทำละลาย ฟิล์มที่ได้เป็นเฟสแอนาเทสเมื่ออุณหภูมิของสารตั้งต้นต่ำ เป็นเฟสรูไทด์เมื่ออุณหภูมิของสารตั้งต้นสูง และเป็นเฟสผสมของเฟสทั้งสองชนิดนี้เมื่ออุณหภูมิของสารตั้งต้นปานกลาง เนื่องจากการเคลือบจะเกิดเมื่ออุณหภูมิของสารตั้งต้นสูง เมื่อเวลาในการเคลือบและความหนาของฟิล์มเพิ่มขึ้น ความรุนแรงที่ปรากฏบนผิวน้ำจะเพิ่มขึ้นด้วย เนื่องจากการลดลงอย่างมากของขนาดอนุภาคเมื่อของอนุภาคเริ่มต้น ทำให้เห็นการเกิดฟิล์มเมื่อความเข้มข้นของสารละลายของสารเริ่มต้นมีค่าต่ำ ในส่วนของปฏิกิริยาเชิงแสงเพื่อถลายสีเยื่อมเมราซอลบริลเลียนท์บลูประสบความสำเร็จเป็นอย่างดีเมื่อใช้ตัวเร่งปฏิกิริยาเชิงแสง ZnO_2 และ TiO_2 ที่เป็นเฟสแอนาเทสภายใต้การถ่องรังสีญี่ปุ่น แต่การเร่งปฏิกิริยาเชิงแสงของฟิล์ม ZnO_2 มีค่าสูงกว่าของฟิล์ม TiO_2 ทั้งเฟสแอนาเทส และเฟสรูไทด์

Yongqing Zhai และคณะ (2007) ศึกษาผลของการเพิ่มอุณหภูมิแคลไซน์ และค่าการคุณค่าของ CeO_2 ขนาดนาโนเมตรที่สัมภาระที่ได้ ในปฏิกิริยาถลายที่มีการเร่งปฏิกิริยาเชิงแสง และการถลายน้ำมันด้วย CeO_2 ขนาดนาโนเมตรที่สัมภาระจากสารตั้งต้น คือ ซีเรียมคาร์บอนเนตที่มีผลึกน้ำ ($Ce_2(CO_3)_3 \cdot 2.5H_2O$) และใช้แอมโมเนียมไนเตรต (NH_4HCO_3) เป็นสารตกตะกอนเพาที่อุณหภูมิ $400^\circ C$ เป็นเวลา 2 ชั่วโมง ผลการทดลองพบว่าขนาดผลึกเมื่อของซีเรียมได้ออกไซด์เพิ่มขึ้นในช่วง $285-365 nm$ และมีค่าการคุณค่าสัมภาระสูงในช่วงแสงที่มองเห็นด้วยตาเปล่า ใน การใช้ CeO_2 ขนาดนาโนเมตรเป็นตัวเร่งปฏิกิริยาในปฏิกิริยาถลายที่มีการเร่งปฏิกิริยาเชิงแสง พบว่า อัตราการถลายของสีแอสิกแบล็ค 10B (Acidic Black 10B) ในน้ำเสียจากสีเยื่อมสูงถึง 97%

Gratian R. Bamwenda และคณะ (2007) ศึกษาการใช้ CeO_2 เป็นสารสำหรับเชิงแสงเพื่อใช้ในการผลิตออกซิเจนในรูปของ Ce_{aq}^{4+} และ Fe_{aq}^{3+} และพารามิเตอร์ที่เหมาะสมสำหรับปฏิกิริยา

ผลได้ของแก๊สออกซิเจนขึ้นอยู่กับเวลาในการให้แสง ความเข้มข้นของ CeO_2 ความเข้มข้นของตัวรับอิเล็กตรอน และ pH ของสารละลายนการผลิตแก๊สออกซิเจนเชิงแสงที่เหมาะสมได้จากการปฏิบัติการ $2y$ คือ เวลาในการให้แสงน้อยกว่า 10 ชั่วโมง ความเข้มข้นของ CeO_2 $2\text{--}5 \text{ g/dm}^3$ $[\text{Ce}^{4+}]$ $4\text{--}5 \text{ mM}$ ค่า pH น้อยกว่า 3 และความยาวคลื่นของแสงน้อยกว่า 420 nm ในระหว่างปฏิบัติการที่ใช้เวลามาก สารละลายน CeO_2 แสดงความเสถียรเชิงแสงและความว่องไวที่น่าพอใจหลังจากการให้แสง 400 ชั่วโมง จากการศึกษาพบว่าในการผลิตแก๊สออกซิเจนขึ้นอยู่กับเวลาในการให้แสง ความเข้มข้นของ CeO_2 ความเข้มข้นเริ่มต้นของตัวรับอิเล็กตรอน และ pH เป็นอย่างมาก ผลการทดลองที่ได้แสดงให้เห็นว่า สารละลายน CeO_2 ที่มีน้ำเป็นตัวทำละลายประกอบด้วย Ce_{aq}^{4+} และ Fe_{aq}^{3+} ซึ่งมีความเสถียร เป็นสารที่น่าสนใจที่จะใช้เป็นสารกระตุ้นทางแสงในการผลิตแก๊สออกซิเจนเชิงแสงและมีแก๊สไฮโดรเจนเกิดขึ้นเด่นน้อยภายใต้ภาวะในการศึกษาแตกต่างกัน

Baoshun Liu และคณะ (2007) ศึกษาผลของการเร่งปฏิกิริยาเชิงแสงของฟิล์ม $\text{CeO}_2\text{-TiO}_2$ ซึ่งเตรียมด้วยวิธีแมกนีตรอนสะพัดเทอริง (Magnetron sputtering) ภาบได้แสงญี่แอลแสงที่มองเห็นได้ และศึกษาเบริชบที่บันทึกฟิล์ม TiO_2 และ CeO_2 จากการศึกษาพบว่าฟิล์ม $\text{CeO}_2\text{-TiO}_2$ ให้ค่าการเร่งปฏิกิริยาเชิงแสงสูงกว่าฟิล์ม TiO_2 บริสุทธิ์ สาเหตุหลักเกิดจากการที่แสงหนึ่งยวนำให้เกิดการถ่ายโอนอิเล็กตรอนจากเครื่องข่ายของ TiO_2 ไปยังเครื่องข่ายของ CeO_2 เนื่องจากช่วยให้เกิดการหนึ่งยวนำเชิงแสงในช่วงอายุการใช้งาน (Life span) ของ TiO_2 ในการทดลองภายในห้องปฏิบัติการที่แสงที่มองเห็นได้พบว่า ฟิล์มของ $\text{CeO}_2\text{-TiO}_2$ ให้ความว่องไวที่มีประสิทธิภาพ ถึงแม้ว่าจะไม่มีความว่องไวในการเร่งปฏิกิริยาเชิงแสงบนเปลวไฟของ TiO_2 และ CeO_2 บริสุทธิ์

2.4.4 การจำกัด荷ไอฟินด้วยการเร่งปฏิกิริยาเชิงแสง

Zhao Di-Shun และคณะ (2008) ศึกษาปฏิกิริยาออกซิเดชันเชิงแสงทางเคมีของ荷ไอฟินที่ละลายในน้ำมันมัล-ออกเทน (*n*-octane) ทำให้เกิดการถ่ายเชิงแสงและจำกัดลงในเฟสของน้ำที่อุณหภูมิห้องและความดันบรรยากาศโดยใช้ O_2 เป็นตัวออกซิไดส์ กระบวนการคีชัลฟูไทรเชชันของ荷ไอฟินโดยใช้ปฏิกิริยาออกซิเดชันเชิงแสงร่วมกับการสกัดของเหลวด้วยของเหลว และได้ผลการศึกษาดังนี้

(1) การถ่าย荷ไอฟินละลายในน้ำมันมัล-ออกเทนด้วยการถ่ายเชิงแสง ประสบความสำเร็จโดยใช้หลอดไฟประอทที่ความดันสูง และจำกัดลงในเฟสของน้ำที่อุณหภูมิห้องและความดันบรรยากาศของแก๊สออกซิเจน อาการเป็นตัวออกซิไดส์ที่มีประสิทธิภาพสำหรับ荷ไอฟินภายใต้แสงญี่แอล และปฏิกิริยาคีชัลฟูไทรเชชันของ荷ไอฟินถูกปรับปรุงโดยการเติมโซดาไลท์สังเคราะห์ซึ่งเป็นตัวคุณชั้บแก๊สออกซิเจน ผลได้จากปฏิกิริยาคีชัลฟูไทรเชชันของ荷ไอฟินที่ละลายในน้ำมันมัล-ออกเทนเท่ากับ 92.3% เมื่อใช้โซดาไลท์สังเคราะห์ 0.15 g และเวลาในการให้แสง 5 ชั่วโมง

(2) อัตราเร็วของปฏิกิริยาออกซิเดชันเชิงแสงของไทโอดีนด้วยแก๊สออกซิเจน เป็นปฏิกิริยาอันดับที่หนึ่ง และผลิตภัณฑ์หลักจากปฏิกิริยาออกซิเดชันเชิงแสง คือ ชาลฟิน กรดออกชาลิก ชาลเฟต์ ไอออน และคาร์บอนไดออกไซด์

Fabielle C. Marques และคณะ (2008) ศึกษาการสลายไหโอดีนในเฟสแก๊สโดยใช้ $\text{TiO}_2/\text{Cr-MCM-41}$ ที่สังเคราะห์ด้วยอัตราส่วนเชิงไมลของ Si/Cr เท่ากับ 100, 50 และ ∞ และผง TiO_2 10 และ 20 % โดยนำหนักบนตัวรองรับที่มีพื้นที่ผิวสูง และใช้แสงอาทิตย์ ตัวเร่งปฏิกิริยาที่สังเคราะห์ได้ให้ชื่อว่า 10 หรือ 20% $\text{TiO}_2/\text{Cr-MCM-41(50)}$ และ 10 หรือ 20% $\text{TiO}_2/\text{Cr-MCM-41(100)}$ จากการศึกษาพบว่า Cr-MCM-41 ที่มีอัตราส่วนของ Si/Cr ต่ำ มีค่าการเปลี่ยนแปลงต่ำที่สุด ดังนั้นในการทดสอบด้วยหลอดไฟญี่ปุ่นได้การเปลี่ยนแปลงเท่ากับ 100% เมื่อใช้ 20% $\text{TiO}_2/\text{Cr-MCM-41(100)}$ และมีค่าสูงกว่าเมื่อใช้ $\text{TiO}_2 \text{ P25}$ ซึ่งอาจเกิดเนื่องจาก TiO_2 มีการกระจายตัวสูงบนผิวหน้าของ Cr-MCM-41 เมื่อทดลองโดยใช้หลอดไฟແแสงที่มองเห็นได้ด้วยตาเปล่า พนว่าความเข้มข้นของโคมเมียมเป็นปัจจัยสำคัญที่มีอิทธิพลต่อความว่องไวในการเร่งปฏิกิริยาเชิงแสง หรือ ตัวเร่งปฏิกิริยาเชิงแสงที่มีอัตราส่วนของ Si/Cr สูงจะมีค่าการเปลี่ยนแปลงต่ำ โดย 20% $\text{TiO}_2/\text{Cr-MCM-41(50)}$ ให้ค่าการเปลี่ยนแปลงสูงกว่าของ 20% $\text{TiO}_2/\text{Cr-MCM-41(100)}$ และ $\text{TiO}_2 \text{ P25}$



บทที่ 3

วิธีการวิจัย

บทนี้เป็นการกล่าวถึงวิธีการวิจัยในการสังเคราะห์ TiO_2 ขนาดนาโนเมตรด้วยวิธีการเผาแบบเพล็มสเปรย์ และตรวจสอบคุณลักษณะเพื่อศึกษาผลของตัวแปรที่มีต่อการสังเคราะห์ด้วยการวิเคราะห์พื้นที่ผิวจำเพาะด้วยเทคนิคการคูคูชันแก๊สในโตรเจนหรือวิธีของ Brunauer-Emmett-Teller (BET method) ตรวจสอบความเป็นผลึก เฟสของไทเทเนียมที่สังเคราะห์ได้ และโครงสร้างของผลึกโดยการวิเคราะห์ด้วยการวิเคราะห์การเดี่ยวบนของรังสีเอกซ์ และศึกษาสัณฐานวิทยาของอนุภาคด้วยกล้องจุลทรรศน์แบบส่องผ่าน หัวข้อที่ 3.3 กล่าวถึงการสังเคราะห์อนุภาค TiO_2 , CeO_2 และ CeO_2-TiO_2 ขนาดนาโนเมตร และตรวจสอบคุณลักษณะเพื่อศึกษาผลของการเติมซีเรียมลงในไทเทเนียมด้วยเทคนิควิธีการเดียวกันกับในหัวข้อ 3.2 รวมทั้งเพิ่มการวิเคราะห์พลังช่องว่างแบบด้วยเทคนิคสเปกโโทรสโคปคูคูคลีนรังสียูวี-วีซีบีล เพื่อศึกษาผลของการเติมซีเรียมลงในตัวเร่งปฏิกิริยา ไทเทเนียมต่อการเปลี่ยนแปลงความขาวคลื่นของการคูคูคลีนรังสี

3.1 วัสดุและอุปกรณ์

3.1.1 อุปกรณ์ในการทดลอง ประกอบด้วย

3.1.1.1 อุปกรณ์ปรับเทียบและควบคุมการไหล (Calibrated mass flow controllers, Aalborg)

3.1.1.2 วัสดุกรองทำจากไม้ไคร ไฟเบอร์แก้ว (Glass microfibre filter, Whatman)

3.1.1.3 ปั๊มพื้นญูญาคัส (Vacuum pump, Kinetic Engineering Co.,Ltd).

3.1.2 วัสดุและสารเคมี ประกอบด้วย

3.1.2.1 ไทเทเนียม (IV) ไอโซโพropoxide ไซด์ (Titanium(IV) isopropoxide, $Ti(OCH_3)_4$, 97% Aldrich)

3.1.2.2 ไซลีน (Xylene, C_8H_{10}), 98% Panreac)

3.1.2.3 ไทเทเนียม (IV) บิวทอกไซด์ (Titanium(IV) butoxide, $Ti(OCH_2CH_3)_4$, 97% Aldrich)

3.1.2.4 แอมโมเนียมซีเรียม (IV) ไนเตรต (Ammonium cerium (IV) nitrate, $(NH_4)_2Ce(NO_3)_6$, 99.99% Aldrich)

3.1.2.5 แอลกอฮอล์สีเทา (Anhydrous ethanol, C₂H₅OH, T.J.)

3.1.2.6 แก๊สออกซิเจน (Oxygen, Thai Industrial Gas Co., Ltd.)

3.1.2.7 แก๊สเมทาน (Methane, Thai Industrial Gas Co., Ltd.)

3.1.2.8 แก๊สไฮเดรียม (Helium gas, Praxair)

3.1.3 เครื่องมือทดลองและเครื่องมือวิเคราะห์

3.1.3.1 เครื่องสังเคราะห์ตัวเร่งปฏิกิริยาเชิงแสงด้วยเทคนิคการเผาแบบเฟล์มสเปรย์ (FSP)

3.1.3.2 เครื่องวัดพื้นที่ผิว การกระจายของรูพรุน และไอโซเทอมการดูดซับ (BELSORP π apparatus; high precision surface area and pore size analyzer, BEL Japan, Inc.)

3.1.3.3 เครื่องวิเคราะห์ด้วยการเลี้ยงแบบของรังสีเอกซ์ (SIEMENS D5000)

3.1.3.4 กล้องจุลทรรศน์อิเล็กตรอนแบบส่องผ่าน (JEOL JEM-2010)

3.1.3.5 เครื่องแนบค่า 650 ยูวี/วิสสเปกโโทรฟ็อกซ์มิเตอร์ (Lambda 650 UV/Vis spectrophotometer)

3.2 การศึกษาผลของตัวแปรที่มีต่อคุณลักษณะของไกเทเนียขนาดนาโนเมตรที่สังเคราะห์ด้วยเทคนิคการเผาแบบเฟล์มสเปรย์

3.2.1 การเตรียมสารตั้งต้น

เตรียมสารละลายน้ำตั้งต้นให้มีความเข้มข้น 0.3, 0.5 และ 0.8 M โดยการละลายไกเทเนียม (IV) ไอโซพรอพอไชค์ในตัวทำละลายไฮคลีนให้มีปริมาตร 200 mL ใส่สารละลายน้ำตั้งต้นที่มีฝ้าปิดแบบเกลียวขนาด 200 mL ดังแสดงในรูปที่ 3.1

นำสารตั้งต้นที่เตรียมได้ทำการสังเคราะห์ไกเทเนียโดยใช้เครื่องสังเคราะห์วัสดุด้วยเทคนิคการเผาแบบเฟล์มสเปรย์ ดังแสดงในรูปที่ 3.2 โดยการแปรอัตราป้อนสารตั้งต้นเท่ากัน 3, 5 และ 8 mL/min และการกระจายตัวของแก๊สออกซิเจนเท่ากัน 3, 5 และ 8 L/h ทำการทดลองที่อุณหภูมิ 25°C และความดันแตกต่างของเครื่องเท่ากัน 1.5 bar

3.2.2 อุปกรณ์และวิธีการ

รูปที่ 3.2 แสดงการติดตั้งเครื่องสังเคราะห์ตัวเร่งปฏิกิริยาเชิงแสงของอนุภาค TiO₂ ขนาดนาโนเมตรด้วยเทคนิคการเผาแบบเฟล์มสเปรย์ (FSP)

การสังเคราะห์อนุภาคขนาดนาโน โดยใช้ชุดสังเคราะห์ตัวเร่งปฏิกิริยาเชิงแสงด้วยเทคนิคการเผาแบบเฟล์มสเปรย์เป็นดังนี้ ป้อนสารตั้งต้นซึ่งเป็นของเหลวที่มีความเข้มข้นตามที่

กำหนด เข้าสู่สูญญากาศของเปลวไฟฟ์สมของมีเทนและออกซิเจน โดยใช้ปั๊มพีไซริงค์ด้วยอัตราไหลดตามที่กำหนด และของเหลวถูกทำให้กระจายด้วยแก๊สออกซิเจนซึ่งเข้ามาอีกกระแสหนึ่ง เพื่อกิดเป็นหยาดของเหลวละเอียด (Fine spray) ที่หัวฉีดปรับความดันลดที่ปลายแคปิลารีให้มีค่าคงที่เท่ากับ 1.5 bar โดยการปรับพื้นที่ช่องว่างของอริฟิกซึ่งอยู่ที่หัวฉีด เฟลมสเปรย์ถูกล้อมรอบและทำให้ติดไฟด้วยเปลวไฟวงแหวนที่มีขนาดเล็กกว่าซึ่งเกิดจากช่องว่างวงแหวน อัตราไหลดของแก๊สฟ์สมของมีเทนและออกซิเจนซึ่งมีอัตราส่วนของมีเทนต่อออกซิเจนเท่ากับ 1.5 L ต่อ 3 L ถูกปรับให้คงที่เท่ากับ 4.5 L/min ใน การทดลองทุกการทดลอง แก๊สออกซิเจนอีกกระแสหนึ่ง (O_2 sheath gas) ซึ่งไหลดผ่านช่องวงแหวนด้วยอัตราไหลดตามที่กำหนด จะอยู่ร่วงนอกเพื่อสนับสนุนเปลวไฟ อัตราไหลดของแก๊สทุกชนิดถูกควบคุมด้วยอุปกรณ์ปรับเทียบและควบคุมการไหลด (Calibrated mass flow controllers) เก็บผลิตภัณฑ์ที่ได้ด้วยวัสดุกรองทำจากไม้ไครไฟเบอร์แก้ว (Glass microfibre) โดยใช้ปั๊มสูญญากาศ (Vacuum pump) ช่วยในการดูดผลิตภัณฑ์เข้าสู่วัสดุกรอง



รูปที่ 3.1 ลักษณะของสารตั้งต้นที่เตรียมได้

3.2.3 การตรวจสอบคุณลักษณะของตัวเร่งปฏิกิริยาไทเทเนียมที่สังเคราะห์ได้

3.2.3.1 การวัดพื้นที่ผิวด้วยเทคนิค BET

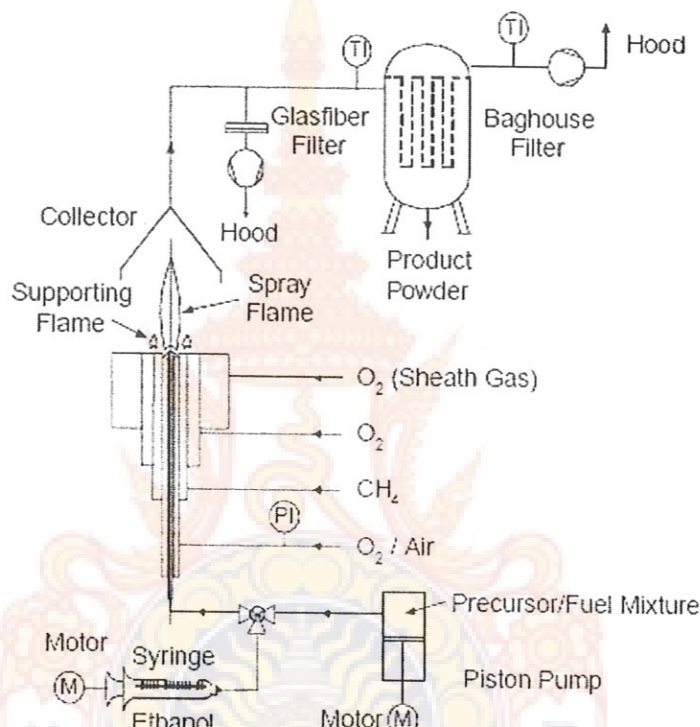
1. ชุดวิเคราะห์ขนาดครูพรุนและพื้นที่ผิวความเที่ยงสูงเบลซอร์ฟี π

การวัดพื้นที่ผิว การกระจายของรูพรุน และไอโซเทอมการคุณภาพของตัวเร่งปฏิกิริยาได้จากการคุณภาพในโครงสร้างภายในของตัวเร่งปฏิกิริยา BET (Brunauer-Emmett-Teller) โดยใช้ชุดวิเคราะห์ขนาดครูพรุนและพื้นที่ผิวความเที่ยงสูงเบลซอร์ฟี π (BELSORP π apparatus; high precision surface area and pore size analyzer, BEL Japan, Inc.) ชุดทดลองประกอบด้วย 2 ส่วน ส่วนแรกเรียกว่า เบลเพรป (BELPREP) ซึ่งเป็นส่วนเตรียมการทดสอบ และส่วนที่สองเรียกว่า

เบลซอร์ฟ (BELSORP) ซึ่งเป็นส่วนคุณภาพ การวัดเป็นแบบอัตโนมัติด้วยการควบคุมอย่างสมบูรณ์ของซอฟต์แวร์ที่มีโปรแกรมวิเคราะห์ของ BEL Sorp Series ดังนี้

ช่วงคุณลักษณะจำเพาะ (Specification range)

- ขนาดรูพรุนที่มีเส้นผ่านศูนย์กลางจาก 0.35 ถึง 200 nm
- ปริมาตรรูพรุนที่มีความละเอียดในการแยกถึง 0.025 μL



รูปที่ 3.2 ชุดสังเคราะห์ตัวเร่งปฏิกิริยาเชิงแสงด้วยเทคนิคการเผาแบบเพล็มสเปรย์

2. วิธีการ

ให้ความร้อนกับตัวเร่งปฏิกิริยาจำนวนประมาณ 80% ของเชลล์ตัวอย่าง ในบรรยายกาศแก๊สอีเดียมที่มีอัตราไหลเท่ากับ 50 mL/min ที่ 150 °C (423 K) เป็นเวลา 3 ชั่วโมง เพื่อໄล้น้ำที่อยู่ที่ผิวน้ำของตัวเร่งปฏิกิริยาออกไป จากนั้นทำให้เย็นลงจนถึงอุณหภูมิห้อง ชั่วหน้าหนักของตัวเร่งปฏิกิริยาและบันทึกข้อมูลลงในโปรแกรมคอมพิวเตอร์

นำเชลล์ตัวอย่างใส่ลงในส่วนที่สองหรือส่วนคุณภาพ ซึ่งมีในไตรเจนเหลวบรรจุอยู่ในภาชนะ (Dewar) จากนั้นสั่งให้เริ่มทดสอบโดยผ่านโปรแกรมคอมพิวเตอร์ ยกภาชนะที่บรรจุในไตรเจนเหลวขึ้นเพื่อให้เชลล์ตัวอย่างแข็งอยู่ในไตรเจนเหลว โดยต่อเชลล์ตัวอย่างเข้ากับส่วนที่ทำสุญญากาศ ในไตรเจนจะถูกคุณภาพที่ -196 °C (77 K) ที่ความดันย่อของไนโตรเจนค่าต่างๆ ในหน่วยปริมาตร

3.2.3.2 การวิเคราะห์คุณภาพนิยมการเลี้ยวเบนของรังสีเอกซ์

การวิเคราะห์คุณภาพเครื่องวิเคราะห์คุณภาพการเลี้ยงเว็บของรังสีเอกซ์ ปีที่ ๒

SIEMENS รุ่น D5000 ของศูนย์เชี่ยวชาญเฉพาะทางค้านคานาไลซิสและวิศวกรรมปฏิกริยาที่ใช้ตัวเร่งปฏิกริยา จุฬาลงกรณ์มหาวิทยาลัย วิเคราะห์จากมุม 2θ จาก 10° ถึง 70° โดยสแกนช่วงละ 0.04° โดยใช้ Ni-filtered Cu K α radiation (1.5418 \AA) การวิเคราะห์ด้วย XRD จะใช้โปรแกรมคอมพิวเตอร์ควบคุมด้วยโปรแกรม Diffract ZT version 3.3 กราฟที่ได้จากการวิเคราะห์ (XRD spectra) จะเขียนด้วยโปรแกรมซอฟต์แวร์ชื่อ XFIT การคำนวณขนาดเฉลี่ยของผลึกจะประมาณจากกราฟที่ได้ด้วยสมการของเซอร์เรอร์ (Scherrer equation) ซึ่งแสดงวิธีการคำนวณในภาคผนวก ข

3.2.3.2 การวิเคราะห์ด้วยกล้องจุลทรรศน์แบบส่องผ่าน

การศึกษานานาดอนุภาคและสัมฐานวิทยาของตัวเร่งปฏิกิริยาใช้กล้องจุลทรรศน์แบบส่องผ่าน ยี่ห้อ JEOL JEM-2010 ที่ศูนย์เทคโนโลยีโลหะและวัสดุแห่งชาติ (National Metal and Materials Technology Center) ซึ่งใช้ LaB₆ electron gun ความต่างศักย์ไฟฟ้า 80 และ 200 kV ที่มีชุดละเอียด (Point resolution) เท่ากับ 0.23 nm ภาพถ่ายจาก TEM ZTEM images ถ่ายด้วย TEM ที่มีกำลังขยายเท่ากับ 300000 และ TEM HT โดยตัวอย่างจะอยู่ในแนวลาด (Specimen high tilt configuration) เท่ากับ 200000 โครงสร้างของผลึกของตัวอย่างที่แสดงใน TEM วิเคราะห์ด้วย Selected area electron diffraction (SAED) ด้วยกำลังขยายที่ละเอียดในระดับเหนือสูง (Ultrahigh resolution configurations) ที่สามารถวิเคราะห์ด้วยรังสีเอกซ์ในพื้นที่อัลตราไมโคร (Ultra-micro area) การเลี้ยวเบนลำอิเล็กตรอนในพื้นที่อัลตราไมโคร และการเลี้ยวเบนลำอิเล็กตรอนกลับเข้า (Convergent electron beam diffraction)] และใช้รังสีเอกซ์กระจาบพลังงาน (Energy Dispersive X-Ray, EDX) ในการวิเคราะห์คุณภาพทางเคมีด้วย The Oxford Instruments Link 300 X-Ray Microanalysis System ซึ่งเป็นเครื่องมือประกอบ

3.3 การศึกษาผลของตัวแปรที่มีต่อคุณลักษณะของไทยเทเนี่ย ชีเรีย และชีเรีย-ไทยเนี่ยที่สังเคราะห์ด้วยเทคนิคการเพาแบบเพลอมสเปรย์

3.3.1 การเตรียมสารตั้งต้น

เตรียมสารละลายสารตั้งต้นให้มีความเข้มข้น 0.3 M โดยการละลายไทดีเจเนี่ยม (IV) นิวทอกไซด์ปริมาณที่เหมาะสมและ/หรือแอมโมเนียบซีเรียม (IV) ในเกรตในแอนไฮดรัส เอทานอล ในกรณีที่เป็นการเตรียมสารตั้งต้นเพื่อสังเคราะห์อนุภาคซีเรีย-ไทดีเจเนี่ยวนานาโนเมตร ให้อัตราส่วนโดยไมลของแอมโมเนียบซีเรียม (IV) ในเกรตต่อไทดีเจเนี่ยม (IV) นิวทอกไซด์เท่ากับ

$\frac{3}{97}, \frac{5}{95}, \frac{10}{90}, \frac{30}{70}, \frac{50}{50}, \frac{70}{30}$ ต่อจากนั้นให้กวนสารละลายที่อุณหภูมิห้องเป็นเวลา 30 นาที เพื่อไม่ให้สารละลายตกตะกอน

3.3.2 อุปกรณ์และวิธีการ

การสังเคราะห์ตัวเร่งปฏิกิริยาไทยเนย ซีเรีย และซีเรีย-ไทยเนย ได้ใช้อุปกรณ์และวิธีการเช่นเดียวกับในข้อที่ 3.2.2 แต่ให้อัตราการป้อนสารตั้งต้นเท่ากับ 5 mL/min ใน การทดลองทุก การทดลอง และอัตราไอลของแก๊สออกซิเจน (O_2 sheath gas) ซึ่งไอลผ่านช่องวงแหวนด้วยอัตรา ไอล 5 L/min ในการทดลองทุกการทดลอง

3.3.3 การตรวจสอบคุณลักษณะของตัวเร่งปฏิกิริยาที่สังเคราะห์ได้

การวัดพื้นที่ผิวด้วยเทคนิค BET การวิเคราะห์ด้วยเทคนิคการเลี้ยวเบนของรังสีเอกซ์ และการวิเคราะห์ด้วยกล้องจุลทรรศน์แบบส่องผ่าน ใช้อุปกรณ์และวิธีการเช่นเดียวกับในข้อ 3.2.3 แต่เพิ่มการวัดช่องว่างແบนยูวีของตัวเร่งปฏิกิริยาไทยเนย ซีเรีย และซีเรีย-ไทยเนยที่สังเคราะห์ได้ เพื่อศึกษาผลของการเติมซีเรียมลงในตัวเร่งปฏิกิริยาไทยเนยต่อการเปลี่ยนแปลงความยาวคลื่นของ การคูคูกลีนรังสี

วิธีการในการวัดพลังงานช่องว่างແบนยูวีเป็นดังนี้

สเปกตรัมการคูคอกลีนในช่วงยูวี-วิชิเบิล (UV-visible absorption spectra) และพลังงาน ช่องว่างແบนของตัวเร่งปฏิกิริยาเชิงแสง ได้จากเครื่องแอลมบ์ค่า 650 ยูวี/วิสสเปกโโทร โฟโตมิเตอร์ เพื่อศึกษามาตรฐานบดิทานไฟฟ้า และเปรียบเทียบกับข้อมูลที่เกี่ยวข้องกับความว่องไวของตัวเร่งปฏิกิริยา ซึ่งตรวจสอบคุณสมบัติด้วยเทคนิคอื่นๆ เครื่องแอลมบ์ค่า 650 ยูวี/วิสสเปกโโทร โฟโตมิเตอร์ เป็นของ ศูนย์เชี่ยวชาญเฉพาะทางค้านคานภาฯ ไอลซิสและวิศวกรรมปฏิกิริยาที่ใช้ตัวเร่งปฏิกิริยา จุฬาลงกรณ์ มหาวิทยาลัย วิเคราะห์ในช่วงความยาวคลื่นระหว่าง 200-900 nm และซอฟต์แวร์ UV WinLab software ของ Perkin Elmer การประมาณค่าพลังงานช่องว่างແบนของตัวเร่งปฏิกิริยาจากสเปกตรัม การคูคอกลีน และคงวิธีการคำนวณในภาคผนวก ค

บทที่ 4

ผลการทดลองและอภิปรายผล

บทนี้จะกล่าวถึง ผลการวิจัยที่ได้จากการสังเคราะห์ตัวเร่งปฏิกิริยาขนาดนาโนเมตรด้วย เทคนิคการเผาแบบเพลนสเปรย์ รวมทั้งตรวจสอบคุณลักษณะของตัวเร่งปฏิกิริยาที่สังเคราะห์ได้ หัวข้อที่ 4.1 กล่าวถึงการสังเคราะห์ไทเทเนียมและตรวจสอบคุณลักษณะเพื่อศึกษาผลของตัวแปรที่มี ต่อคุณลักษณะของไทเทเนียม คุณลักษณะที่ตรวจสอบ ได้แก่ การวัดพื้นที่ผิวจำเพาะด้วยเทคนิค BET การตรวจสอบโครงสร้างของผลึกโดยการวิเคราะห์ด้วยเทคนิคการเลือยabenของรังสีเอกซ์ และ การศึกษาสัมฐานวิทยาของอนุภาคด้วยกล้องจุลทรรศน์อิเล็กตรอนแบบส่องผ่าน และหัวข้อ 4.2 กล่าวถึงการสังเคราะห์ตัวเร่งปฏิกิริยาที่สังเคราะห์ได้เพื่อศึกษาผลของการเติมชีเรียมลงในไทเทเนียม วิธีการ ตรวจสอบใช้วิธีเดียวกับในหัวข้อที่ 4.1 และเพิ่มการวิเคราะห์พลังซ่องว่างແอบด้วยเทคนิคสเปก โทรสโกรีดูคลินรังสียูวี-วิสิเบิล

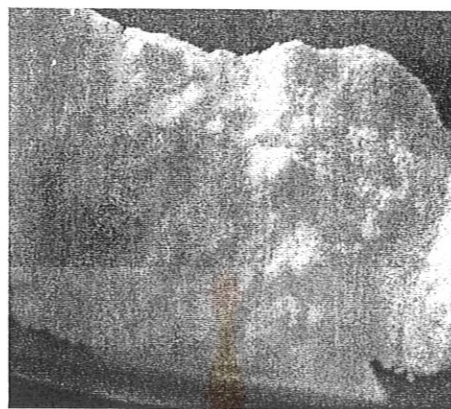
4.1 การศึกษาผลของตัวแปรที่มีต่อคุณลักษณะของไทเทเนียมขนาดนาโนเมตรที่สังเคราะห์ด้วย เทคนิคการเผาแบบเพลนสเปรย์

4.1.1 การสังเคราะห์ไทเทเนียม

ในการสังเคราะห์ไทเทเนียมด้วยเทคนิคการเผาแบบเพลนสเปรย์โดยภาวะที่ใช้ ได้แก่ ความเข้มข้นของสารละลายน้ำตั้งต้น คือ ไทเทเนียม (IV) บิว托กไซด์ 0.3 M อัตราการป้อนสารตั้งต้นเท่ากับ 5 mL/min อัตราไหลของแก๊สออกซิเจน 5 L/min อนุภาคไทเทเนียมที่สังเคราะห์ได้ เป็นผงสีขาวทึบแสง ดังแสดงในรูปที่ 4.1

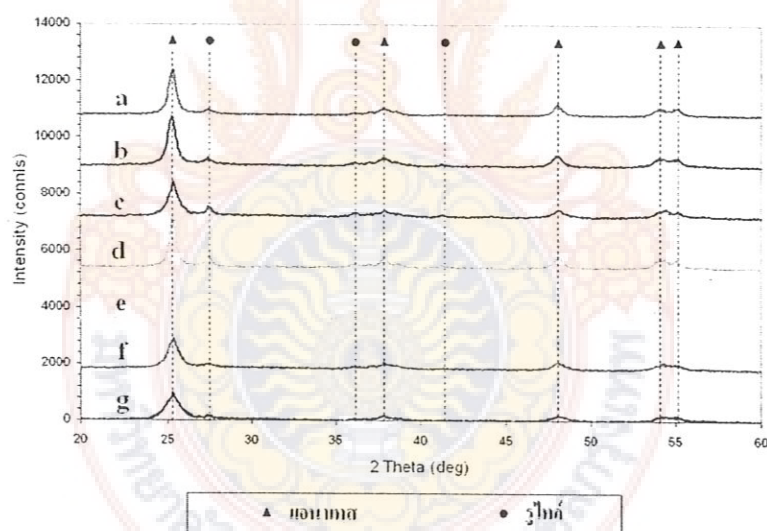
4.1.2 การศึกษาผลของตัวแปรที่มีต่อคุณลักษณะของไทเทเนียมที่สังเคราะห์ได้

4.1.2.1 การวิเคราะห์โครงสร้างทางเคมีของอนุภาคไทเทเนียมที่สังเคราะห์ได้ การวิเคราะห์ใช้เครื่องวิเคราะห์การเลือยabenรังสีเอกซ์ พนักงานตัวอย่างที่ สังเคราะห์ได้เป็นเฟสแอนาเทสเพราเมทิกมีพิกเกิดขึ้นที่มุม 2θ เท่ากับ 25.4°, 38.1°, 48.2° และ 54.2° และเป็นเฟสกรูไอล์เพราเมทิกมีพิกเกิดขึ้นที่มุม 27.6°, 36.4°, 41.6° และ 55.3° ดังแสดงในรูปที่ 4.2 ดังนั้นไทเทเนียมที่สังเคราะห์ได้จึงเป็นเฟสสมรรถห่วงแอนาเทสและกรูไอล์ โดยมีปริมาณของ ทั้งสองเฟสแตกต่างกันตามภาวะการทดลอง



รูปที่ 4.1 ลักษณะของไทดีนียที่สังเคราะห์ด้วยเทคนิคการเผาแบบฟลามสเปรย์

ตารางที่ 4.1 แสดงขนาดผลึกของแอนาเทสและรูไอล์ และปริมาณของรูไอล์ในไทดีนียที่สังเคราะห์ได้ พบว่าเมื่อศักยภาพเรือต่อต้าน พบว่าอัตราไอล์เพิ่มขึ้นขนาดผลึกของแอนาเทสจะใหญ่ขึ้นและปริมาณของรูไอล์เพิ่มขึ้น ในขณะที่การเปลี่ยนแปลงขนาดผลึกของรูไอล์จะไม่แน่นอน



รูปที่ 4.2 แบบรูป XRD ของไทดีนียที่สังเคราะห์ได้ เมื่ออัตราไอล์ของเก็สออกซิเจน 5 L/h และอัตราไอล์ของสารตั้งต้น 0.3 M เท่ากับ (a) 3 mL/min (b) 5 mL/min (c) 8 mL/min; เมื่ออัตราไอล์ของสารตั้งต้น 3 M เท่ากับ 5 mL/min และอัตราไอล์ของเก็สออกซิเจนเท่ากับ (d) 3 L/h (e) 8 L/h; เมื่ออัตราไอล์ของเก็สออกซิเจน 5 L/h และอัตราไอล์ของสารตั้งต้น 5 mL/min มีความเข้มข้นเท่ากับ (f) 0.5 M (g) 0.8 M

การศักยภาพเมื่อประมวลความเข้มข้นของสารตั้งต้น พบว่าความเข้มข้นของสารตั้งต้นเพิ่มขึ้น ขนาดผลึกของแอนาเทสใหญ่ขึ้นและปริมาณของรูไอล์ลดลง แต่ขนาดผลึกของรูไอล์คงที่

การศึกษาเมื่อประอัตราไหลดของแก๊สออกซิเจน พบว่าขนาดผลึกของแอนาเทส และรูไกล์ และปริมาณของรูไกล์ลดลงเมื่ออัตราไหลดของแก๊สออกซิเจนเพิ่มขึ้นจาก 3 L/h เป็น 5 L/h แต่มีอัตราไหลดของแก๊สเพิ่มขึ้นเป็น 8 L/h ขนาดผลึกของแอนาเทสและรูไกล์ และปริมาณของรูไกล์เพิ่มขึ้น

จึงเห็นได้ว่าการเปลี่ยนแปลงของตัวแปรทั้งสาม มีผลต่อขนาดผลึกของหัว แอนาเทสและรูไกล์ และมีผลต่อปริมาณรูไกล์ โดยอัตราการไหลดและความเข้มข้นของสารตั้งต้นมีผลต่อขนาดผลึกของแอนาเทสและปริมาณของรูไกล์อย่างชัดเจน

ตารางที่ 4.1 ขนาดผลึกและปริมาณของรูไกล์ในไทยเนียที่สังเคราะห์ได้

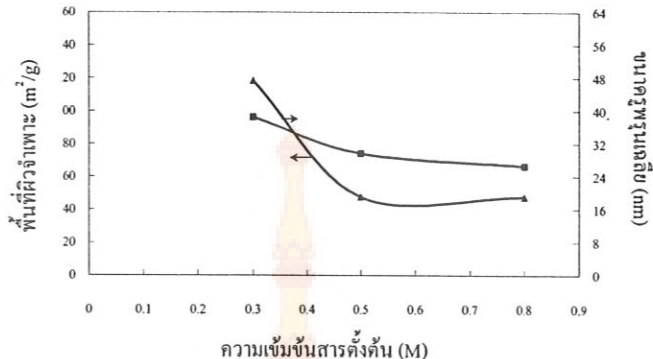
ตัวอย่างที่	ความเข้มข้น	อัตราไหลดของ	อัตราไหลดของ	ขนาดผลึกของ	ขนาดผลึก	
	ของสารตั้งต้น (M)	ออกซิเจน (L/h)	สารตั้งต้น (mL/min)	แอนาเทส (nm)	ของรูไกล์ (nm)	% รูไกล์
1	0.3	5	3	8	29	8
2	0.3	5	5	11	16	11
3	0.3	5	8	21	22	13
4	0.3	3	5	19	22	17
2	0.3	5	5	11	16	11
5	0.3	8	5	14	29	16
2	0.3	5	5	11	16	11
6	0.5	5	5	16	16	9
7	0.8	5	5	17	16	6

4.1.2.2 การวิเคราะห์พื้นที่ผิวจำเพาะและขนาดเส้นผ่านศูนย์กลางเฉลี่ยของอนุภาคไทยเนียที่สังเคราะห์ได้

การวิเคราะห์ใช้เครื่องเบลชอร์ฟี π โดยใช้เทคนิค BET พบว่าความเข้มข้นของสารตั้งต้นมีผลต่อพื้นที่ผิวจำเพาะและเส้นผ่านศูนย์กลางเฉลี่ยของรูพ魯น ดังแสดงในรูปที่ 4.3 พบว่าความเข้มข้นที่เหมาะสมสมที่ให้พื้นที่ผิวจำเพาะมากที่สุด คือ 0.3 M

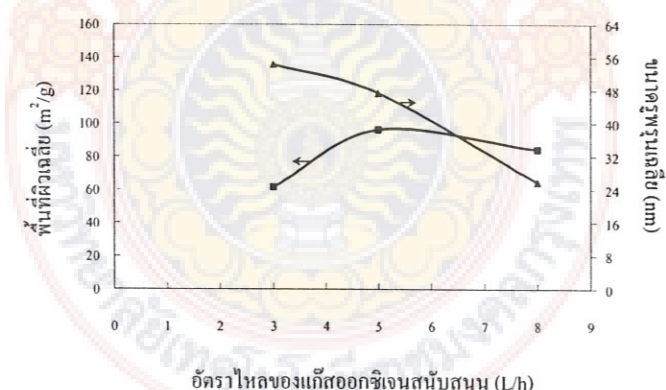
ในการศึกษาผลของอัตราไหลดของแก๊สออกซิเจนต่อพื้นที่ผิวจำเพาะและขนาดเส้นผ่านศูนย์กลางเฉลี่ย พบว่าเมื่ออัตราไหลดของแก๊สออกซิเจนสูงขึ้น เส้นผ่านศูนย์กลางเฉลี่ยของรูพ魯นลดลง ส่วนผลต่อพื้นที่ผิวจำเพาะพบว่าเมื่ออัตราไหลดของแก๊สเพิ่มขึ้นจาก 3 L/h เป็น 5 L/h

พื้นที่ผิวจำเพาะเพิ่มขึ้น แต่เมื่ออัตราไหลของแก๊สเพิ่มเป็น 8 L/h พื้นที่ผิวจำเพาะลดลง ดังแสดงในรูปที่ 4.4



รูปที่ 4.3 ผลของความเข้มข้นของสารตั้งต้นต่อพื้นที่ผิวจำเพาะและเส้นผ่านศูนย์กลางเฉลี่ยของรูพรุนเมื่ออัตราไหลดของสารตั้งต้น 5 mL/min และอัตราไหลดของแก๊สออกซิเจน 5 L/h

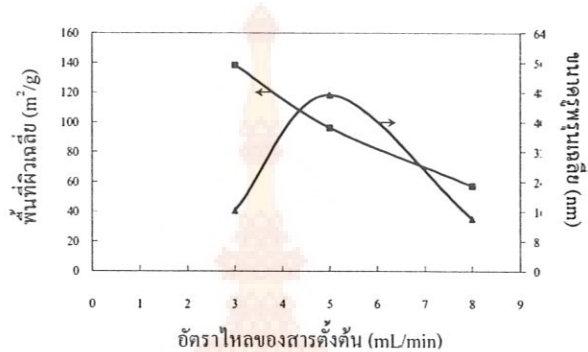
ในการศึกษาผลของอัตราไหลดของสารตั้งต้นต่อพื้นที่ผิวจำเพาะ และเส้นผ่านศูนย์กลางเฉลี่ยของรูพรุน ดังแสดงในรูปที่ 4.5 พบว่า เมื่ออัตราไหลดเพิ่มขึ้น พื้นที่ผิวจำเพาะลดลง ส่วนผลต่อเส้นผ่านศูนย์กลางเฉลี่ยของรูพรุน พบว่าเส้นผ่านศูนย์กลางเฉลี่ยของรูพรุนมีค่าสูงสุดเมื่ออัตราไหลดของสารตั้งต้นเท่ากับ 5 mL/min



รูปที่ 4.4 ผลของอัตราไหลดของแก๊สออกซิเจนต่อพื้นที่ผิวจำเพาะและเส้นผ่านศูนย์กลางเฉลี่ยของรูพรุน เมื่อความเข้มข้นของสารตั้งต้น 0.3 M และอัตราไหลดของสารตั้งต้น 5 mL/min

จากรูปที่ 4.2 ถึง 4.4 พบว่าพื้นที่ผิวจำเพาะมีความสัมพันธ์กับเส้นผ่านศูนย์กลางเฉลี่ยของรูพรุน โดยอนุภาคที่มีพื้นที่ผิวจำเพาะสูง มีเส้นผ่านศูนย์กลางเฉลี่ยของรูพรุนเล็กกว่าอนุภาคที่มีพื้นที่ผิวจำเพาะต่ำ

เนื่องจากวัตถุประสงค์ในการสังเคราะห์ไทเทเนียมเพื่อใช้เป็นตัวเร่งปฏิกิริยา จึงพิจารณาภาวะที่เหมาะสมในการสังเคราะห์จากภาวะที่ให้พื้นที่ผิวจำเพาะสูงที่สุด ดังนั้น ภาวะที่เหมาะสมที่ได้จากการศึกษาในหัวข้อนี้ คือ ความเข้มข้นของสารตั้งต้นเท่ากับ 3 M อัตราไหลของสารตั้งต้นเท่ากับ 5 mL/min และอัตราไหลของแก๊สออกซิเจนเท่ากับ 5 L/h



รูปที่ 4.5 ผลของการอัตราไหลของสารตั้งต้น ต่อพื้นที่ผิวจำเพาะและเส้นผ่านศูนย์กลางเฉลี่ยของรูพรุน เมื่อความเข้มข้นของสารตั้งต้น 0.3 M และอัตราไหลของแก๊สออกซิเจน 5 L/h

4.1.2.3 การวิเคราะห์ลักษณะ และขนาดของผลึกด้วยกล้องจุลทรรศน์อิเล็กตรอนแบบส่องผ่าน

ในการวิเคราะห์ลักษณะของผลึก ด้วยกล้องจุลทรรศน์อิเล็กตรอนแบบส่องผ่านพบว่าผลึกมีลักษณะเป็นทรงกลมและมีขนาดอนุภาคเฉลี่ยใกล้เคียงกัน และเมื่อวัดขนาดและเปรียบเทียบกับค่าที่ได้จากการคำนวณด้วยเทคนิคการเดี่ยวแบบของรังสีเอกซ์ พบว่าขนาดผลึกมีค่าใกล้เคียงกัน แสดงว่าผลึกที่ได้เป็นผลึกเดียว (Single crystal) ซึ่งเป็นสมบัติของผลึกที่ได้จากการสังเคราะห์ด้วยวิธีนี้

4.2 การศึกษาผลของตัวแปรที่มีต่อคุณลักษณะของไทเทเนียม ชีเรีย และชีเรีย-ไทเทเนียมที่สังเคราะห์ด้วยเทคนิคการเผาแบบเฟลมสเปรย์

4.2.1 การสังเคราะห์ไทเทเนียม ชีเรีย และชีเรีย-ไทเทเนียม

ตัวเร่งปฏิกิริยาไทเทเนียม ชีเรีย และชีเรีย-ไทเทเนียมขนาดนาโนเมตรที่สังเคราะห์ด้วยเทคนิคการเผาแบบเฟลมสเปรย์มีลักษณะเป็นผงสีขาวละเอียดทึบแสง

4.2.2 การศึกษาผลของตัวแปรที่มีต่อตัวเร่งปฏิกิริยา ไทเทเนียม ซีเรีย และซีเรีย-ไทเทเนียมที่สังเคราะห์ได้

4.2.2.1 การวิเคราะห์พื้นที่ผิวจำเพาะ และขนาดรูพรุนเฉลี่ยของอนุภาค ไทเทเนียมที่สังเคราะห์ได้

ตารางที่ 4.2 แสดงพื้นที่ผิวจำเพาะ เส้นผ่านศูนย์กลางเฉลี่ยของรูพรุน และปริมาตรรูพรุนทั้งหมด คุณลักษณะเหล่านี้คำนวณจากไอโซเทอมการคัดชั้บในไตรเจน สังเกตได้ว่า พื้นที่ผิวจำเพาะลดลงจาก $82.5 \text{ m}^2/\text{g}$ เป็น $34.8 \text{ m}^2/\text{g}$ เมื่อปริมาณซีเรียมที่เติมมากขึ้นจาก 0% ถึง 30% แต่เมื่อเติมซีเรียมเพิ่มขึ้นอีกจนถึง 100% พบว่า พื้นที่ผิวจำเพาะเพิ่มจาก $54.3 \text{ m}^2/\text{g}$ เป็น $77.3 \text{ m}^2/\text{g}$

ตารางที่ 4.2 สมบัติทางกายภาพที่ได้จากการวัดการคัดชั้บในไตรเจนของ ไทเทเนียม ซีเรีย และซีเรีย-ไทเทเนียม

ตัวเร่งปฏิกิริยา	พื้นที่ผิวจำเพาะ (m^2/g)	d_{BET} (nm)*	ขนาดเส้นผ่าน ศูนย์กลางเฉลี่ย (nm)	ปริมาตรรูพรุนทั้งหมด (cm^3/g)
TiO_2	82.5	17.2	35.63	0.9813
3% $\text{CeO}_2\text{-TiO}_2$	67.7	20.5	36.17	0.6137
5% $\text{CeO}_2\text{-TiO}_2$	76.6	17.8	37.07	0.7022
10% $\text{CeO}_2\text{-TiO}_2$	74.5	17.6	44.10	0.6839
30% $\text{CeO}_2\text{-TiO}_2$	34.8	32.9	68.64	0.9436
50% $\text{CeO}_2\text{-TiO}_2$	54.3	18.6	71.61	1.1219
70% $\text{CeO}_2\text{-TiO}_2$	72.8	12.4	56.28	1.1718
CeO_2	77.3	10.2	36.51	0.7299

*เส้นผ่านศูนย์กลางของหลักคำนวณจากสมการ: $d_{\text{BET}} = \frac{6}{\rho A}$

รูปที่ 4.6 (ก) ถึง 4.6 (ญ) แสดงไอโซเทอมการคัดชั้บ-คายชั้บในไตรเจนของ TiO_2 , 3% $\text{CeO}_2\text{-TiO}_2$, 5% $\text{CeO}_2\text{-TiO}_2$, 10% $\text{CeO}_2\text{-TiO}_2$, 30% $\text{CeO}_2\text{-TiO}_2$, 50% $\text{CeO}_2\text{-TiO}_2$, 70% $\text{CeO}_2\text{-TiO}_2$ และ CeO_2 ลักษณะของเส้นกราฟไอโซเทอม จะแสดงพฤติกรรมคุณลักษณะของโครงสร้างของสารที่สังเคราะห์ได้ จากผลการทดลองแสดงให้เห็นว่าตัวเร่งปฏิกิริยาทั้งหมดที่สังเคราะห์ด้วยเทคนิค FSP มีรูปแบบการคัดชั้บแบบที่ IV คือเกิดการคัดชั้บแบบควบแน่นในหลอดขนาดเล็กมาก (Capillary condensation) ที่เรียกว่า ผลจากไฮสเตเรซิส (Hysteresis effect) โดยมีลูปไฮสเตเรซิส

(Hysteresis loop) ที่แสดงให้เห็นว่ารูพื้นที่เกิดในตัวเร่งปฏิกริยาเป็นแบบหลอดครุลีก (Tabular shaped capillaries) ที่มีปลายเปิดทั้งสองด้าน อ้างอิงจากการแบ่งโดยไออยูแพค (IUPAC classification) [55]

4.2.2.2 การวิเคราะห์โครงสร้างทางเคมีของอนุภาคไทเทเนียมที่สังเคราะห์ได้ ด้วยการวิเคราะห์การเลี้ยวเบนของรังสีเอกซ์

แบบรูปของ XRD ที่แสดงโครงสร้างเฟสของตัวเร่งปฏิกริยา TiO_2 , CeO_2-TiO_2 , และ CeO_2 แสดงในรูปที่ 4.7 ตัวเร่งปฏิกริยาที่สังเคราะห์ได้เป็นเฟสแอนาเทสซึ่งแสดงด้วยพิกที่มุม 20 เท่ากับ 25.28° , 37.80° , 48.05° , 53.89° และมีเฟสรูไกล์เป็นสารปนเปื้อนซึ่งแสดงด้วยพิกที่มุม 20 เท่ากับ 27.45° , 35.93° , 41.23° จากรูปพบว่าปริมาณแอนาเทสลดลงเมื่อปริมาณของซีเรียมเพิ่มขึ้น และไม่พบแอนาเทสมีมีซีเรียมตั้งแต่ 30% นอกจากนั้นยังพบว่าพิกของซีเรียมออกไซด์เริ่มปรากฏเมื่อมีซีเรียมตั้งแต่ 5% ซึ่งแสดงด้วยพิกที่มุม 20 เท่ากับ 28.57° , 33.10° , 47.53° , 56.38°

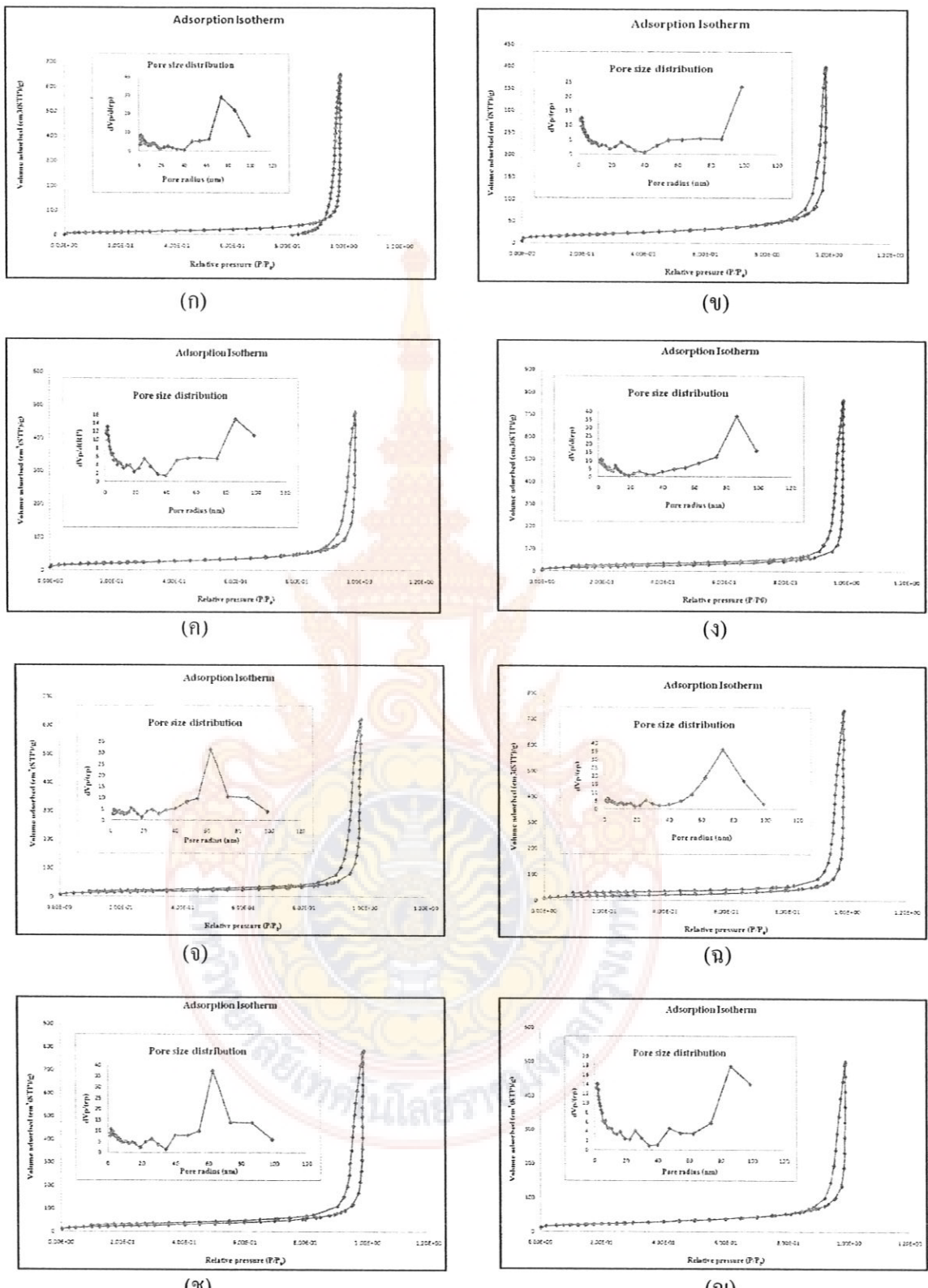
ขนาดของผลึกและปริมาณของเฟสรูไกล์ คำนวณได้จากพิกของการเลี้ยวเบนของรังสีเอกซ์ โดยใช้สมการของเซอร์เรอร์ ดังนี้

$$W_R = [1 + 0.8 I_A / I_R]^{-1} \quad (4.1)$$

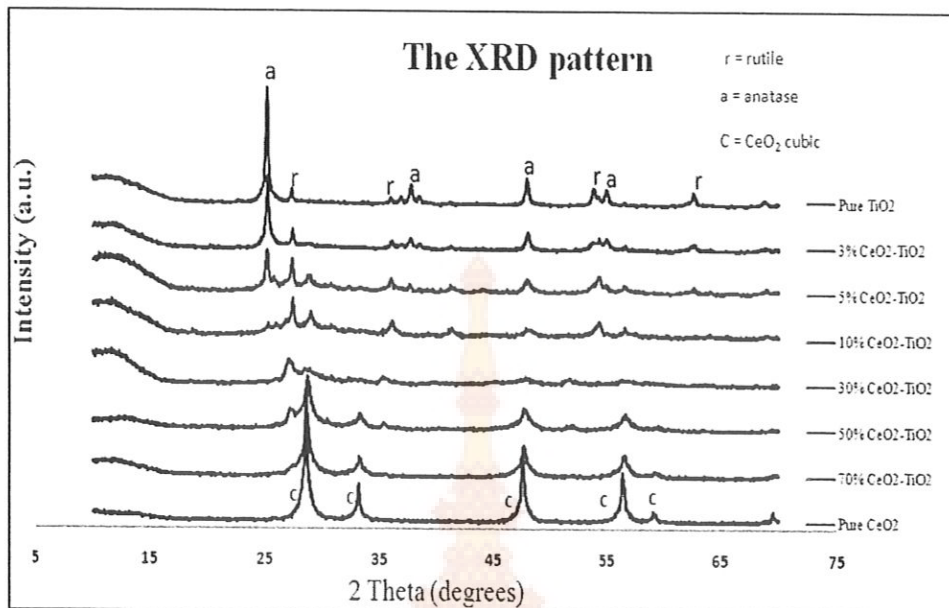
เมื่อ I_A และ I_R แทนความเข้มปริพันธ์ (Integrated intensities) ของแอนาเทสและรูไกล์ตามลำดับตารางที่ 4.3 แสดงเฟสของผลึก อัตราส่วนของรูไกล์ต่อแอนาเทส และขนาดผลึกของผลิตภัณฑ์ที่สังเคราะห์ได้ด้วย FSP ทั้งสามชนิด พบว่าอัตราส่วนของรูไกล์ต่อแอนาเทสมีค่าเพิ่มขึ้นจาก 0.20 เป็น 3.22 เมื่อซีเรียมเพิ่มขึ้นจาก 0 เป็น 10% ซึ่งสอดคล้องกับผลการทดลองของ J.H. Xu และคณะ [56] ขนาดผลึกของเฟสแอนาเทสมีค่าลดลงจาก 32.5 nm เป็น 28.3 nm เมื่อซีเรียมเพิ่มขึ้นจาก 0 เป็น 10% ในทำนองเดียวกันพบว่า ขนาดผลึกของเฟสรูไกล์มีค่าลดลงจาก 36.2 nm เป็น 11.1 nm เมื่อซีเรียมเพิ่มขึ้นจาก 0 เป็น 30% และเฟสแอนาเทสจะเปลี่ยนเป็นเฟสรูไกล์จนกระทั่งไม่พบเฟสแอนาเทสมีมีซีเรียม 30% ถึง 70% ปริมาณของเฟสรูไกล์เพิ่มขึ้นเมื่อปริมาณซีเรียมเพิ่มขึ้นจนกระทั่งมีซีเรียมตั้งแต่ 50% พิกของซีเรียมออกไซด์จะเห็นเด่นชัดกว่า

พารามิเตอร์ของเซลล์หน่วยของเฟสแอนาเทสคำนวณได้จากการที่ (4.2) ดังนี้

$$\frac{1}{d_{hkl}^2} = \frac{(h^2 + k^2)}{a^2} + \frac{l^2}{c^2} \quad (4.2)$$



รูปที่ 4.6 การกระจายของรูพรุนและโครงสร้างการดูดซึบของ (n) TiO_2 (u) 3% $\text{CeO}_2\text{-TiO}_2$ (v) 5% $\text{CeO}_2\text{-TiO}_2$ (d) 10% $\text{CeO}_2\text{-TiO}_2$ (l) 30% $\text{CeO}_2\text{-TiO}_2$ (n) 50% $\text{CeO}_2\text{-TiO}_2$ (w) 70% $\text{CeO}_2\text{-TiO}_2$ และ (w) CeO_2



รูปที่ 4.7 แบบรูปของ XRD ของตัวเร่งปฏิกิริยาที่สังเคราะห์ได้

จากผลของ XRD ใช้พีกการเลี้ยวเบนของระนาบ (101) และ (200) ที่มุม 2θ เท่ากับ 25° และ 48° ในการคำนวณพารามิเตอร์ของเซลล์หน่วยของเฟสแอนาเทสในตัวเร่งปฏิกิริยาซึ่งเรียกว่า เทเกนีค ดังแสดงในตารางที่ 4.4

ตารางที่ 4.3 การระบุเฟสของผลึกและขนาดผลึกของตัวเร่งปฏิกิริยาที่สังเคราะห์ได้ซึ่งคำนวณจากพีกของ XRD

ตัวเร่งปฏิกิริยา	เฟสของผลึก	อัตราส่วนของ		ขนาดผลึก	
		รูไทล์ต่อ แอนาเทส	แอนาเทส	(nm)	รูไทล์ (nm)
TiO_2	แอนาเทส-รูไทล์	0.20	32.5	36.2	n/a
3 at% CeO_2 - TiO_2	แอนาเทส-รูไทล์	0.34	26.1	36.7	n/a
5 at% CeO_2 - TiO_2	แอนาเทส-รูไทล์	1.11	29.3	32.0	n/a
10 at% CeO_2 - TiO_2	แอนาเทส-รูไทล์	3.22	28.3	17.7	n/a
30 at% CeO_2 - TiO_2	รูไทล์ - CeO_2	0	n/a	11.1	5.5
50 at% CeO_2 - TiO_2	รูไทล์ - CeO_2	0	n/a	17.3	10.5
70 at% CeO_2 - TiO_2	รูไทล์ - CeO_2	0	n/a	n/a	15.9
CeO_2	CeO_2	0	n/a	n/a	7.4

หัวข้อน่าสนใจ ซึ่งเป็นที่นิยมในการอภิปรายของนักวิจัยที่ศึกษาตัวร่างปฏิกิริยาที่เติมซีเรียมลงในไทเทเนียม สถานะของซีเรียมในระบบ $\text{CeO}_2\text{-TiO}_2$ เนื่องจากไอออนของ Ce^{3+} (1.03 \AA) และ Ce^{4+} (1.02 \AA) มีขนาดใหญ่กว่าไอออนของ Ti^{4+} (0.64 \AA) มาก [57] จึงยังไม่มีข้อสรุปว่าไอออนของซีเรียมที่มีขนาดใหญ่กว่าไอออนของไทเทเนียม สามารถแทนที่ไอออนของไทเทเนียมได้หรือไม่ Tong และคณะ [58] พบว่าไม่มีความแตกต่างระหว่างพารามิเตอร์แลตทิช ‘c’ ระหว่าง TiO_2 ที่ไม่ได้เติมซีเรียมและ Ce-TiO_2 และเสนอว่าไอออนของซีเรียมไม่สามารถถูกเติมลงในแลตติซของ TiO_2 Xie และคณะ [59] ประسطความสำเร็จในการสังเคราะห์ $\text{Ce}^{4+}\text{-TiO}_2$ ด้วยวิธีตกลงกันร่วมทางเคมี-เปปไทเซชัน (Chemical coprecipitation-peptization method) และเผาที่อุณหภูมิ 573 K ซึ่งได้ไทเทเนียมแอนาเทสเป็นส่วนมากและมีผลึกของซีเรียมไทเทเนต ($\text{Ce}_x\text{Ti}_{(1-x)}\text{O}_2$) เพียงเล็กน้อย Xie และคณะ เสนอว่า ไอออนของซีเรียมมีแนวโน้มที่จะสร้างพันธะกับประจุลบออกซิเจนบนผิวน้ำ ของอนุภาคขนาดนาโนเมตร TiO_2 เพื่อเกิดเป็นผลึกของซีเรียมไทเทเนต อย่างไรก็ตาม Lopez และคณะ [60] ได้คำนวณพารามิเตอร์เซลล์หน่วยของออกไซด์ผสมของ $90 \text{ wt\% TiO}_2\text{-}10 \text{ wt\% CeO}_2$ ซึ่งเผาที่อุณหภูมิต่างๆ และจากผลของ XRD และสังเกตการขยายตัวของเซลล์หน่วยที่อุณหภูมิต่างของแอนาเทสซึ่งมีซีเรียมอยู่ ซึ่งกำหนดให้เป็นตัวชี้วัดในการแทน Ti^{4+} ด้วย Ce^{4+} ในโครงสร้างแอนาเทส จากผลการทดลองพบว่า พารามิเตอร์เซลล์หน่วยไม่ได้แสดงให้เห็นอย่างชัดเจนว่า พารามิเตอร์ ‘a’ และ ‘c’ มีการขยายตัวเมื่อมีการเติมซีเรียม ดังแสดงในตารางที่ 4.5

ตารางที่ 4.4 พารามิเตอร์แลตทิชของ TiO_2 , 3% $\text{CeO}_2\text{-TiO}_2$, 5% $\text{CeO}_2\text{-TiO}_2$, และ 10% $\text{CeO}_2\text{-TiO}_2$

ตัวร่างปฏิกิริยา	พารามิเตอร์แลตทิชของเฟสแอนาเทส	
	a=b (\AA)	c (\AA)
TiO_2	3.7956	9.6629
3 at% $\text{CeO}_2\text{-TiO}_2$	3.7927	9.5720
5 at% $\text{CeO}_2\text{-TiO}_2$	3.7930	9.7286
10 at% $\text{CeO}_2\text{-TiO}_2$	3.7835	9.6271

4.2.2.3 การศึกษาสัมฐานวิทยาของอนุภาคด้วยกล้องจุลทรรศน์แบบส่องผ่าน

การใช้ TEM เพื่อศึกษาสัมฐานวิทยาและขนาดอนุภาคของตัวร่างปฏิกิริยา รูปที่ 4.8 แสดงภาพจาก TEM ของตัวร่างปฏิกิริยาที่สังเคราะห์ได้ทั้งหมด การใช้เปลาไฟในการสังเคราะห์ทำให้ได้ออนุภาคไทเทเนยทรงกลมที่มีขนาดอนุภาคเฉลี่ยประมาณ 12.3 nm (รูปที่ 4.8 ก) และอนุภาคซีเรียรูปสี่เหลี่ยมผืนผ้าที่มีขนาดอนุภาคเฉลี่ยประมาณ 8.2 nm (รูปที่ 4.8 จ) ตารางที่ 4.5

แสดงขนาดเส้นผ่านศูนย์กลางซึ่งคำนวณจากภาพ TEM ของออกไซด์ผสมของตัวเร่งปฏิกิริยา $\text{CeO}_2\text{-TiO}_2$ ที่มีชีเรียม 3, 5, 10 และ 30% ซึ่งมีค่าเท่ากับ 12.1, 10.3, 9.7 และ 8.9 nm ตามลำดับ ซึ่งค่าเหล่านี้จะสอดคล้องกับปริมาณของชีเรียมที่เพิ่มขึ้น

ตารางที่ 4.5 ขนาดเส้นผ่านศูนย์กลางของตัวเร่งปฏิกิริยาที่สังเคราะห์ได้ซึ่งคำนวณจากภาพ TEM

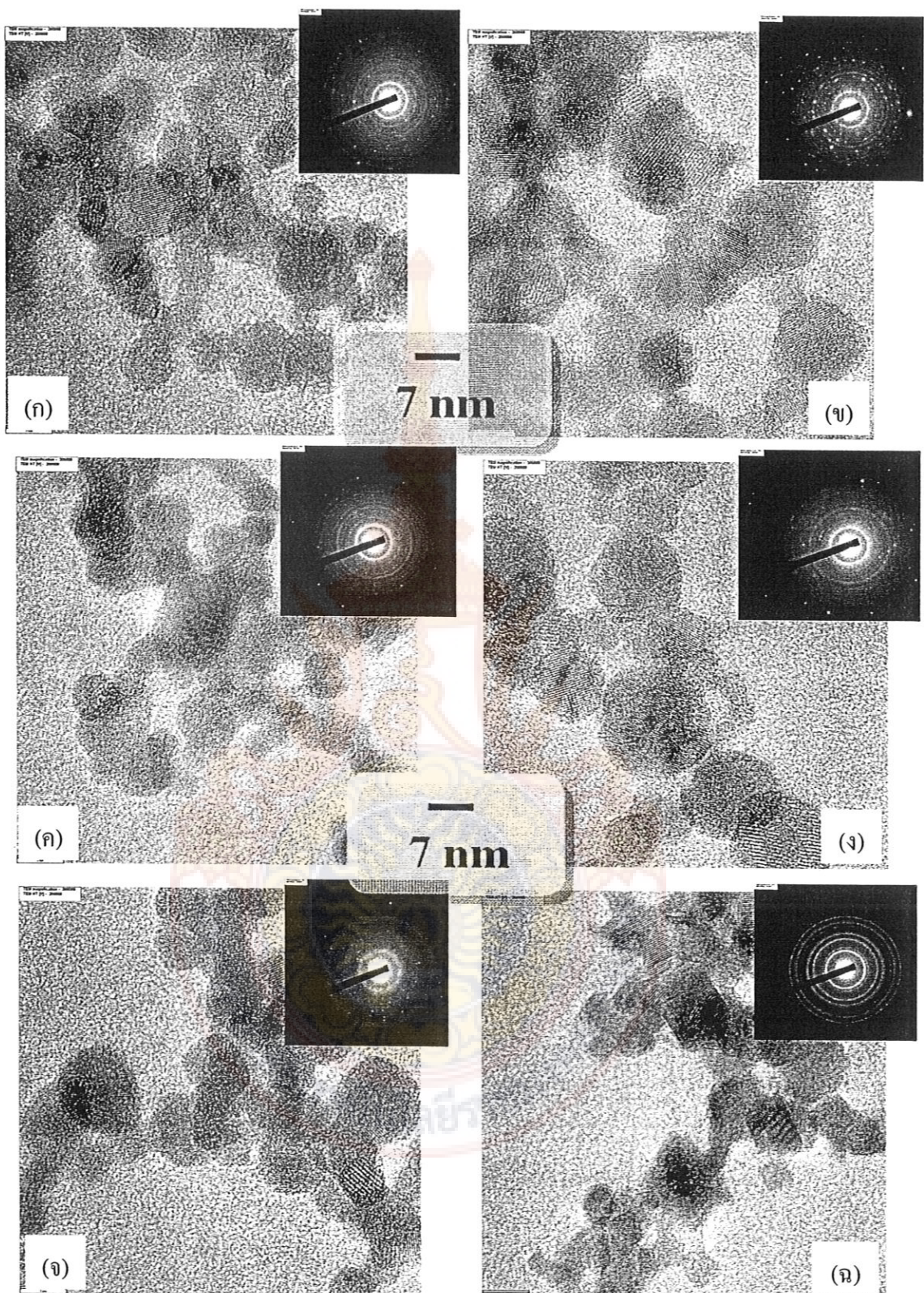
ตัวเร่งปฏิกิริยา	d_{TEM} (nm)
TiO_2	12.3
3% $\text{CeO}_2\text{-TiO}_2$	12.1
5% $\text{CeO}_2\text{-TiO}_2$	10.3
10% $\text{CeO}_2\text{-TiO}_2$	9.7
30% $\text{CeO}_2\text{-TiO}_2$	8.9
CeO_2	8.2

ภาพจาก TEM และแบบรูปของ SEAD แสดงให้เห็นว่า ตัวเร่งปฏิกิริยาเชิงแสงขนาดนาโนเมตรมีโครงสร้างผลึกแบบเดี่ยวและมีค่าความเป็นผลึกสูง ดังแสดงในรูปที่ 4.8 (ก) ถึง 4.8 (จ) ภาพ TEM ของ TiO_2 และ $\text{CeO}_2\text{-TiO}_2$ ที่มีชีเรียม 3, 5 และ 10% บ่งชี้ให้เห็นว่า รูปร่างของอนุภาคที่มีปริมาณของ CeO_2 น้อย จะมีรูปร่างกลม และไม่เปลี่ยนรูปมากนักเมื่อเทียบกับ TiO_2 นอกจากนี้จะเห็นว่าออกไซด์ผสมของ $\text{CeO}_2\text{-TiO}_2$ จะมีขนาดอนุภาคเล็กกว่าขนาดอนุภาคของ TiO_2

ภาพจาก TEM ของ CeO_2 จะเห็นว่าเป็นอนุภาคขนาดนาโนที่มีโครงสร้างลูกบาศก์ [61] จากภาพเห็นได้ว่ารูปร่างของอนุภาคเป็นสี่เหลี่ยม และขนาดอนุภาคที่คำนวณได้มีค่าประมาณ 8 nm และจากรูปที่ 4.8 (จ) ในแบบรูปของ SAED และวงแหวนเดอบาย-เชอร์เรอร์ (Debye-Scherrer rings) ของอนุภาคนาโน ซึ่งบ่งชี้ว่าเป็นของชีเรียมอออกไซด์ที่มีโครงสร้างแบบลูกบาศก์ฟลูออไรด์

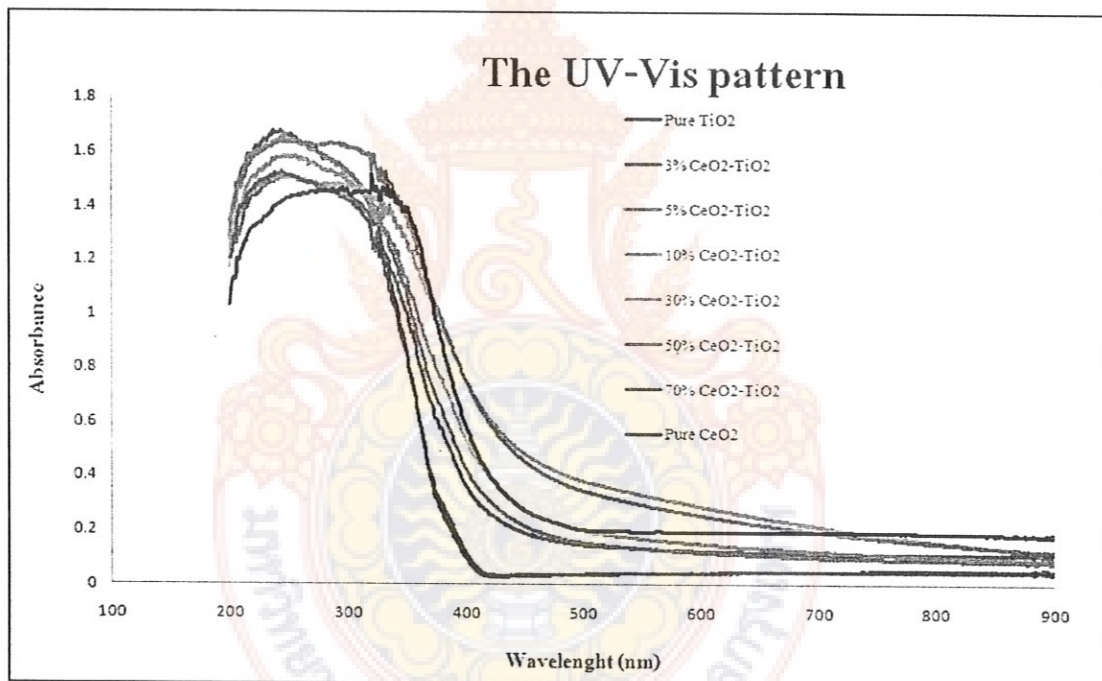
4.2.2.4 การวิเคราะห์พลังซ่องว่างແນบล้ำยเทคนิคสเปกโตรสโคปคุณลักษณะสีญี-วิสิเบิล

รูปที่ 4.9 แสดงสเปกตรัมญี-วิสิเบิลของอนุภาคขนาดนาโน TiO_2 , CeO_2 , และ $\text{CeO}_2\text{-TiO}_2$ ขอบการคุณลักษณะ (absorption edge, λ°) ของตัวเร่งปฏิกิริยาที่ความยาวคลื่นระหว่าง 467 ถึง 388 nm พลังงานซ่องว่างແນบที่คำนวณจากสเปกตรัมการคุณลักษณะแสดงในตารางที่ 4.6 การคุณลักษณะแรงเกิดที่ 388 nm ซึ่งเป็นคุณลักษณะของตัวเร่งปฏิกิริยา TiO_2 และ $\text{CeO}_2\text{-TiO}_2$ เห็นได้อย่างชัดเจน ว่าແນบการคุณลักษณะเดือนเข้าสู่ซ่องว่างของแสงที่เห็นได้ด้วยตาเปล่า (Visible range, 300-800 nm) ของ



รูปที่ 4.8 ภาพจาก TEM และการเลี้ยงบนอิเล็กตรอน (SEAD) ของตัวเร่งปฏิกิริยา (ก) TiO_2 (ข) 3% $\text{CeO}_2\text{-TiO}_2$ (ค) 5% $\text{CeO}_2\text{-TiO}_2$ (จ) 10% $\text{CeO}_2\text{-TiO}_2$ (ก) 30% $\text{CeO}_2\text{-TiO}_2$ (ล) CeO_2

การคุณลักษณะของตัวเร่งปฏิกิริยา TiO_2 และ $\text{CeO}_2\text{-TiO}_2$ ที่มีชีเรียม 3, 5, 10 และ 30% ความยาวคลื่นสูญญายาเป็น 388, 418, 420, 435 และ 467 nm ตามลำดับ ค่าแปรของ การคุณลักษณะเพิ่มขึ้นเมื่อปริมาณของชีเรียมเพิ่มจนถึง 30% แต่เมื่อปริมาณของชีเรียมเพิ่มต่อไป พบว่าค่าแปรของ การคุณลักษณะลดลง จึงทำนายได้ว่า ไอออน Ti^{4+} ถูกแทนที่ด้วย ไอออน $\text{Ce}^{4+/3+}$ เพื่อกีดเป็นเฟสระหว่างผิวน้ำ ซึ่งอาจถือได้ว่า เป็นแบบปนเปื้อนระหว่างผิวที่มีเอกลักษณ์แบบเดิม (*n-type identity*) ซึ่งเกิดเนื่องจากโครงสร้าง Ti^{4+} ใช้โครงสร้าง Ce^{3+} โครงหนึ่ง จะเกิดอิเล็กตรอนหนึ่งตัว การเลื่อนของความยาวคลื่นแบบนี้ เกิดจากการถ่ายโอนประจุระหว่างแบบปนเปื้อนกับแบบการนำของ TiO_2 [62, 63] นอกจากนั้น การคุณลักษณะโลหะแรร์เอิร์ทที่เติมลงในสารตัวอ่อนเพิ่มขึ้น เมื่อปริมาณโลหะแรร์เอิร์ทที่เติมมากขึ้น



รูปที่ 4.9 スペクトรัมยูวี-วิชิเบิลของตัวเร่งปฏิกิริยาเชิงแสงที่สังเคราะห์ได้

ตารางที่ 4.6 ความขาวคลื่นการคุ้คคลื่นและพลังงานช่องว่างແຕບของตัวเร่งปฏิกิริยาเชิงแสงที่สั่งเคราะห์ได้

Catalysts	Absorbed wavelength (nm)	Band gap energy (eV)
TiO ₂	388	3.24
3% CeO ₂ -TiO ₂	418	3.06
5% CeO ₂ -TiO ₂	420	3.08
10% CeO ₂ -TiO ₂	435	3.02
30% CeO ₂ -TiO ₂	467	2.82
50% CeO ₂ -TiO ₂	455	2.92
70% CeO ₂ -TiO ₂	390	3.22
CeO ₂	425	3.03



บทที่ 5

สรุปผลการวิจัยและข้อเสนอแนะ

บทนี้เป็นการสรุปผลการวิจัยจากการสังเคราะห์และศึกษาคุณลักษณะของไไทเทเนียม ซีเรีย และไพริ่ม-ไไทเทเนียม เพื่อใช้เป็นตัวเร่งปฏิกิริยาเชิงแสงในปฏิกิริยาสารประกอบชั้นเฟอร์ ซึ่งเป็นส่วนหนึ่งของโครงการวิจัยนี้ที่ได้รับงบประมาณต่อเนื่อง 2 ปี (ปีงบประมาณ พ.ศ. 2550 และ พ.ศ. 2551) รวมทั้งให้ข้อเสนอแนะจากประสบการณ์ที่ได้จากการทำโครงการวิจัยนี้แนวทางสำหรับผู้ที่สนใจศึกษาวิจัยด้านนี้ต่อไป ส่วนผลงานวิจัยของทั้งโครงการจะรายงานในรายงานฉบับสมบูรณ์ ประจำงบประมาณปี พ.ศ. 2551 ต่อไป

5.1 สรุปผลการวิจัย

5.1.1 ในการสังเคราะห์ TiO_2 ขนาดนาโนเมตรด้วยวิธีการเผาแบบเฟลมสเปรย์ ได้ผงสีขาวละเอียดทึบแสง และเมื่อวิเคราะห์ด้วย XRD พบว่าเป็นผลึกเดียว และ TiO_2 ที่สังเคราะห์ได้เป็นเฟลส ผสมของแอนาเทสและรูไกล์ เมื่อศึกษาผลของตัวแปร ได้แก่ ความเข้มข้นของสารตั้งต้น อัตราการไหลของสารตั้งต้น และอัตราไหลของแก๊สออกซิเจนซึ่งทำหน้าที่ช่วยกระกระจายของสารตั้งต้น ระหว่างเกิดปฏิกิริยา พบว่า ภาวะที่จะสังเคราะห์เพื่อให้ TiO_2 มีพื้นที่ผิวจำเพาะสูงที่สุด คือ ความเข้มข้นของสารตั้งต้น 0.3 M ด้วยอัตราปืนเท่ากับ 5 mL/min และอัตราไหลของแก๊สออกซิเจนเท่ากับ 5 L/h

5.1.2 การสังเคราะห์ตัวเร่งปฏิกิริยา ด้วยเทคโนโลยีการเผาแบบเฟลมสเปรย์

สามารถสังเคราะห์ตัวเร่งปฏิกิริยา TiO_2 , CeO_2 และ TiO_2-CeO_2 ที่มีขนาดนาโนเมตรด้วยเทคนิคการเผาแบบเฟลมสเปรย์ พบว่าตัวเร่งปฏิกิริยาที่สังเคราะห์ได้มีลักษณะเป็นผงสีขาวละเอียดทึบแสง

5.1.3 การศึกษาคุณลักษณะของตัวเร่งปฏิกิริยา TiO_2 , CeO_2 และ TiO_2-CeO_2 ที่สังเคราะห์ได้

(1) ซีเรียมที่เติมลงไว้ในตัวเร่งปฏิกิริยาไไทเทเนียมมีผลต่อการเปลี่ยนเฟลสจากแอนาเทสเป็นรูไกล์ และปริมาณของเฟลสและรูไกล์เพิ่มขึ้นเมื่อปริมาณซีเรียมที่เติมสูงขึ้น

(2) การเติมซีเรียมลงในตัวเร่งปฏิกิริยาไไทเทเนียมทำให้ตัวเร่งปฏิกิริยาที่ถูกปรับปรุงให้สามารถดูดกลืนแสงจากช่วงยาวเป็นช่วงที่ตามองเห็น

5.2 ข้อเสนอแนะ

5.2.1 ควรศึกษาเทคนิคการเพาแบบเพล็มสเปรย์เพื่อสังเคราะห์โลหะออกไซด์อื่นๆ และ/หรือ เลือกภาวะที่เหมาะสมในการสังเคราะห์อนุภาคขนาดนาโนเมตรในระดับอุตสาหกรรม

5.2.2 ควรศึกษาผลที่เกิดจากชนิดและปริมาณของโลหะแรร์เอิร์ท ที่เดิมลงในไทยเนียที่ สังเคราะห์ด้วยเทคนิคการเพาแบบเพล็มสเปรย์ ต่อความว่องไวของตัวเร่งปฏิกิริยาในการ เกิดปฏิกิริยาออกซิเดชันในช่วงแสงที่ตามองเห็น



បររណ្ឌាណក្រម

- [1] G.E. Imoberdorf, A.E. Cassano, H.A. Irazoqui, O.M. Alfano, *Chem. Eng. Sci.* 64 (2007) 1138 – 1154.
- [2] M.D. Hernández-Alonso, A.B. Hungría, A. Martínez-Arias, M. Fernández-García, J.M. Coronado, J.C. Conesa, J. Soria, *Appl. Catal. B: Environ.* 50 (2004) 167–175.
- [3] J. Zhao, *Building Environ.* 38 (2000) 645-654.
- [4] F.D. Yu, L.A. Luo, G. Grevillot, *J. Chem. Eng. Data* 47 (2002) 467–473.; A. Mills, J. Photochem. Photobiol A: *Chem.* 108 (1997) 327–336.
- [5] J. Fang, X. Bi, D. Si, Z. Jiang, W. Huang, *Appl. Surf. Sci.* 253 (2007) 8952–8961.
- [6] Z. Liu, B. Guo, L. Hong, H. Jiang, *J. Phys. Chem. Solids* 66 (2005) 161–167.
- [7] M.B. Larsen, M.L. Hansen, P. Glarborg, L. Skaarup-Jensen, K. Dam-Johansen, F. Frandsen, *Fuel* 86 (2007) 2343–2350.
- [8] H.K. Kammler, L. Mädler, and S.E. Pratsinis, *Chem. Eng. Technol.* 24 (2001) 6.
- [9] D. Zhao, F. Li, E. Zhou and Z. Sun, *Chem. Res. Chinese Universities* 24(1) (2008) 96-100.
- [10] J. Muscat, V. Swamy, N.M. Harrison, *Phys. Rev. B* 65 (2002) 224112.
- [11] U. Diebold, *Surf. Sci. Rep.* 48 (2003) 53.
- [12] M. Ramamoorthy, D. Vanderbilt, R.D. Kingsmith, *Phys. Rev. B* 49 (1994) 16721.
- [13] M. Lazzeri, A. Vittadini, A. Selloni, *Phys. Rev. B* 63 (2001) 155409.
- [14] U. Diebold, N. Ruzycki, G.S. Herman, A. Selloni, *Catal. Today* 85 (2003) 93.
- [15] L. Eyring, in: K.A. Gschneider, L. Eyring, M.B. Maple (Eds.), *Handbook on the Physics and Chemistry of Rare Earths*, vol. 3, North Holland, Amsterdam, 1979 (Chapter 27).
- [16] L. Gerward, J.S. Olsen, L. Petit, G. Vaitheeswaran, K. V., A. Svane, *J. Alloys Comp.* 400(2005) 56.
- [17] M. Nolan, S. Grigoleit, D.C. Sayle, S.C. Parker, G.W. Watson, *Surf. Sci.* 576 (2005) 217.
- [18] N.V. Skorodumova, M. Baudin, K. Hermansson, *Phys. Rev. B* 69 (2004) 075401.
- [19] Y. Jiang, J.B. Adams, M. van Schilfgaarde, *J. Chem. Phys.* 123 (2005) 064701.
- [20] H. Norenberg, G.A.D. Briggs, *Surf. Sci.* 424 (1999) L352.
- [21] A. Siokou, R.M. Nix, *J. Phys. Chem. B* 103 (1999) 6984.
- [22] H. Norenberg, G.A.D. Briggs, *Surf. Sci.* 404 (1998) 734.

- [23] D.R. Mullins, P.V. Radulovic, S.H. Overbury, *Surf. Sci.* 429 (1999) 186.
- [24] Y. Namai, K.I. Fukui, Y. Iwasawa, *J. Phys. Chem. B* 107 (2003) 11666.
- [25] Y. Namai, Y. Fukui, K. Iwasawa, *Catal. Today* 85 (2003) 79.
- [26] H. N'orenberg, G.A.D. Briggs, *Surf. Sci.* 433 (1999) 127.
- [27] H. N'orenberg, J.H. Harding, *Surf. Sci.* 477 (2001) 17.
- [28] G.S. Herman, *Phys. Rev. B* 59 (1999) 14899.
- [29] A. Trovarelli (Ed.), *Catalytic Science Series*, vol. 2, Imperial College Press, London, 2002.
- [30] M. Sahibzada, B.C.H. Steele, K. Zheng, R.A. Rudkin, I.S. Metcalfe, *Catal. Today* 38(1997) 459.
- [31] T. Hibino, A. Hashimoto, T. Inoue, J.-I. Tokuno, S.-I. Yoshida, M. Sano, *Science* 288 (2000) 2031.
- [32] S. Park, J.M. Vohs, R.J. Gorte, *Nature* 404 (2000) 265.
- [33] Q. Fu, H. Saltsburg, M. Flytzani-Stephanopoulos, *Science* 301 (2003) 935.
- [34] G.A. Deluga, J.R. Salge, L.D. Schmidt, X.E. Verykios, *Science* 303 (2004) 993.
- [35] L. M'adler, H.K. Kammler, R. Mueller, S.E. Pratsinis, *Aerosol Sci.* 33 (2002) 369–389.
- [36] S.E. Pratsinis , S. Vemury, *Powder Technology* 88 (1996) 267-273.
- [37] M. Ni, M.K.H. Leung, D.Y.C. Leung, K. Sumathy, *Renewable and Sustainable Energy Rev.* 11 (2007) 401–425.
- [38] M. Saquib, M. Abu Tariq, M. Faisal, M. Munneer. *Desalination* 219 (2008) 301–311.
- [39] T. Tong, J. Zhang, B. Tian, F. Chena, D. He, M. Anpo, *J. Colloid Interface Sci.* 315 (2007) 382–388.
- [40] A. Fujishima, T.N. Rao, D.A. Tryk, *J. Photochem. Photobiol. C: Photochem. Rev.* 1 (2000) 1–21.
- [41] F. Filippone, G. Mattiol, A.A. Bonapasta, *Catal. Today* 129 (2007) 169–176.
- [42] L. Ge, *Mater. Letter* 62 (2008) 926–928.
- [43] S.V. Gaponenko, *Optical Properties of Semiconductor Nanocrystals*, Cambridge University Press, 1997.
- [44] R. Molinari, L. Palmisano, E. Drioli, M. Schiavello, *J. Membre. Sci.* 206 (2002) 399–415.
- [45] R. Ullah, J. Dutta, J. Hazard. Mater. Inc. Press, 2008.
- [46] M.A. Fox, and M.T. Dulay, *Chem. Rev.* 93 (1993) 341-357.

- [47] M.L. Litter, *Appl. Catal. B: Environ.* 23 (1999) 89-114.
- [48] A.L. Linsebigler, G. Lu, and Jr.J.T. Yates, *Chem. Rev.* 95 (1995) 735-758.
- [49] R.M. Alherici, and W.F. Jardim, *Appl. Catal. B* 14 (1997) 55-68.
- [50] E. Pelizzetti, C. Minero, *Physicochem. Eng. Aspects: A* 151 (1999) 321-327.
- [51] S. Devipriya, S. Yesodharan, *Solar Energ. Mater. Solar Cells* 86 (2005) 309-348.
- [52] M. Abu Tariq, M. Faisal, M. Saquib, M. Muneer, *Dyes Pigments* 76 (2008) 358-365.
- [53] T.Y. Wei, C.C. Wan, *J. Photochem. Photobiol. A Chem* 69 (1992) 241-249.
- [54] M. Hallamn, *J Photochem Photobiol A Chem* 66 (1992) 215-223.
- [55] M.C. Canela, R. M. Albelici, R.C.R. Sofia, M.N. Eberlin, and W.F. Jardim, *Environ. Sci. Technol.* 33 (1999) 2788-2792.
- [56] J.H. Xu, J. Li, W.L. Dai, Y. Cao, H. Li, and K. Fan, *Appl. Cat. B: Environ.* 79: (2008) 72-80.
- [57] F.B. Li, X.Z. Li, M.F. Hou, K.W. Cheah, and W. C. H. Choy, *Appl. Catal. A* 285 (2005) 181-189.
- [58] T. Tong, J. Zhang, B. Tian, F. Chen, D. He, and H. Anpo, *J. Colloid. Interf. Sci.* 315 (2007) 382-388.
- [59] Y. Xie and C. Yaun, *Appl. Calal. B: Environ.* 46 (2003) 251-259.
- [60] T. López, F. Rojas, R. Alexander-Katz, F. Galindo, A. Balankin, and A. Buljan, *J. Solid State Chem.* 177 (2004) 1873-1885.
- [61] K. Nakagawa, Y. Murata, M. Kishida, M. Adachi, M. Hiro, K. Susa, *Mater. Chem. Phys.* 104 (2007) 30-39.
- [62] E. Borgarello, J. Kiwi, M. Gratzel, E. Pelizzetti, M. Visca, *J. Am. Chem. Soc.* 104 (1982) 2996.
- [63] A.W. Xu, Y. Gao, H.Q. Liu, *J. Catal.* 207 (2002) 151.

ภาคผนวก



ภาคผนวก ก

การคำนวณปริมาณสารที่ใช้ในการเตรียมตัวเร่งปฏิกิริยา

วิธีในการคำนวณปริมาณสารที่ใช้ในการเตรียมตัวเร่งปฏิกิริยา $\text{CeO}_2\text{-TiO}_2$ เป็นดังนี้
สารเคมี ประกอบด้วย

- ไทเทเนียม (IV) บิวทอกไซด์ (ของเหลว)

$$\text{น้ำหนักโมเลกุล} = 340.32 \text{ g/mol}$$

$$\text{ความหนาแน่น} = 1 \text{ g/mL}$$

- แอมโมเนียมซีเรียม (IV) ไนเตรต (ของแข็ง)

$$\text{น้ำหนักโมเลกุล} = 548.22 \text{ g/mol}$$

- แอมไฮดรัสโซดาแอลกอล

ต้องย่างการคำนวณเพื่อสังเคราะห์ตัวเร่งปฏิกิริยา $\text{CeO}_2\text{-TiO}_2$ ที่มีซีเรียม 5 % โดยโมล
ใช้สารตั้งต้นที่มีความเข้มข้น 0.3 M จะได้

$$\begin{aligned}\text{ความเข้มข้นของไทเทเนียม (IV) บิวทอกไซด์} &= 0.3 \times 0.95 \\ &= 0.285 \text{ M} \\ \text{จำนวนโมลของไทเทเนียม (IV) บิวทอกไซด์} &= \frac{\text{น้ำหนัก(g)}}{\text{น้ำหนักโมเลกุล(g/mol)}} \\ \text{น้ำหนักของไทเทเนียม (IV) บิวทอกไซด์ตามทฤษฎี} &= 0.285 \times 340.32 \\ &= 97 \text{ g} \\ \text{ความบริสุทธิ์ของไทเทเนียม (IV) บิวทอกไซด์} &= 97\% \\ \text{น้ำหนักของไทเทเนียม (IV) บิวทอกไซด์ที่ใช้จริง} &= \frac{96.9919}{0.97} \\ &= 100 \text{ g}\end{aligned}$$

$$\text{เนื่องจากความหนาแน่น} = 1 \text{ g/mL}$$

$$\text{จึงได้ปริมาตรของไทเทเนียม (IV) บิวทอกไซด์} = 100 \text{ mL}$$

$$\text{ความเข้มข้นของแอมโมเนียมซีเรียม (IV) ไนเตรต} = 0.3 \times 0.05$$

$$\begin{aligned}\text{จำนวนโมลของแอมโมเนียมซีเรียม (IV) ไนเตรต} &= \frac{\text{น้ำหนัก(g)}}{\text{น้ำหนักโมเลกุล(g/mol)}}\end{aligned}$$

$$\begin{aligned} \text{น้ำหนักของแเอน โนมเนียมซีเรียม (IV) ในเกรตตามทฤษฎี} &= 0.015 \times 548.22 \\ &= 8.22 \text{ g} \end{aligned}$$

$$\text{ความบริสุทธิ์ของแเอน โนมเนียมซีเรียม (IV) ในเกรต} = 97\%$$

$$\begin{aligned} \text{น้ำหนักของแเอน โนมเนียมซีเรียม (IV) ในเกรตที่ใช้จริง} &= \frac{8.2233}{0.97} \\ &= 8.48 \text{ g} \end{aligned}$$



ภาคผนวก X

การคำนวณขนาดผลึก

การคำนวณขนาดผลึกจากแบบรูป XRD จะคำนวณจากความกว้างของพีกการเลี้ยวเบนที่ครึ่งหนึ่งของความสูงของพีกเลี้ยวเบน (Half-height width of the diffraction peak) โดยใช้สมการของเดอบาย-เชอร์เรอร์ (Debye-Scherrer equation)

จากสมการของเชอร์เรอร์

$$D = \frac{K\lambda}{\beta \cos \theta} \quad (\text{X.1})$$

เมื่อ D = ขนาดผลึก, Å

K = แฟกเตอร์ของรูปร่างผลึก เท่ากับ 0.9

λ = ความยาวคลื่นของรังสีเอกซ์ เท่ากับ 1.5418 Å สำหรับ Cu K α

θ = มุมของพีกจากแบบรูป XRD มีหน่วยองศา ($^\circ$)

β = ความกว้างของพีกการเลี้ยวเบน มีหน่วยเรเดียน

ความกว้างของพีกการเลี้ยวเบน (β) เป็นความกว้างบริสุทธิ์ของการเลี้ยวเบนของผงที่ไม่มีความกว้างของพีกสัดส่วนปนเปื้อนเนื่องจากการทดลอง ซึ่งได้จากผลึกของ α - อะลูมินาซึ่งเป็นสารตัวอย่างมาตรฐานในการวัดค่าความกว้างของเครื่องมือ เนื่องจาก α - อะลูมินามีขนาดผลึกใหญ่กว่า 2000 Å ความกว้างของพีกการเลี้ยวเบน คำนวณได้จากสูตรของ华伦 (Warren's formula)

$$\beta = \sqrt{B_m^2 - B_s^2} \quad (\text{X.2})$$

เมื่อ B_m = ความกว้างของพีกการเลี้ยวเบนซึ่งวัดที่ครึ่งหนึ่งของความสูง มีหน่วยเรเดียน

B_s = ความกว้างของพีกการเลี้ยวเบนที่สอดคล้องกันของสารตัวอย่างมาตรฐาน มีหน่วยเรเดียน

ตัวอย่างการคำนวณขนาดผลึกของไทเทเนียม

ความกว้างของพีกการเลี้ยวเบนของเฟสแอกนาเทสในระนาบ 110 ที่ครึ่งหนึ่งของความสูงเท่ากับ 0.2511° หรือ 0.00438 เรเดียน

จากรูปที่ X.1 ความกว้างของพีกการเลี้ยวเบนที่สอดคล้องกันของ α - อะลูมินา (B_s) ที่มุม 2θ เท่ากับ 34.08° จะได้เท่ากับ 0.00405 เรเดียน

จากสมการที่ (ข.2) จะได้

$$\beta = \sqrt{B_m^2 - B_s^2} \quad (\text{ข.2})$$

$$\beta = \sqrt{0.00438^2 - 0.00405^2}$$

$$= 0.004378 \text{ เรเดียน}$$

แทนค่าลงในสมการที่ (ข.1) เมื่อ $\beta = 0.004378$

$$2\theta = 34.08^\circ$$

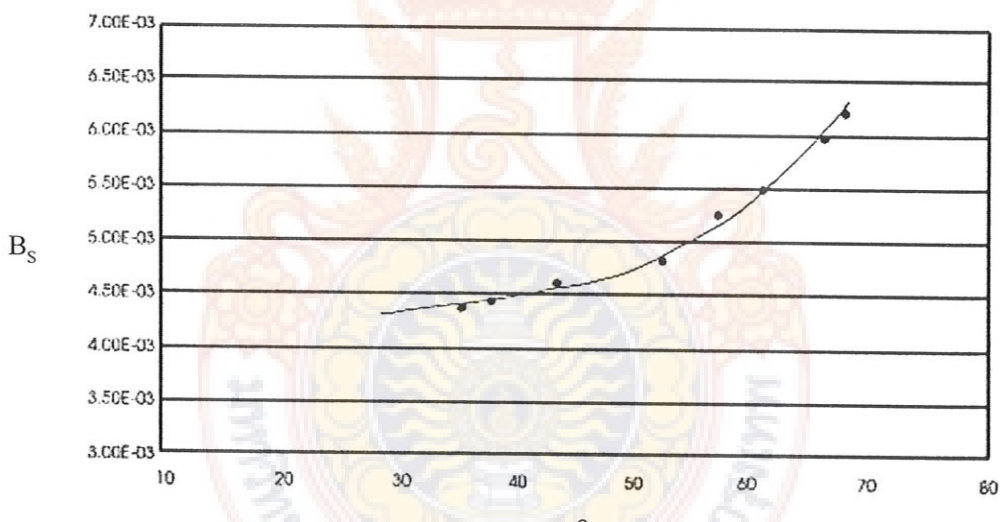
$$\theta = 17.04^\circ$$

$$\lambda = 1.5418$$

$$\text{จะได้ ขนาดผลึกของไทด์เนียม} = \frac{0.9 \times 1.5418}{0.004378 \cos 17.04}$$

$$= 324.7 \text{ \AA}$$

$$= 32.5 \text{ nm}$$



รูปที่ ข.1 ค่า B_s ของเครื่องวิเคราะห์ XRD ที่ได้จากการวัดโดยใช้สารตัวอย่าง
มาตรฐาน α -อะลูมินา

ภาคผนวก ค

การคำนวณพลังงานช่องว่างແตน

การคำนวณพลังงานช่องว่างແตนจะใช้กราฟส่วนต่อข่ายพลังงานส่วนที่มีความชันมากที่สุดคลาดตัดแกน x ของกราฟที่พล็อตระหว่าง $(\alpha h\nu)^{1/2}$ กับ $h\nu$ [75]

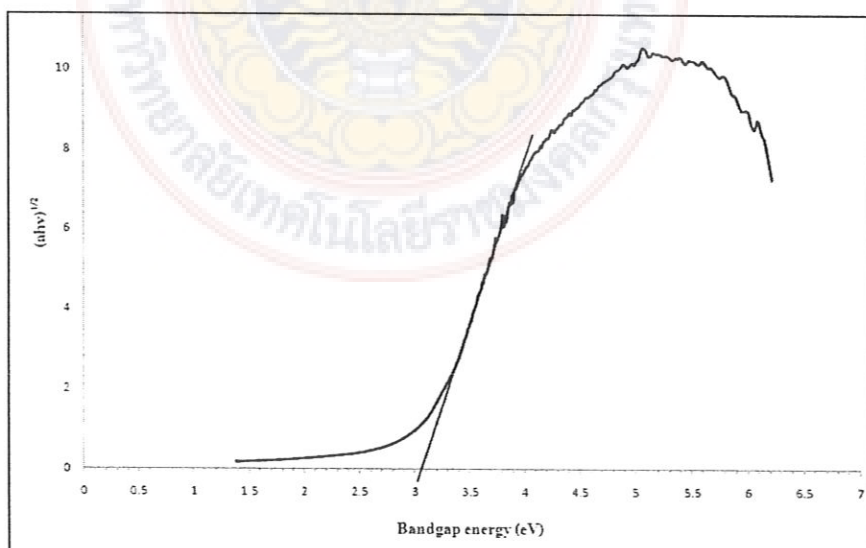
$$\begin{aligned} h\nu &= \frac{1240.69255}{\lambda} \\ R &= 10^{\text{absorbed}} \\ \alpha &= \frac{(1-R)^2}{2R} \end{aligned}$$

ตัวอย่างการคำนวณพลังงานช่องว่างແตนของ $\text{CeO}_2\text{-TiO}_2$ ที่มีซีเรียม 5% ความยาวคลื่น

900 nm

Wavelength	absorbed	R	$(1-R)^2$	α	$h\nu$	$(\alpha h\nu)^{1/2}$
900	0.083531	0.82502859	0.030615	0.0185539	1.378547	0.159929

ใช้ข้อมูลนี้เขียนกราฟ ดังแสดงในรูปที่ ค.1 จากจุดที่มีความชันมากที่สุดคลาดเส้นต่อลงมาตัดแกน x จะได้ค่าพลังงานช่องว่างແตน ซึ่งจากรูปที่ ค.1 จะได้พลังงานช่องว่างແตนเท่ากับ 3.08 eV



รูปที่ ค.1 กราฟที่พล็อตระหว่าง $(\alpha h\nu)^{1/2}$ กับ $h\nu$

ประวัตินักวิจัย



หัวหน้าโครงการ

1. ชื่อ

นางสาววรารณ์ tanakulrungsank

MISS WARAPORN TANAKULRUNGSANK

2. ตำแหน่งปัจจุบัน

ข้าราชการตำแหน่งผู้ช่วยศาสตราจารย์

3. หน่วยงานที่อยู่ที่สามารถติดต่อได้สะดวก พร้อมหมายเลขโทรศัพท์ โทรสาร และ e-mail

สาขาวิชาวิศวกรรมเคมี คณะวิศวกรรมศาสตร์

มหาวิทยาลัยเทคโนโลยีราชมงคลกรุงเทพ

2 ถนนนang ลิ้นจี่ เขตสาทร กรุงเทพฯ 10120

โทรศัพท์ 0 2287 9734

โทรสาร 0 2287 9734

e-mail: waraporn@rmut.ac.th

4. ประวัติการศึกษา

ปีที่จบ การศึกษา	ระดับ ปริญญา	อักษรย่อปริญญา และชื่อเต็ม	สาขาวิชา	วิชาเอก	ชื่อสถาบัน การศึกษา	ประเทศ
2536	เอก	D. Eng. Doctor of Engineering	Catalyst Engineering	Catalyst Engineering	Kyoto University	ญี่ปุ่น
2530	โท	วศ.ม. วิศวกรรมศาสตร์ มหาบัณฑิต	วิศวกรรมเคมี	วิศวกรรมเคมี	จุฬาลงกรณ์ มหาวิทยาลัย	ไทย
2521	ตรี	วท.บ. วิทยาศาสตร์ บัณฑิต	เคมีวิศวกรรม	เคมีวิศวกรรม	จุฬาลงกรณ์ มหาวิทยาลัย	ไทย

5. สาขาวิชาการที่มีความชำนาญพิเศษ (แตกต่างจากภูมิการศึกษา) ระบุสาขาวิชาการ
วิศวกรรมเคมี วิศวกรรมตัวเร่งปฏิกิริยา

6. ประสบการณ์ที่เกี่ยวข้องกับการบริหารงานวิจัยทั้งภายในและภายนอกประเทศ

6.1 หัวหน้าโครงการวิจัย: ชื่อโครงการวิจัย

1. การศึกษาการนำบัคคลพิมพ์เกิดจากไอของสารประกอบชนิดเฟอร์โดยใช้เทคนิค XPS และ DRIFT ด้วยปฏิกิริยาการใช้แสง ร่วมกับด้วยร่างปฏิกิริยาไทยเนี่ยนาคนาโนเมตรที่สังเคราะห์ด้วยเทคนิคการเผาแบบไฟล์สเปรย์
2. การควบคุมโครงสร้างรูปธนนาคมเมโซของตัวเร่งปฏิกิริยานิกีโลออกไซด์
3. การสังเคราะห์พอลิ(เมทธิลเมทาคริเลต) ที่กราฟด์บันเปลี่ยนข้าวโพดโดยใช้โพแทสเซียมเบอร์ชัลเฟตเป็นสารเริ่มปฏิกิริยา

6.3 งานวิจัยที่ทำเสร็จแล้ว

1. การสังเคราะห์อนุภาคไทยเนี่ยนาคนาโนเมตรด้วยเทคนิคการเผาแบบไฟล์สเปรย์ การประชุมมหาวิทยาลัยเทคโนโลยีราชมงคลวิชาการ ครั้งที่ 1 ระหว่างวันที่ 27 – 23 สิงหาคม 2551 ณ โรงแรมธรรมรินทร์ ธนา จำกัดเมือง จังหวัดตรัง งบประมาณประจำปี 2550
2. การสังเคราะห์พอลิ(เมทธิลเมทาคริเลต) กราฟด์บันเปลี่ยนข้าวโพดโดยใช้โพแทสเซียมเบอร์ชัลเฟตเป็นสารเริ่มปฏิกิริยา การประชุมวิชาการวิศวกรรมเคมีและเคมีประยุกต์แห่งประเทศไทย ครั้งที่ 17 ระหว่างวันที่ 29 – 30 ตุลาคม 2550 ณ โรงแรมดิเอมเพรส จำกัดเมือง จังหวัดเชียงใหม่ งบประมาณประจำปี 2550
3. อิทธิพลของสารกระตุ้นที่มีต่อหญ้าที่และประสิทธิภาพในการคัดซับของถ่านกัมมันต์ที่ผลิตจากกาแฟ งบประมาณผลประโยชน์ประจำปี 2550 ผู้ร่วมวิจัย
4. การผลิตไวนโอดีเซลในเครื่องปฏิกรณ์แบบกึ่งกะโดยการใช้ตัวเร่งปฏิกิริยาแบบบิวชันที่งบประมาณผลประโยชน์ประจำปี 2550 ผู้ร่วมวิจัย
5. การควบคุมโครงสร้างรูปธนนาคมเมโซของตัวเร่งปฏิกิริยานิกีโลออกไซด์ ประจำปี 2549 หัวหน้าโครงการ
6. การแยกโลหะหนักออกจากสารละลายด้วยถ่านกัมมันต์จากกระบวนการพร้าว โดยใช้หอดูดซับแบบหันครึ่ง งบประมาณประจำปี 2549
7. การสังเคราะห์ตัวเร่งปฏิกิริยาโลหะออกไซด์ด้วยวิธีโซล-เจลเพื่อเคลือบบนเยื่อแผ่นอะลูมีนิลสำหรับสังเคราะห์สารประกอบไฮเดฟิน งบประมาณผลประโยชน์ประจำปี 2548 หัวหน้าโครงการ
8. การสังเคราะห์เส้นใยซิลิคัตัวเร่งปฏิกิริยาโดยใช้เทคนิคอิเล็กโทรสปินนิ่ง งบประมาณผลประโยชน์ประจำปี 2548 ผู้ร่วมวิจัย
9. การผลิตถ่านกัมมันต์จากการกาแฟโดยใช้ฟลูอิไดเซ็นไอน้ำ งบประมาณผลประโยชน์ประจำปี 2548 ผู้ร่วมวิจัย
10. การสร้างอีบูลิโอมิเตอร์วัดปริมาณแอลกอฮอล์ความเข้มข้นสูง งบประมาณผลประโยชน์ประจำปี 2548 ผู้ร่วมวิจัย

11. กระถางต้นไม้จากวัสดุเหลือใช้ทางการเกษตร งบประมาณผลประโยชน์ประจำปี 2548 ผู้ร่วมวิจัย
12. การนำบัคน้ำสีขาวจากโรงงานอุตสาหกรรมสิ่งทอด้วยปฏิกริยาไฟโตแครตะไลซิส โดยใช้ไกเทเนีย การประชุมสัมมนาทางวิชาการ สถาบันเทคโนโลยีราชมงคล ครั้งที่ 21 ระหว่างวันที่ 28 – 30 มีนาคม 2548 ณ โรงแรมเชียงใหม่ภูคำ อําเภอเมือง จังหวัดเชียงใหม่ งบประมาณประจำปี 2546 (งบวัสดุฝึก) สถาบันเทคโนโลยีราชมงคล วิทยาเขตเทคนิค กรุงเทพฯ
13. การปรับปรุงน้ำมันปาล์มดินเป็นเชื้อเพลิงสำหรับเครื่องยนต์ดีเซลหมุนช้า การประชุมสัมมนาทางวิชาการ สถาบันเทคโนโลยีราชมงคล ครั้งที่ 20 ระหว่างวันที่ 11 – 13 กุมภาพันธ์ 2547 ณ โรงแรมอมรินทร์ลากูน อําเภอเมือง จังหวัดพิษณุโลก งบประมาณประจำปี 2545 สถาบันเทคโนโลยีราชมงคล
14. การผลิตถ่านอัคก้อนจากผงถ่านแอนทราไซต์และวัสดุเหลือทิ้งทางเกษตร การประชุมสัมมนาทางวิชาการ สถาบันเทคโนโลยีราชมงคล ครั้งที่ 20 ระหว่างวันที่ 11 – 13 กุมภาพันธ์ 2547 ณ โรงแรมอมรินทร์ลากูน อําเภอเมือง จังหวัดพิษณุโลก งบประมาณประจำปี 2545 (งบวัสดุฝึก) สถาบันเทคโนโลยีราชมงคล วิทยาเขตเทคนิคกรุงเทพฯ
15. การศึกษาสมบัติการคดซับของถ่านกัมมันต์ 2543 รายงานการประชุมสัมมนาทางวิชาการ สถาบันเทคโนโลยีราชมงคล ครั้งที่ 17. 3, 740-752 โครงการวิจัยและพัฒนาหน้ากากป้องกันสารพิษทางทหาร งบประมาณประจำปี 2541 กองทัพอากาศ กระทรวงกลาโหม
16. The influence of base type on the characterization of a nickel oxide catalyst formed by a sol-gel technique, 2005, Proceeding of the International Conference on Recent Advances in Mechanical & Materials Engineering (ICRAMME 05), May 30-31, 2005, Kuala Lumpur, Malaysia, Paper No. 57.
17. Modification of Crude Palm Oil to Diesel Engine Fuel, 29th Congress on Science and Technology of Thailand, October 20-22, 2003, Khon Kean, Thailand, SI-3 งบประมาณประจำปี 2545 สถาบันเทคโนโลยีราชมงคล
18. The effect of silica added on large surface area of nanocrystalline titania”, Proceeding of the 10th International Ceramics Congress: Part B, Section D Sintering Science and Technology, Florence, Italy, July 2002, p.101-108 ทุนแม่ชีวิจัยอาวุโส สำนักงานกองทุนสนับสนุนการวิจัย (สกว.)
19. Phase transformation behavior of nanocrystalline χ -alumina powder obtained by thermal decomposition of AIP in inert organic solvent, 2004, *Journal of Materials*

- Science* 39 (10): 2417-2421 ทุนกาญจนากิจเอก สำนักงานกองทุนสนับสนุนการวิจัย (สกอ.)
20. Synthesis of thermally stable micro spherical χ -alumina by thermal decomposition of aluminum isopropoxide in mineral oil, 2003, *Inorganic Chemistry Communication* 6: 930-934 ทุนกาญจนากิจเอก สำนักงานกองทุนสนับสนุนการวิจัย (สกอ.)
 21. The influence of Si-O-Zr bonds on the crystal-growth inhibition of zirconia prepared by the glycothermal method, 2003, *Journal of Material processing Technology* 136: 186-189 ทุนกาญจนากิจเอก สำนักงานกองทุนสนับสนุนการวิจัย (สกอ.)
 22. Critical nanoparticle size for thermal stability, 2003, *Journal of Materials Science Letters*, 22: 1587-1589 ทุนเมธีวิจัยอาชูโส สำนักงานกองทุนสนับสนุนการวิจัย (สกอ.)
 23. Synthesis of thermally stable micro spherical chi-alumina by thermal decomposition of aluminum isopropoxide in mineral oil, 2003, *Inor. Chem. Comm.*, 6 930-934, ทุนกาญจนากิจเอก สำนักงานกองทุนสนับสนุนการวิจัย (สกอ.)
 24. Effect of crystallite size and calcination temperature on the thermal stability of single nanocrystalline chromium oxide: expressed by novel correlation, 2003, *Materials Research Innovation*, 7, 118-123 ทุนเมธีวิจัยอาชูโส สำนักงานกองทุนสนับสนุนการวิจัย (สกอ.)
 25. New correlation for the effects of the crystallite size and calcination temperature on the single iron oxide nano-crystallites, 2003, *Crystal Growth & Design*, 2 (3), 215-210 ทุนเมธีวิจัยอาชูโส สำนักงานกองทุนสนับสนุนการวิจัย (สกอ.)
 26. Synthesis of large-surface area silica-modified zirconia by the glycothermal method, 2002, *Journal of Materials Science Letters*, 21 (18), 1461-1464 ทุนกาญจนากิจเอก สำนักงานกองทุนสนับสนุนการวิจัย (สกอ.)
 27. Thermal Stability of Silica-Modified Titania Ultrafine Particles Synthesized by the Glycothermal Method, 2000, *Ceramic Transactions*, 115, 643-654 ทุนเมธีวิจัยอาชูโส สำนักงานกองทุนสนับสนุนการวิจัย (สกอ.)
 28. One pot solvothermal synthesis of thermal stable, porous silica-modified alumina powders by supercritical removal of organic solvents, 2000, *Journal of Metals, Materials and Minerals*, 9 (2), 35-54 ทุนเมธีวิจัยอาชูโส สำนักงานกองทุนสนับสนุนการวิจัย (สกอ.)
 29. Effect of organic solvents on the thermal stability of porous silica-modified alumina powders prepared via one pot solvothermal synthesis, 2000 *Inorganic Chemistry*

Communication, 3, 671-676, 2000. ทุนแม่ธีวิจัยอาชูโส สำนักงานกองทุนสนับสนุนการวิจัย (สกอ.)

30. Synthesis of large-surface area silica-modified titania ultrafine particles by the glycothermal method, 2000, *J. Material Science Letters*, 19, 1439-1443 ทุนแม่ธีวิจัยอาชูโส สำนักงานกองทุนสนับสนุนการวิจัย (สกอ.)
31. Mechanism of Diesel Exhaust Gas Abatement by Synthetic Zeolite ZSM-5, 1998, *Journal of Metals, Materials and Minerals*, 7 (2), 32-38 ทุนวิจัยบัณฑิตศึกษา จุฬาลงกรณ์มหาวิทยาลัย
32. Selective Aromatization of Propane on Metallosilicate Catalysts , 1996, Journal of Science Faculty, Chiangmai University, 23 (2), 42-49 งบประมาณประจำปี 2537 สถาบันเทคโนโลยีราชมงคล
33. Inui, T., K. Fujioka, Y. Fujii, T. Takeguchi, H. Nishiyama and W. Tanakulrungsank, "Highly Active Catalysts for Syngas Production to Methanol and More Valuable Hydrocarbons", *Study of Surface Science and Catalysis*, 1993. ผู้ร่วมวิจัย
34. Inui, T., K. Fujioka, W. Tanakulrungsank and T. Takeguchi, "Spillover Effect in Methane Reforming Reactions in Ni-based Composite Catalysts Modified with Precious Metals", *Study of Surface Science and Catalysis*, 1993. ผู้ร่วมวิจัย
35. Takeguchi, T., W. Tanakulrungsank and T. Inui, "Separation and/or Concentration of CO₂-N₂ Gaseous Mixture by Pressure-Swing Adsorption using Metal-incorporated Microporous Crystals with High Surface Area", *Gas Separation and Purification*, 7, 3, 1993. ผู้วิจัย
36. Inui, T., S. Shibata and W. Tanakulrungsank, "Purification of O₂-N₂ Gaseous Mixture by Pressure-Swing Adsorption using Na-A Zeolites", *Gas Separation and Purification*, 6, 185, 1992. ผู้ร่วมวิจัย

ผู้ร่วมวิจัย

1. ชื่อ

นาง อรรถธีรา วรยิ่ง

Mrs. ATTERA WORAYINGYONG

2. ตำแหน่งปัจจุบัน

ข้าราชการตำแหน่งรองศาสตราจารย์

3. หน่วยงานที่อยู่ที่สามารถติดต่อได้สะดวก พร้อมหมายเลขโทรศัพท์ โทรสาร และ e-mail

ภาควิชาเคมี คณะวิทยาศาสตร์

มหาวิทยาลัยเกษตรศาสตร์

บางเขน เขตจตุจักร กทม 10903

โทรศัพท์ +66-2-5790658, +66-2-942 8034-5 ต่อ 133

โทรสาร +66-2-5793955

e-mail fsciarw@nontri.ku.ac.th

4. ประวัติการศึกษา

ปีที่จบ การศึกษา	ระดับ ปริญญา	อักษรย่อปริญญา และชื่อเต็ม	สาขาวิชา	วิชาเอก	ชื่อสถาบัน การศึกษา	ประเทศ
2533	เอก	Ph. D Doctor of Philosophy	Chemistry	Chemistry	University of Aberdeen	สาธารณรัฐอังกฤษ
2530		Post-Master Research	Chemistry	Chemistry	University of Karlsruhe	สาธารณรัฐเยอรมัน
2523	โท	MS. Master of Science	Chemistry	Chemistry	University of Houston	สหรัฐอเมริกา
2521	ตรี	ว.บ. วิทยาศาสตรบัณฑิต	เคมี	เคมี	จุฬาลงกรณ์ มหาวิทยาลัย	ไทย

ทุนที่ได้รับ 1987 Deutscher Akademischer Austauschdienst (DAAD)

1990 University of Aberdeen

5. สาขาวิชาการที่มีความชำนาญพิเศษ (แตกต่างจากวุฒิการศึกษา) ระบุสาขาวิชาการ

Organometallic Chemistry และ การเร่งปฏิกิริยา (Catalysis)

ผลงานการเขียน

1. ตำรากระบวนการเร่งปฏิกิริยา (2533) เอกสารประกอบการสอนวิชาเคมี 403496
 2. ตำราเคมีปีโตรเลียม (2541) เอกสารประกอบการสอนวิชาเคมี 403496
 3. ตำราเคมีออร์แกโนเมทัลิก (2545) เอกสารประกอบการสอนวิชาเคมี 403512
- 6. ประสบการณ์ที่เกี่ยวข้องกับการบริหารงานวิจัยทั้งภายในและภายนอกประเทศ**
- 6.1 หัวหน้าโครงการวิจัย: ชื่อโครงการวิจัย**
- TiO₂ and CeO₂/TiO₂ photocatalyzed oxidation for the degradation of gaseous sulfur containing compound pollutants as studied by XPS and DRIFTS
- 6.2 งานวิจัยที่ทำเสร็จแล้ว**
1. Eine Methode zur Ermittlung der Momentanen Stoffbilanz und der Zeitabhaengigen Selektivitaet beim Katalytischen Cracken. A.Worayingyong, S. Zhao, H. Niederberger, H, Schulz, 22th Intern. Sem. fuer Forschung und Lehre. Karlsruhe. 1987 p.93
สถานะภาพ: ผู้ร่วมวิจัย
 2. Momentary Material Balance for Zeolite Deactivation of N-Dodecane Catalytic Cracking. A. Worayingyong, *J. Sci. Soc. Thailand*, 1989, 15, 191
สถานะภาพ: ผู้ร่วมวิจัย
 3. Asymmetric Ethylation of Aromatic Aldehydes by Diethylzinc in the Presence of Chiral Auxiliaries Derived from (S)-[4-HOC₆H₄CH₂CH(NH₂)CPh₂OH]. J.L. Wardell, A. Worayingyong, *Appl. Organomet. Chem.*, 1995, 9, 547
สถานะภาพ: ผู้ร่วมวิจัย
 4. A Comparative Study of Toluene Catalytic Oxidation over Cerium/TiO₂(anatase) and Vanadium/TiO₂(anatase) Catalysts, A. Worayingyong, A. Niltharach, Y. Poo-arporn, *Science Asia*, 2004, 30, 341-349
สถานะภาพ: หัวหน้าโครงการวิจัย
 5. Characterization and Performance of nano LaCoO₃ Perovskite Catalysts: Low Temperature Oxidation of Aromatic in Waste Effluents in situ DRIFTS Studies, A. Worayingyong, S. Ausadasuk, S. Kityakarn (*sent for publication*)
สถานะภาพ: หัวหน้าโครงการวิจัย
 6. The Influence of Cerium Ion on the Structure and Property of TiO₂(anatase), A. Worayingyong, A. Niltharach, Y. Poo-arporn, R. Rattanakalm, (*manuscript in preparation*).

ผู้ร่วมวิจัย

1. ชื่อ นายโกร์ เมฆาสุวรรณดำรง
Mr. OKORN MEKASUWANDUMRONG

2. ตำแหน่งปัจจุบัน พนักงานมหาวิทยาลัยตำแหน่งอาจารย์

3. หน่วยงานที่อยู่ที่สามารถติดต่อได้สะดวก พร้อมหมายเลขโทรศัพท์ โทรสาร และ e-mail

ภาควิชาเคมี คณะวิศวกรรมศาสตร์และเทคโนโลยี มหาวิทยาลัยศิลปากร
พระราชวังสนามจันทร์ นครปฐม 73000
โทรศัพท์ 0 3421 9364-8 ต่อ 1609
โทรสาร 0 3421 9358
e-mail okornm@yahoo.com

4. ประวัติการศึกษา

ปีที่จบ การศึกษา	ระดับ ปริญญา	อักษรย่อปริญญา และชื่อเต็ม	สาขาวิชา	วิชาเอก	ชื่อสถาบัน การศึกษา	ประเทศ
วศ.ด.						
2546	เอก	วิศวกรรมศาสตรดุษฎี บัณฑิต	วิศวกรรมเคมี	วิศวกรรมเคมี	จุฬาลงกรณ์ มหาวิทยาลัย	ไทย
วศ.ม.						
2542	โท	วิศวกรรมศาสตร มหาบัณฑิต	วิศวกรรมเคมี	วิศวกรรมเคมี	จุฬาลงกรณ์ มหาวิทยาลัย	ไทย
วศ.บ.						
2540	ตรี	วิศวกรรมศาสตรบัณฑิต	วิศวกรรมเคมี	วิศวกรรมเคมี	จุฬาลงกรณ์ มหาวิทยาลัย	ไทย

5. สาขาวิชาการที่มีความชำนาญพิเศษ (แตกต่างจากวุฒิการศึกษา) ระบุสาขาวิชาการ

Nanocrystal synthesis

Catalysis

6. ประสบการณ์ที่เกี่ยวข้องกับการบริหารงานวิจัยทั้งภายในและภายนอกประเทศ

6.1 หัวหน้าโครงการวิจัย: ชื่อโครงการวิจัย

การสังเคราะห์และทดสอบตัวเร่งปฏิกิริยาโลหะออกไซด์ที่มีขนาดนาโนเมตร โดยใช้เทคนิคการเผาแบบเพลนสเปรย์

6.2 งานวิจัยที่ทำเสร็จแล้ว

1. P. Praserthdam, **O. Mekasuvandumrong**, S. Phatanasri, M. Inoue, W. Tanakulrungsank, “One pot Solvothermal Synthesis of Thermally Stable, Porous-Modified Alumina Powders by Supercritical Removal of Organic Solvents, Journal of Metals, Materials and Minerals, Vol 9, No.2 (2000) 35.
2. P. Praserthdam, M. Inoue, **O. Mekasuvandumrong**, W. Thanakulrangsang, S. Phatanasri, “Effect of Organic Solvents on the Thermal Stability of Porous Silica-modified Alumina Powders Prepared via One Pot Solvothermal synthesis”, Inorg. Chem. Commun. 3 (2000) 671.
3. P. Praserthdam, **O. Mekasuvandumrong**, J. Phungphadung, A. Kanyanucharat, W. Thanakulrangsang “New Correlation for the Effect of the Crystallite Size and Calcination Temperature on the Single Iron Oxide Nanocrystallites”, Cryst. Growth Des. , 3 (2) (2003), 215.
4. **O. Mekasuwandumrong**, P. L. Silveston, P. Praserthdam, M. Inoue, V. Pavarajarn, W. Tanakulrungsank “Synthesis of Thermally Stable Micro Spherical \square -Alumina by Thermal Decomposition of Aluminum Isopropoxide in Mineral Oil”, Inorg. Chem. Commun. 6 (2003) 973.
5. P. Praserthdam, **O. Mekasuvandumrong**, P. L. Silveston, J. Phungpha- dung, and P. Somrang “A New Correlation for the Effects of the Crystallite Size and Calcination Temperature on the Single Metal Oxides and Spinel Oxides Nanocrystal” Cryst. Growth Des. , 4 (1) (2003) 39.
6. **O. Mekasuwandumrong**, P. Praserthdam, M. Inoue, V. Pavarajarn, W. Tanakulrungsank “Phase transformation behavior of nanocrystalline chi-alumina powder obtained by thermal decomposition of AIP in inert organic solvent” J. Mater. Sci. 39 (7) (2004) 2417.
7. **O. Mekasuwandumrong**, H. Kominami, P. Praserthdam , M. Inoue “Synthesis of thermally stable x-alumina by thermal decomposition of aluminum isopropoxide in toluene” J. Amer. Ceram. Soc. 87 (8) (2004) 1543-1549.
8. W. Payakgul, **O. Mekasuwandumrong**, V. Pavarajarn, P. Praserthdam “Effects of reaction medium on the synthesis of TiO_2 nanocrystals by thermal decomposition of titanium (IV) n-butoxide” Ceramics International 31 (3) (2005) 391-397.

9. P. Soisuwan, D. C. Chambers, D. L. Trimm, **O. Mekasuwandumrong**, J. Panpranot, and P. Praserthdam “Characteristics and catalytic properties of alumina-zirconia mixed prepared by a modified Pechini method” Catalysis Letters 103 (1-2) (2005) 63-68.
10. S. Chaianansutcharit, **O. Mekasuwandumrong**, and P. Praserthdam “Effect of Organic Solvents on Iron Oxide Nanoparticles by the Solvothermal Method” Cryst. Growth Des. , inpressed (2005).

Conferences

1. P. Praserthdam, Masashi Inoue, **O. Mekasuvandumrong** ,W. Thanakulrungsan, S. Phatanasri “Effect of organic solvents on the thermal stability of porous silica-modified alumina powders prepared via one pot solvothermal synthesis” Material Congress 2002 England วันที่ 8-14 April 2002
2. **O. Mekasuwandumrong**, P. Prasethdam, M. Inoue, “One Pot Solvothermal Synthesis of Thermally Stable Porous Silica-modified Alumina Powders by Supercritical Removal of Organic Solvents” CIMTEC 2002, Italy, วันที่ 14-18 July 2002.
3. P. Soisuwan, P. Praserthdam, D. Chambers, D. L. Trimm, **O. Mekasuwandumrong**, and J. Panpranot, and “Characteristics and Catalytic Properties of Alumina-Zirconia Mixed Oxides Prepared by the Modified Pechini method” Proceedings of regional symposium on Chemical Engineering 1998, Bangkok, Thailand, Dec. 1-3, 2004.
4. J. klongdee, V. Pavarajarn, **O. Mekasuwandumrong**, and P. Praserthdam “Photocatalytic degradation of methylene blue by TiO₂ nanocrystals synnthesized via thermal decomposition of titanium (IV) butoxide in organic solvents” Proceedings of regional symposium on Chemical Engineering 1998, Bangkok, Thailand, Dec. 1-3, 2004.
5. P. Tonto, P. Praserthdam, and **O. Mekasuwandumrong** “Effect of organic solvents on crystal shape of zinc oxide synthesized via thermal decomposition method” Proceedings of regional symposium on Chemical Engineering 1998, Bangkok, Thailand, Dec. 1-3, 2004.

ผู้ร่วมวิจัย

1. ข้อ

นางสาวกนกวรรณ จ้าวสุวรรณ

MISS KANOKWAN NGAOSUWAN

2. ตำแหน่งปัจจุบัน

ข้าราชการตำแหน่งอาจารย์

3. หน่วยงานที่อยู่ที่สามารถติดต่อได้สะดวก พร้อมหมายเลขโทรศัพท์ โทรสาร และ e-mail

ภาควิชาวิศวกรรมเคมี คณะวิศวกรรมศาสตร์

มหาวิทยาลัยเทคโนโลยีราชมงคลกรุงเทพ

2 ถนนนangลินจี เขตสาทร กรุงเทพฯ 10120

โทรศัพท์ 0 2287 9734

โทรสาร 0 2287 9734

e-mail: pren@meetingmall.com

4. ประวัติการศึกษา

ปีที่จบ การศึกษา	ระดับ ปริญญา	อักษรย่อปริญญา และชื่อเต็ม	สาขาวิชา	วิชาเอก	ชื่อสถาบัน การศึกษา	ประเทศ
2544	โท	วศ.ม. มหาบัณฑิต	วิศวกรรมศาสตร์ วิศวกรรมเคมี	วิศวกรรมเคมี	มหาวิทยาลัย เกษตรศาสตร์ บางเขน	ไทย
2541	ตรี	วศ.บ. บัณฑิต	วิศวกรรมศาสตร์ วิศวกรรมเคมี	วิศวกรรมเคมี	มหาวิทยาลัย เทคโนโลยี สุรนารี	ไทย

5. สาขาวิชาการที่มีความชำนาญพิเศษ (แตกต่างจากวุฒิการศึกษา) ระบุสาขาวิชาการ

การสร้างแบบจำลองทางคณิตศาสตร์ การถ่ายเทมวัลสาร

6. งานวิจัยที่กำลังรังสรรค์

- Mathematical modeling and simulation for gas-liquid reactors, 2005, Computers and Chemical Engineering, in press, 2005
- การสร้างแบบจำลองทางคณิตศาสตร์สำหรับปฏิกิริยาแก๊ส-ลิฟต์ การประชุมสัมมนาทางวิชาการมหาวิทยาลัยเกษตรศาสตร์ บางเขน ครั้งที่ 39 ระหว่างวันที่ 5 – 7 กุมภาพันธ์ 2545 ณ มหาวิทยาลัยเกษตรศาสตร์ บางเขน